

Aus dem Institut für Radiologie
der Medizinischen Fakultät der Charité
Universitätsmedizin Berlin

Dissertation

softMip

Entwicklung eines neuen Projektionsverfahrens für die digitale
Schnittbildgebung und Evaluation anhand von
Ultra-Low-Dose-CT-Aufnahmen zur
Harnwegskonkrementensuche

zur Erlangung des akademischen Grades
Doctor medicinae
(Dr. med.)

vorgelegt der Medizinischen Fakultät der Charité
Universitätsmedizin Berlin

von
Henning Meyer
aus Berlin

Gutachter:

1. Prof. Dr. med. B. Hamm
2. Prof. Dr. med. D. Schnorr
3. Prof. Dr. med. S. Feuerbach

Datum der Promotion: 10. Dezember 2005

Abstract

Two projection algorithms exist in the cross sectional imaging: Average projection, which features good suppression of image noise, however the edge sharpness diminishes. In maximum-intensity-projection (MIP), images show good edge sharpness, but also amplified image noise. Ultra-Low-Dose (ULD)-CT has very low radiation exposure, but suffers from high image noise. MIP images of ULDCCT amplify to image noise and are therefore unusable for the clinical routine. We developed a synthesis of both algorithms which tries to unite the respective advantages. The resulting softMip represents an projection algorithm which is a mathematic combination of both MIP and average projection. It was implemented in C++ and installed on a workstation. Depending on the settings softMip can result in any graduation between MIP and average projection. In a phantom trial on seven different CT-devices, image noise and edge sharpness of the three projection algorithms (MIP, Average and softMip) were aquired. Furthermore image quality of the transition from Average to MIP by means of softMip was compared to the image quality of alpha blending average projection and MIP. In a clinical trial we investigated softMip compared to MIP and average projection in ULDCCT examinations of 31 patients with suspected calcifications in the urinary tract. A softMip reading was compared to a reading with the combination of MIP and Average and a reading with the originals thin slices as reference standard. In each run, amount, size and localization of the calcifications were documented. For each projection algorithm, the subjective criteria image noise, contrast, contour sharpness, artifacts and overall image impression were documented. Finally the reader was asked to select six images that document the relevant findings best. softMip showed a less image noise than a MIP ($p<0.0005$) and higher edge sharpness than Average ($p<0.0005$). softMip transition from average projection to MIP had a better ratio of edge sharpness and image noise than alpha blending technique ($p<0.0005$). No significant differences in the overall image quality between Average and softMip could be shown.

The sensitivity of the detection of kidney calcifications is higher in softMip than the sensitivity with MIP and average projection combined (0.81 vs. 0.60; $p < 0.0005$). The specificity of the detection in softMip is only slightly lower than the specificity in MIP and average projection combined (0.74 vs. 0.95, $p = 0.13$). Regarding ureteral calcification, no significant differences in sensitivity and specificity was observed. 67% of all documented images were selected from softMip, 33% out of average projection and thin slices. softMip can improve the detection of urinary calcifications in ultra low dose CT and therefore represents a promising projection algorithm for ultra low dose CT.

Keywords:

computed tomographie, projection, image noise, algorithm

Zusammenfassung

Bisher sind in der Schnittbildgebung zwei Projektionsverfahren üblich: Die Average-Projektion, die das Bildrauschen gut unterdrückt, jedoch die Kantenschärfe verringert und die Maximum-Intensitäts-Projektion (MIP), deren Bilder sich durch eine gute Kantenschärfe auszeichnen, gleichzeitig aber ein höheres Bildrauschen aufweisen. Ultra-Low-Dose (ULD)-CT-Aufnahmen weisen ein hohes Bildrauschen auf. MIP-Bilder von ULDCT-Aufnahmen verstärken dieses Bildrauschen und sind deshalb für die klinische Routine ungeeignet. Daher wurde in der vorliegenden Arbeit eine Synthese beider Verfahren, mit dem Ziel die jeweiligen Vorteile zu vereinen, entwickelt. Das daraus resultierende softMip-Verfahren wurde implementiert und auf einer Workstation eingerichtet. In einer Phantom-Studie mit sieben verschiedenen CT-Geräten wurden das Bildrauschen und die Kantenschärfe der drei Projektionsverfahren (MIP, Average und softMip) ermittelt. Anschließend wurden die drei Verfahren in einer klinischen Studie bei der Suche nach Harnwegskonkrementen in 31 ULD-CT-Abdomenaufnahmen eingesetzt. Ein erfahrener CT-Radiologie führte jeweils eine Befundung mit Bildern der softMip, mit der Kombination aus MIP und Average und mit den originalen Dünnschichten durch. In jedem Durchgang wurden Anzahl, Größe und Lokalisation der Harnwegskonkremente erfasst. Für jedes Projektionsverfahren wurden darüber hinaus die subjektiven Kriterien Bildrauschen, Kontrast, Konturschärfe, Artefakte und Bildeindruck erhoben. Zum Abschluss wählte der Radiologe maximal sechs Bilder aus den gegebenen Verfahren aus, die den Befund am treffendsten dokumentieren.

Im Ergebnis des Phantomversuches zeigte sich, dass softMip ein geringeres Bildrauschen als MIP aufweist ($p < 0,0005$) und die Kantenschärfe höher ist als die der Averageprojektion ($p < 0,0005$). In der klinischen Studie konnten keine signifikanten Unterschiede in der Gesamtbildqualität zwischen Average und softMip nachgewiesen werden. Die Sensitivität gegenüber Nierenkonkrementen in der softMip ist höher als die der MIP-Average-Kombination (0,81

vs. 0,60; $p < 0,0005$). Die Spezifität in der softMip ist nur tendenziell geringer (0,74 vs. 0,95, $p = 0,13$). Bezüglich Ureterkonkrementen konnten keine signifikanten Unterschiede in Sensitivität und Spezifität nachgewiesen werden. 67% aller Bilder der Befunddokumentation wurden aus softMip-Serien gewählt, 33% aus Average-Serien und den Dünnschichten.

So konnte gezeigt werden, dass die softMip ein vielversprechendes Projektionsverfahren für die digitale Schnittbildgebung insbesondere im ULD-Bereich darstellt.

Schlagwörter:

Computertomographie, Projektion, Bildrauschen, Algorithmus

Danksagung

Meinem Betreuer, Dr. Rogalla, bin ich zu großem Dank verpflichtet - für die Überlassung des Themas, die abendlichen und nächtlichen Befundungssitzungen und die vielen anregenden Diskussionen und Hinweise, die mich zum weiteren selbstständigen Arbeiten animierten.

Herrn Professor Hamm danke ich dafür, dass er die Voraussetzungen für diese Arbeit an seiner Klinik schuf.

Ein großer Dank gilt Dr. C. Klüner für die Überlassung der Ultra-Low-Dose-Studiendaten, ohne die diese Arbeit so nicht möglich gewesen wäre.

Herrn Juran bin ich besonders für die Beratung in Fragen zur Physik und Technik der CT dankbar.

Bei den MRAs des Instituts bedanke ich mich für die Hilfe bei der Durchführung der Phantomuntersuchungen.

Weiterhin bedanken möchte ich mich bei Marc und Franzi für Rat und Hilfe bei statistischen Fragen.

Meine Freundin Stephanie und ihr Sohn Timothy nahmen so oft Rücksicht auf mich und meine Promotion und waren für mich da, wenn alles mal wieder nicht klappen wollte – vielen Dank dafür!

Meinen Eltern danke ich für das Vertrauen, welches sie mir entgegenbrachten und für die große Unterstützung und Hilfe, die sie mir während des Studiums und auch der anschließenden Promotion gaben. Vielen Dank – ich bin froh, Euch als Eltern zu haben.

Inhaltsverzeichnis

1	Einleitung	1
1.1	Ziel der Arbeit	2
2	Grundlagen	3
2.1	Urolithiasis	3
2.2	Computertomographie	3
2.2.1	(Ultra)-Niedrigdosis-CT	5
2.3	Nachverarbeitungsverfahren	6
2.3.1	Nachverarbeitung von ULDCT-Aufnahmen	8
3	Material und Methoden	9
3.1	softMip	9
3.2	DicomProjector	10
3.3	Phantomversuch	11
3.3.1	Phantom	11
3.3.2	Datenaquisition	11
3.3.3	GradientFinder	12
3.3.4	MIP-Average-Blending	15
3.4	Klinische Studie	16
3.4.1	Aquisition der Patienten und der Bilddaten	16
3.4.2	Befundung	17
3.4.3	Auswertung	18
3.4.3.1	Konkremente/StoneSorter	18
3.4.3.2	Stauung	21
3.5	Statistik	21

4	Ergebnisse	22
4.1	softMip-Server	22
4.2	Wichtungsfunktionen	22
4.3	Phantomversuch	24
4.3.1	Blending-Vergleich	26
4.4	Klinische Studie	27
4.4.1	Subjektive Bildqualität	30
4.4.2	Konkremente	30
4.4.2.1	Diagnostische Aussagekraft (Dünnschichten als Referenz)	32
4.4.2.2	Diagnostische Aussagekraft (Konsensus als Referenz)	34
4.4.3	Stauung	35
4.4.3.1	Diagnostische Aussagekraft (Dünnschichten als Referenz)	35
4.4.3.2	Diagnostische Aussagekraft (Konsensus als Referenz)	36
4.4.4	Dokumentation	36
5	Diskussion	39
5.1	Computertomographie und Strahlenexposition	39
5.2	softMip-Ergebnisse	40
5.3	Vergleich mit ähnlichen Projekten	42
5.3.1	Rauschminderung in den axialen Schichten	42
5.3.2	Rauschminderung vor der Rekonstruktion	43
5.3.3	Auflösung und Bildrauschen	43
5.3.4	Anwendungen der MIP	43
5.4	Limitierungen	44
5.4.1	Clusterfehler	44
5.4.2	Toleranz bei Konkrementgröße und -lokalisierung	44
5.4.3	Korrigierte Referenz	45
5.4.4	Tools und Scripte	45
5.5	Ausblick	46

A	DicomProjector	55
A.1	C++ - Header	55
A.2	C++ - Body	58
B	GradientFinder	74
C	StoneSorter	85

Abbildungsverzeichnis

2.1	Funktionsweise von MIP und Average	7
3.1	Funktionsweise von softMip	10
3.2	Konstanzprüfphantom	11
3.3	GradientFinder	13
3.4	Ablaufdiagramm von GradientFinder	14
3.5	Normalisierung des Rauschens	15
3.6	Befundungsbogen des softMip-Durchgangs	17
3.7	Befundungsbogen des Mip-Average-Durchgangs	19
3.8	Ablaufdiagramm von StoneSorter	20
4.1	Kantenschärfe bei den einzelnen Geräten	24
4.2	Rauschen bei den einzelnen Geräten	25
4.3	Kantenschärfe und Rauschen im Phantomversuch	25
4.4	Blendingkurven von softMip und MIP-Average mit 25% und 75%-Quantil	26
4.5	Fläche unter der Blendingkurve für alle Geräte	27
4.6	prävesikales Konkrement konventionell	28
4.7	prävesikales Konkrement in den 50 mm CT-Projektionen	29
4.8	Nierenkonkrement in den 10 mm CT-Projektionen	29
4.9	Nierenkonkrement vergrößert	30
4.10	Bewertung der Bildqualität (Schichtdicke 10 mm)	31
4.11	Bewertung der Bildqualität (Schichtdicke 50 mm)	32
4.12	relative Häufigkeiten der Projektionen in der Dokumentation	37

Tabellenverzeichnis

3.1	für den Phantomversuch benutzte CT-Geräte	12
4.1	eingesetzte Wichtungsfunktionen	23
4.2	Anzahl der gemessenen Kanten	23
4.3	Unterschiede in der subjektiven Bildqualität (10 mm)	31
4.4	Unterschiede in der subjektiven Bildqualität (50 mm)	31
4.5	kombinierte Kreuztabelle für Nierenkonkremente mit Dünnschichtreferenz	33
4.6	Kreuztabellen bezüglich Nierenkonkrementen mit Dünnschichtreferenz	33
4.7	kombinierte Kreuztabelle für Ureterkonkremente mit Dünnschichtreferenz	33
4.8	kombinierte Kreuztabelle für Nierenkonkremente mit Konsensusreferenz	34
4.9	Kreuztabellen bezüglich Nierenkonkrementen mit Konsensusreferenz	34
4.10	kombinierte Kreuztabelle für Ureterkonkremente mit Konsensusreferenz	35
4.11	kombinierte Kreuztabelle für Nierenstauung mit Dünnschichtreferenz	35
4.12	Kreuztabellen bezüglich Nierenstauung mit Dünnschichtreferenz	36
4.13	kombinierte Kreuztabelle für Nierenstauung mit Konsensusreferenz	37

Kapitel 1

Einleitung

Der akute Flankenschmerz stellt eine klinische Symptomatik dar, deren häufigste Ursache die Urolithiasis ist. Zur Routinediagnostik bei Verdacht auf Urolithiasis gehört sowohl der Ultraschall als auch die native Abdomenübersicht. Die Computertomographie (CT) ist dieser Diagnostik in der Sensitivität überlegen [47], konnte sich jedoch in der klinischen Routine aufgrund der erhöhten Strahlenexposition des Patienten nicht durchsetzen. Jüngere Studien zeigen jedoch, dass die Ultra-Niedrig-Dosis-CT (ULDCT) eine Sensitivität aufweist, die mit der konventionellen CT vergleichbar ist [30]. Die Strahlenexposition weicht dabei nicht relevant von der einer nativen Abdomenübersicht ab [48]. Allerdings ist das Bildrauschen der ULDCT gegenüber der konventionellen CT durch eine Einsparung von 95% der Röntgendosis deutlich erhöht. Die Mehrschicht-Spiral-CT (MSCT) ermöglicht eine Untersuchung des Abdomens mit einer Schichtdicke von 1 mm in einem Atemstillstand. So ergeben sich 500-600 Bilder pro Patient, deren Informationen die Aussagekraft des Röntgens und des Ultraschalls übersteigen.

Eine solche Bilderflut und das erhöhte Bildrauschen machen zur Diagnostik eine Nachverarbeitung der ULDCT-Daten notwendig. Bisher etablierte Methoden für die CT sind die Average-Projektion oder die Maximum-Intensitäts-Projektion (MIP), welche aus vielen dünn-schichtigen Bildern wenige prägnante Bilder generieren. Die Average-Projektion vermag durch mathematische Mittelwertbildung mehrerer Dünnschichten das Bildrauschen in

der resultierenden Dickschicht wirksam zu unterdrücken. Eine Stärke der MIP ist das Hervorheben röntgendichter Strukturen, wie kontrastierte Gefäße oder Verkalkungen. Beide Verfahren sind für die Verarbeitung von ULDCT-Daten zur Konkrementsuche nicht ausreichend, da einerseits kleinere Konkreme in dickschichtigen Average-Projektionen verlorengehen und andererseits das hohe Rauschen der ULDCT durch die MIP weiter verstärkt wird.

1.1 Ziel der Arbeit

Ziel dieser Arbeit ist die Entwicklung und Evaluation eines Projektionsalgorithmus für die MSCT, welcher die Bildqualität, ähnlich der Average-Projektion, durch Verminderung des Rauschens steigert und dabei gleichzeitig zu einer verbesserten Erkennbarkeit pathologischer Bildmerkmale, ähnlich der MIP, führt. Die Evaluation soll anhand objektiver Kriterien durch eine Phantomstudie mit Bestimmung der Kantenschärfe und des Bildrauschens, sowie anhand einer klinischen Anwendung geschehen.

Kapitel 2

Grundlagen

2.1 Urolithiasis

An Nierensteinen leiden bis zu 5% der westlichen Bevölkerung, wobei sich bei erhöhtem Lebensstandard auch ein erhöhtes Risiko für eine Nephrolithiasis ergibt [42]. Männer sind doppelt so häufig betroffen wie Frauen. Der Altersgipfel bei Männern liegt bei 30 Jahren, bei Frauen liegt ein zweigipfliges Geschehen mit Gipfeln bei 35 und 55 Jahren vor. 75-85% aller Nierensteine sind Kalziumsteine [2]. Die häufigste Ursache ist mit 50-55% die idiopathische Hyperkalziurie, gefolgt von der Hyperurikosurie mit 20% Häufigkeit. Steinerkrankungen können längere Zeit asymptomatisch bleiben. Sie sind neben malignen und benignen Neoplasien, Nierenzysten und der Urogenitaltuberkulose der häufigste Grund für eine Hämaturie. Zerbricht ein Stein, so kann er beim Eintritt in den Ureter oder beim Verschluss des Nierenbeckens eine Obstruktion verursachen, die zu Schmerzen und starken Koliken führen kann.

2.2 Computertomographie

Die Computertomographie (CT) ist eine digitale Röntgenmethode zur Gewinnung horizontaler Schichtbilder. Setzt man diese Schichten zusammen, so erhöht man ein dreidimensionales Volumen. Mittels moderner Mehrschicht-CT(MSCT)-Geräte ist es möglich, eine große Menge hochauflösender Schnitt-

bilder innerhalb kürzester Zeit zu gewinnen [22, 41, 45]. So können heute bei CT-Untersuchungen des Abdomens innerhalb einer Atemanhaltephase ca. 500 Schnittbilder mit 0,8 mm Schichtabstand gewonnen werden. Durch die gesteigerte Auflösung, insbesondere in der Längsachse des Patienten, ist es nun auch möglich, echte 3D-Volumendatensätze zu akquirieren. Ähnlich wie 2D-Bilder aus einzelnen Bildpunkten – den Pixeln – aufgebaut sind, ist ein Volumendatensatz aus Volumenpunkten – den Voxeln – aufgebaut. Der Wert eines Voxels entspricht der Schwächung der Röntgenstrahlung an diesem Ort. Die Einheit dieser Schwächung ist die Hounsfield Unit (HU).

Die CT ist in der Diagnostik des akuten Flankenschmerzes aufgrund des hohen diagnostischen Informationsgehalts dem Ultraschall und der nativen Abdomenübersicht in der Sensitivität überlegen [47]. Der hohen diagnostischen Aussagekraft der CT steht allerdings die – gegenüber der Abdomenübersicht deutlich erhöhte – Strahlenexposition gegenüber. In Europa und den USA machen CT-Untersuchungen ca. 3-5% aller radiologischen Untersuchungen aus. Gleichwohl beträgt aber der Anteil der CT an der gesamten durch Ärzte verursachten diagnostischen Strahlenexposition 35-45% [11, 20, 36, 44]. Mit der Einführung der 4-Zeilen-CT wurde das Problem noch verstärkt, da jede der vier Detektorzeilen die gleiche Strahlungsintensität benötigt. Um dies zu gewährleisten, muss die Strahlungskollimation so gewählt werden, dass das Strahlungsprofil erst außerhalb der Detektorzeilen abfällt. So ergibt sich ungenutzte Strahlung, die nicht zur Messung beiträgt, jedoch die Exposition des Patienten erhöht [5, 25]. Dieser Effekt ist umso stärker, je kleiner die Schichtkollimation ist. Mit größerer Kollimation und steigender Detektorzeilenzahl nimmt der Effekt ab. Zur Verringerung der Strahlendosis der CT wurden verschiedene Verfahren entwickelt [24]. Eine Möglichkeit ist die Anpassung des Verlaufes des Röhrenstromes und dadurch der Strahlendosis an die Dicke des zu untersuchenden Körperabschnitts [12, 13, 18, 23]. Jedes Verfahren, welches das Bildrauschen einer CT-Aufnahme mindert, kann prinzipiell auch dazu benutzt werden, die Dosis bei gleichbleibendem Rauschen zu mindern. Vielfältige entsprechende Ansätze wurden bereits vorgeschlagen [3, 14, 27, 52].

2.2.1 (Ultra)-Niedrigdosis-CT

Um der erhöhten Strahlenexposition der CT gegenüberzutreten ist als erster Schritt – wie bei jeder anderen Untersuchung auch – die klinische Indikation durch den Radiologen genau zu prüfen. Bei bestimmten Fragestellungen – wie z.B. der Lungenrundherderkennung – bietet sich der Einsatz der Niedrigdosis-CT (Low-dose CT) an. Durch die verringerte Röntgendosis sinkt auch die Zahl der Röntgenquanten, die den Detektor erreichen, und die Messungenauigkeit steigt. Dies wirkt sich als sichtbares Bildrauschen aus, welches mit sinkender Dosis steigt – und umgekehrt. Das bei Low-Dose-CT-Aufnahmen deutlich erhöhte Bildrauschen erschwert besonders die Wahrnehmung von Strukturen, die nur einen geringen Kontrast zur Umgebung haben. Strukturen mit hohem Kontrast werden jedoch auch bei erhöhtem Rauschen noch gut wahrgenommen. Strukturen mit hohem Bildkontrast in der CT sind beispielsweise die Nasennebenhöhlen, wo Luft auf das Weichteilgewebe der Nasenschleimhaut trifft, oder Knochen, deren Dichte wesentlich höher als die des umgebenden Weichteilgewebes ist. Die Low-Dose-Technik wird im klinischen Alltag bereits für Thorax-CT-Untersuchungen benutzt. Lungenrundherde oder pneumonische Infiltrate lassen sich auch bei verminderter Dosis gut von normalem lufthaltigen Lungengewebe abgrenzen. Einschränkungen gibt es aber beispielsweise bei der Beurteilung der mediastinalen Weichteile [8, 31, 40, 43]. Auch für die virtuelle Koloskopie wird die Low-Dose-Technik benutzt, da es sich bei dem für diese Untersuchung relevanten Übergang von Darmwand zu Luft um einen Hochkontrast-Übergang handelt [7, 19, 54].

In jüngster Zeit hat sich der Trend zur Dosisminimierung noch einen Schritt weiterentwickelt. Rogalla, Klüner und Taupitz berichten über den Einsatz der Ultra-Niedrigdosis-CT (Ultra-low-dose CT/ULDCT) zur Konkrementensuche in Nieren und ableitenden Harnwegen [48]. Die Strahlenexposition einer ULDCT-Abdomen-Aufnahme entspricht mit durchschnittlich 0,6 mSv der einer einzelnen Röntgen-Abdomenaufnahme. Im Vergleich dazu beträgt die Dosis einer Normaldosis-CT des Abdomes 5-10 mSv. Es konnte gezeigt werden, dass auch die ULDCT signifikant bessere Ergebnisse in der Steindiagnostik liefert als der Ultraschall.

2.3 Nachverarbeitungsverfahren

Um der Datenmenge Herr zu werden, benutzt man heute bei der Auswertung von CT-Untersuchungen Computer-Workstations, auf welchen man die gewonnenen Daten komfortabel betrachten und nachverarbeiten kann [51]. Je nach eingesetzter Software und klinischer Fragestellung bieten sich verschiedene Nachverarbeitungen an. Schon zu Beginn der Computernutzung zeichneten sich klare Vorteile ab: Einerseits kann man am Monitor die Bilder größer als auf den Filmen darstellen, andererseits ist es möglich, Window-Level und Window-Width frei zu wählen. Man kann so Helligkeit und Kontrast der angezeigten Bilder im Nachhinein regeln und beispielsweise nacheinander die Lungenstruktur, das Weichteilgewebe und die Knochen beurteilen. Mit der Einführung der Spiral-CT und der daraus resultierenden höheren Z-Achsen-Auflösung wurde es mittels der multiplanaren Reformatierung (MPR) möglich, aus den axialen Schichten neue Ansichten in koronaler, sagittaler oder beliebiger Orientierung zu erzeugen. Aus mehreren dünnen Schichten kann man mit der Average-Projektion eine einzige Schicht errechnen, die früheren Dickschichtaufnahmen gleichkommt. Da die Average-Projektion ein 2D-Bild aus dem Mittelwert mehrerer Schichten eines Volumens berechnet, wird in diesen Bildern das Rauschen gut reduziert. Allerdings gehen dabei auch die Bilddetails und die Kontraste verloren. Insbesondere bei dickschichtigen Daten kann es vorkommen, dass eine Struktur – z.B. ein kontrastiertes Gefäß – nur zum Teil in einem Voxel der zu betrachtenden Schicht liegt. Der HU-Wert dieses Voxels spiegelt deshalb auch nur zum Teil den des Gefäßes wider. Diesem Partialvolumeneffekt muss bei der Interpretation des Bildes Rechnung getragen werden [57].

Der Average-Projektion ähnelt die Maximum-Intensitäts-Projektion. Diese wurde zuerst von Laub und Kaiser sowie Keller et al. zur Nachverarbeitung von MR-Angiographie-Untersuchungen vorgeschlagen [28, 33]. Die MIP ist eine Zusammensetzung der jeweils hellsten Voxel eines Volumens. Dadurch weisen MIP-Bilder gute Kontraste auf, jedoch macht sich ein erhöhtes Bildrauschen sehr stark bemerkbar. Bei der Average-Projektion und der MIP wird aus einer beliebig dicken dreidimensionalen Volumenscheibe

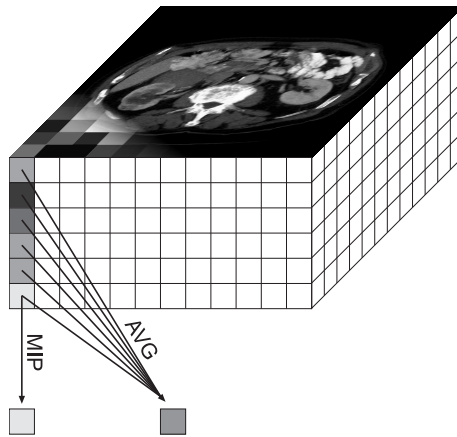


Abbildung 2.1: Funktionsweise von MIP und Average

ein zweidimensionales Bild berechnet. Dabei entspricht jedem Bildpunkt (Pixel) des resultierenden Bildes ein Stapel von Voxeln der Volumenscheibe. Abbildung 2.1 zeigt die grundlegenden Verfahren der MIP und der Average-Projektion. Bei der MIP wird der jeweils hellste Punkt des Voxelstapels zum entsprechenden Pixel des Bildes. Bei der AVG ergibt sich das Pixel als arithmetisches Mittel des Voxelstapels. Die Berechnung von MIP-Schichten ist aufwendig, konnte aber so beschleunigt werden, dass sie sich gut in den klinischen Alltag integrieren lässt [38]. Ein wichtiges Anwendungsgebiet der MIP ist die CT-Angiographie (CTA) [34, 37, 46]. Bei der Beurteilung von CT-Thoraxaufnahmen sind die MIP und die MPR hilfreich [3, 9, 39].

Andere Verfahren, wie Volumerendering (VR) oder Shaded Surface Display (SSD), erfordern zunächst eine Segmentierung bzw. Klassifizierung der Daten. Dabei wird vom Benutzer festgelegt, welche Anteile des Datensatzes visualisiert werden sollen, und welche Anteile nicht dargestellt werden. Als Resultat erhöht man teilweise sehr realistische dreidimensionale Darstellungen der untersuchten Organe. Dies ist sehr hilfreich, um z.B. einem Traumatologen eine Fraktur und die Stellung der einzelnen Fragmente zu veranschaulichen. Die Information über die innere Struktur der Organe geht dabei jedoch weitestgehend verloren. Daher sind diese Verfahren für viele Fragestellungen nicht Mittel der Wahl.

2.3.1 Nachverarbeitung von ULDCT-Aufnahmen

Zur Steinsuche eignet sich prinzipiell die MIP sehr gut, da sie röntgendichte Objekte – etwa Konkrementen – besonders gut darstellt. ULDCT-Aufnahmen weisen allerdings ein sehr hohes Bildrauschen auf. Die MIP verstärkt dieses Rauschen sogar, da sich MIP-Bilder selektiv aus allen Voxeln mit hohen HU-Werten – und so aus allen besonders “rauschbelasteten” Voxeln – zusammensetzen. Um das Rauschen zu verringern, bietet sich die Average-Projektion an. Diese kann jedoch durch den wirkenden Partialvolumeneffekt das Auffinden kleiner Konkrementen vereiteln.

Wünschenswert ist ein Verfahren, welches das Rauschen – ähnlich der Average-Projektion – wirksam unterdrückt und dabei dennoch – wie die MIP – kontrastreiche Strukturen und Pathologien hervorhebt.

Kapitel 3

Material und Methoden

3.1 softMip

Ein Ansatz, in CT-Aufnahmen das Bildrauschen zu unterdrücken und Kontraste anzuheben, ist das für diese Arbeit entwickelte Projektionsverfahren softMip. An dieser Stelle soll der grundlegende Algorithmus der softMip erläutert werden. Es handelt sich dabei um ein nichtlineares Projektionsverfahren. ähnlich wie bei der MIP und der Average-Projektion wird ein Bildpunkt der Projektion aus den HU-Werten entlang des Sichtstrahls dieses Bildpunktes berechnet. Dazu werden nur die Werte in die Berechnung mit einbezogen, welche innerhalb der gewählten Schicht liegen. Diese Werte bilden das Profil P des Bildpunktes p . Die Länge l von P ist abhängig von der Schichtdicke s und von der Projektionsgeometrie – bei paralleler Projektion ist $l = s$, bei perspektivischer Projektion ist $l \geq s$. Für die softMip entscheidend ist es nun, das Profil P aufsteigend zu sortieren. Man erhöht P^s mit $P^s(0) = \min(P)$ und $P^s(l) = \max(P)$. Der Bildpunkt p ergibt sich nun aus dem normalisierten, gewichteten Integral des sortierten Profils:

$$p = \frac{1}{\int_0^1 f_w(x) dx} \cdot \int_0^l f_w\left(\frac{x}{l}\right) \cdot P^s(x) dx$$

Dabei ist $f_w(x)$ mit $0 \leq x \leq 1$ die Wichtungsfunktion der softMip. Das Ergebnis der softMip hängt somit sehr stark von der Wichtungsfunktion f_w

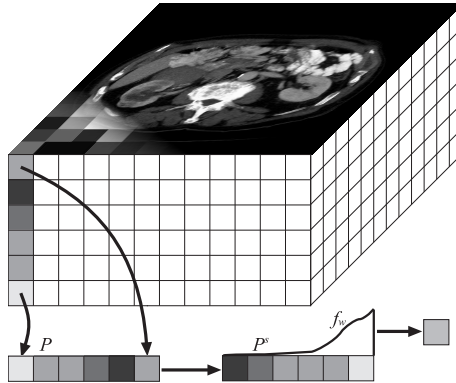


Abbildung 3.1: Funktionsweise von softMip

ab. Beispielsweise lässt sich mit $f_w^{\text{MIP}}(x) = \begin{cases} 1 & \text{für } x > 0,999 \\ 0 & \text{sonst} \end{cases}$ eine MIP erzeugen. $f_w^{\text{Average}} = 1$ hingegen entspricht der Average-Projektion. Eine softMip mit Rauschunterdrückung und MIP-Charakteristik stellt $f_w(x) = x^4$ dar.

3.2 DicomProjector

Der softMip-Algorithmus wurde in Form des Programm DicomProjector implementiert. Dazu wurde die Software Visual Studio.NET¹ und die Programmiersprache C++ genutzt. Zum Einlesen der CT-Bilddaten sowie zum Schreiben der erzeugten Projektionsdaten im Dicom-Format² wurde das Dicom-Toolkit DCMTK-3.2.5³ verwendet. Für die grafische Oberfläche wurde auf das Fox-Toolkit-1.0.26⁴ zurückgegriffen. Im Anhang A sind die wesentlichen Abschnitte des Programmes abgedruckt.

¹Microsoft Corporation, Redmond, USA (<http://msdn.microsoft.com/vstudio>)

²Digital Imaging and Communications in Medicine (<http://medical.nema.org>)

³Kuratorium OFFIS e.V., Oldenburg, Germany (<http://dicom.offis.de>)

⁴Fox-Toolkit, Jeroen van der Zijp (<http://www.fox-toolkit.org>)

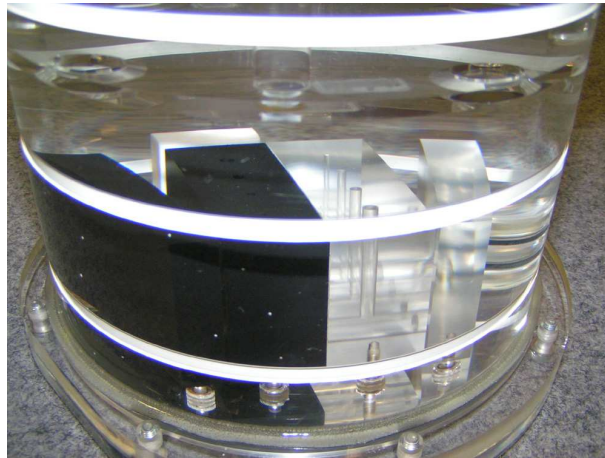


Abbildung 3.2: Konstanzprüfphantom

3.3 Phantomversuch

Um die mit softMip erzeugten Bilder objektiv beurteilen zu können, wurde ein Phantomversuch durchgeführt.

3.3.1 Phantom

Als Phantom wurde ein Konstanzprüfphantom⁵ der Siemens Somatom DR-Serie benutzt (Abbildung 3.2). Es besteht aus einem mit Wasser gefüllten Plexiglaszylinder, in dem mehrere Quader, bestehend aus Teflon, Plexiglas und Polyethylen, befestigt sind. Dies ermöglicht sowohl die Erfassung von hohen Kontrasten zwischen Wasser mit 0 HU und Teflon mit ~ 990 HU, als auch mittleren Kontrasten zwischen Wasser und Plexiglas mit ~ 120 HU. Mit Polyethylen (~ -90 HU) waren auch Messungen mit negativen Kontrasten möglich.

3.3.2 Datenaquisition

Es wurden Messungen an diversen CT-Geräten sowie an einem Elektronenstrahl-CT (EBT) [4] durchgeführt, um sicherzustellen, dass die gefundenen

⁵Siemens Medical Solutions, Siemens AG, München

Gerätename	Technologie
Aquillion 4 ⁶	4-Zeilen-Spiral-CT
Aquillion 16 ⁶	16-Zeilen-Spiral-CT
Aquillion 64 ⁶	64-Zeilen-Spiral-CT
Tomoscan AV/EU ⁷	Einzeilen-Spiral-CT
PQ5000 ⁷	Einzeilen-Spiral-CT
Brilliance 16 ⁷	16-Zeilen-Spiral-CT
Somatom Sensation 16 ⁸	16 Zeilen-Spiral-CT
EBT C-150XP ⁹	Elektronenstrahl-CT

Tabelle 3.1: für den Phantomversuch benutzte CT-Geräte

Daten nicht von einem speziellen Gerätetyp abhängen. Im Einzelnen wurden die in Tabelle 3.1 aufgeführten CT-Geräte verwendet. Es wurde ein einheitliches Scanprotokoll in Niedrigdosis-Technik verwendet (1 mm Schichtdicke, 3 mAs effektiv, 120 kV, Pitch 1,43), sofern dies auf dem jeweiligen Gerät möglich war. Andernfalls wurden die Parameter entsprechend den Limitierungen des jeweiligen Gerätes angepasst. Für jeden Phantomscan wurden sowohl koronale und sagittale Projektionen mit 20 mm Schichtdicke in Average-Projektion, MIP und softMip berechnet.

3.3.3 GradientFinder

In den berechneten Projektionen sollten die Übergänge von Wasser zu den jeweiligen Quadern untersucht werden. Ziel war es, entlang dieser Übergänge sowohl die Stärke des Gradienten, der gut mit dem Bildkontrast korreliert, als auch das Bildrauschen, also die Standardabweichung über dem Gradienten, zu bestimmen. Um diese Messungen möglichst genau und objektiv durchzuführen, wurde ein Auswertungsprogramm (GradientFinder) in der Programmiersprache Ruby¹⁰ programmiert. Dieses Programm las je eine zusammengehörige Average-, MIP- und softMip-Projektion ein, ermöglichte die

⁶Toshiba Medical Systems, Nasu, Japan

⁷Philips Medizin Systeme GmbH, Hamburg

⁸Siemens Medical Solutions, Erlangen

⁹GE Imatron, GE Medical Systems, San Francisco, USA

¹⁰<http://www.ruby-lang.org>

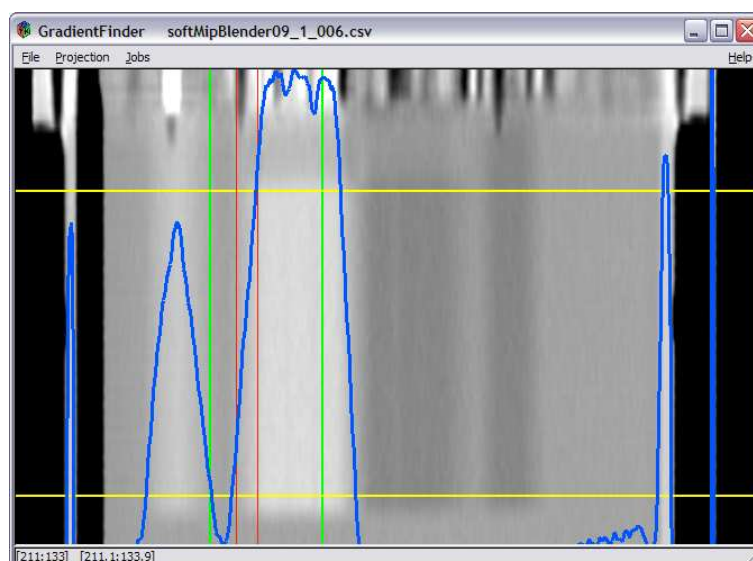


Abbildung 3.3: GradientFinder

Markierung aller relevanten Übergänge und übernahm dann die erforderlichen Messungen. Abbildung 3.3 zeigt ein Bildschirmfoto des Programmes. Zu sehen ist ein Schnitt durch das Phantom mit dem gemittelten Profil innerhalb des gewählten Ausschnitts. Abbildung 3.4 zeigt schematisch die Funktionsweise von GradientFinder.

Die Kantenschärfe entspricht dem Gradient einer Kante im Bild. Dieser Gradient sollte dabei nicht vom Minimum bis zum Maximum der Kante gemessen werden, da Kanten unterschiedlich stark abgerundet sind (siehe Abbildung 3.3). Eine Messung vom 20%-Minimum bis zum 80%-Maximum liefert bessere Ergebnisse, da die Anstiegsverläufe in diesem Bereich auch immer annähernd linear sind. Ein solches Anstiegsmaß ist nicht absolut, sondern immer abhängig von den angrenzenden Medien, von der Lage der Kante innerhalb der projizierten Schicht, vom Untersuchungsprotokoll und vom Rekonstruktionskern. Deshalb ist es nur sinnvoll, Gradienten verschiedener Projektionsalgorithmen an genau der gleichen Kante innerhalb der gleichen Schicht des gleichen Datenvolumens miteinander zu vergleichen. Um den Gradienten zu bestimmen, wurde das Profil der Projektion als Mittelwert aller Zeilen, in denen der Quader lag, berechnet. Die Kantenschärfe wurde als der

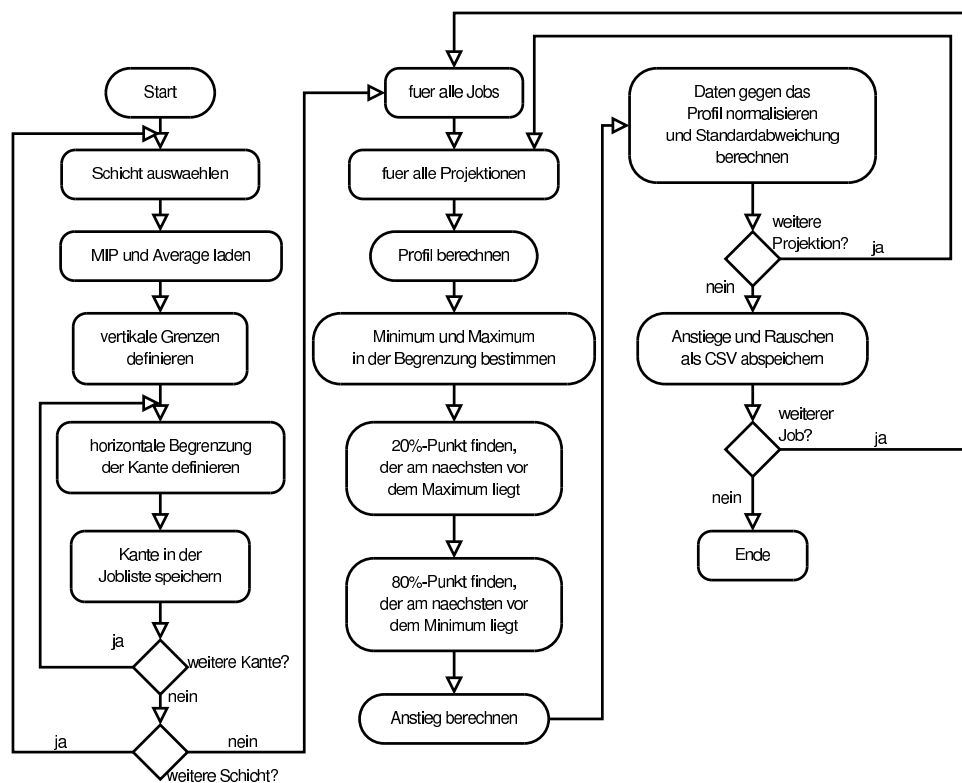


Abbildung 3.4: Ablaufdiagramm von GradientFinder

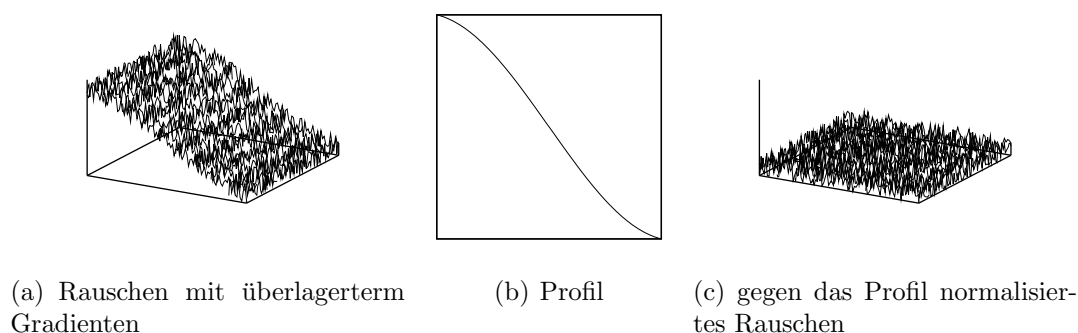


Abbildung 3.5: Normalisierung des Rauschens

Anstieg vom letzten Punkt des Profils, der 20% über dem Minimum des Übergangs lag, bis zum ersten Punkt des Profils, der 20% unter dem Maximum des Übergangs lag, definiert.

Vor der Berechnung der Standardabweichung wurde von allen Werten des Übergangs das Profil subtrahiert. Dies ermöglichte die Bestimmung des “Rauschens auf der Kante”. Abbildung 3.5(a) stellt die ursprünglichen Daten dar, bei denen das Rauschen durch den Gradienten überlagert ist. Durch Mittelung aller Zeilen erhält man das Profil der Daten, welches Abbildung 3.5(b) zeigt. Subtrahiert man dieses von den Daten, so verbleibt nur das Rauschen, dessen Standardabweichung man nun bestimmen kann (Abbildung 3.5(c)).

Die Implementierung des Programmes GradientFinder ist im Anhang B abgedruckt.

3.3.4 MIP-Average-Blending

Um softMip mit einer einfachen Mischung aus Average und MIP zu vergleichen, können Bilderserien generiert werden, in denen eine Average-Projektion in eine MIP der gleichen Schicht übergeblendet wird. Dazu wird einerseits über ein Average-Bild mit ansteigender Intensität ein MIP-Bild der gleichen Schicht gelegt und so ein fließender Übergang von Average zu MIP erzeugt (Blending).

Auch softMip ermöglicht einen solchen fließenden Übergang, indem man

die Wichtungsfunktion $f_w(x)$ zwischen den in 3.1 angegebenen Funktionen $f_w^{\text{MIP}}(x)$ und $f_w^{\text{Average}}(x)$ überblendet.

In beiden Serien lassen sich für jede Kante, wie oben angegeben, die Kantenschärfe und das Bildrauschen bestimmen. Setzt man die Kantenschärfe und das Rauschen von Average auf 0 und die von MIP jeweils auf 1 und normalisiert die gemessenen Werte dementsprechend, so kann man die Werte in ein Rauschen/Kantenschärfe-Diagramm eintragen. Die Fläche unter der Kurve in diesem Diagramm kann als Maß dafür interpretiert werden, wie gut in der jeweiligen Blendingserie Rauschen unterdrückt und Kanten angehoben werden.

3.4 Klinische Studie

3.4.1 Aquisition der Patienten und der Bilddaten

Im Rahmen der urologischen Diagnostik wurden 31 Patienten mit klinischen Zeichen einer Nierenkolik überwiesen. Das Patientenkollektiv setzte sich aus 12 Frauen und 19 Männern im Alter von 23 bis 75 Jahren (Mittelwert: 49 Jahre) zusammen. Die Untersuchungen wurden an einem 16-Zeilen-Spiral-CT¹¹ in Niedrigdosis-Technik (1 mm Schichtdicke, 3 mAs effektiv, 120 kV, Pitch 1,43, 16 mm Kollimation) vorgenommen. Die resultierende Strahlendosis wurde mit CT-Expo 1.4¹² berechnet. Sie beträgt 0,6 mSv und ist mit der einer konventionellen Röntgenaufnahme vergleichbar[30, 48].

Im Anschluss an die CT-Untersuchung wurden die Bilddaten an eine DicomProjector-Workstation gesendet, welche ins Institutsnetz eingebunden wurde. Dort wurden aus den axialen Dünnschichten frontale Schichten generiert. Dabei wurden Serien mit den Schichtdicken 5 mm, 10 mm und 50 mm in den Projektionen MIP, AVG und softMip – also neun Serien – generiert. Diese Serien wurden im Anschluss automatisch an die Befundungsworkstation übermittelt.

¹¹Toshiba Aquillion 16, Toshiba Medical Systems, Nasu, Japan

¹²http://www.mh-hannover.de/fileadmin/kliniken/diagnostische_radiologie/download/ctexpo-d.zip

Abbildung 3.6: Befundungsbogen des softMip-Durchgangs

Alle Befundungen der klinischen Studie wurden von einem erfahrenen Radiologen durchgeführt. Zur Befundung wurde die Software ViewForum3.1¹³ eingesetzt. Die Serien wurden in zwei Durchgängen mittels eines Fragebogens befundet. Im ersten Durchgang wurden die softMip-Serien befundet. Der Fragebogen ist in Abbildung 3.6 dargestellt. Zunächst wurden auf einer Analogskala die subjektiven Bildqualitätsmerkmale Bildrauschen, Kontrast, Konturschärfe, Artefakte und Bildeindruck für die 10 mm- und die 50 mm-

¹³Philips Medical Systems, Eindhoven, Nederlande

Serie erfasst. Darauf folgte eine Befundung bezüglich Anzahl, Größe und Lokalisation evtl. vorhandener Konkreme in den Nieren sowie den Ureteren. Abschließend wurde beurteilt, ob eine Stauung der Nieren vorliegt.

Zeitlich deutlich davon getrennt, wurden die MIP-Average Serien beurteilt. Der Fragebogen dazu ist in Abbildung 3.7 dargestellt. Auch hier wurde zunächst eine subjektive Bewertung durchgeführt. Darauf folgte die Befundung bezüglich Konkrementen und Stauung. Anschließend wurde auch Einsicht in die originalen Dnnschichten der Untersuchung genommen und erneut über Konkreme und Stauung geurteilt. Zum Abschluss wurden dem Untersucher alle Serien vorgelegt, also die originalen Dünnschichten, sowie die MIP-, softMip- und Average-Serien in 10 mm, 50 mm und 100 mm Schichtdicke. Dabei war die Art der Projektion für den Untersucher nicht gekennzeichnet. Die Aufgabe war nun, mit maximal sechs Bildern den erstellten Befund zu dokumentieren. Dabei hatte der Untersucher freie Bildwahl.

Da auch die Befunde der Dünnschichten nicht als Goldstandard, sondern eher als Referenz gelten, wurde in einem “Second-Look” eine korrigierte Referenz als Konsensus aller drei Durchgänge gebildet. Dies war insbesondere nötig, um eine eventuell höhere Sensitivität der softMip detektieren zu können und nicht als schlechte Spezifität fehlzudeuten.

3.4.3 Auswertung

3.4.3.1 Konkreme/StoneSorter

Ausgewertet werden Sensitivität und Spezifität der softMip und der MIP-Average-Kombination gegenüber einzelnen Harnwegskonkrementen. Da sowohl die Größe als auch die Lokalisation der Konkreme in Kategorien eingeordnet werden, besteht die Möglichkeit, dass ein Konkrement, welches sich an der Grenze zweier Kategorien befindet, in einem Durchgang in die eine und im anderen Durchgang in die andere Kategorie eingeordnet wird. Um dieser Tatsache Rechnung zu tragen, wird bei der Auswertung eine Toleranz des softMip sowie des MIP-Average-Durchgangs um eine Kategorie gegenüber der Referenz zugelassen. Wird also beispielsweise im MIP-Average-Durchgang ein Konkrement als 1-3 mm beschrieben und im

0 Studienname

Fragebogen zur softMIP - Evaluation
MIP-AVG-Durchgang

1 Bewertung 10mm

	MIP		AVG	
Bildrauschen	max Rauschen	kein Rauschen	max Rauschen	kein Rauschen
Kontrast	grau in grau	hoch	grau in grau	hoch
Konturschärfe	völlig verwaschen	exakt	völlig verwaschen	exakt
Artefakte	Artefakte stören erheblich	keine Artefakte sichtbar	Artefakte stören erheblich	keine Artefakte sichtbar
Bildeindruck	Befundung unmöglich	hervorragend	Befundung unmöglich	hervorragend

2 Bewertung 50mm

	MIP		AVG	
Bildrauschen	max Rauschen	kein Rauschen	max Rauschen	kein Rauschen
Kontrast	grau in grau	hoch	grau in grau	hoch
Konturschärfe	völlig verwaschen	exakt	völlig verwaschen	exakt
Artefakte	Artefakte stören erheblich	keine Artefakte sichtbar	Artefakte stören erheblich	keine Artefakte sichtbar
Bildeindruck	Befundung unmöglich	hervorragend	Befundung unmöglich	hervorragend

3 Befund nur mit MIP und AVG (ohne Dünnschichten)

Konkrementnachweis rechts							links								
	oKG	mKG	uKG	U. prox. Drittel	U. mitt. Drittel	U. dist. Drittel	oKG	mKG	uKG	U. prox. Drittel	U. mitt. Drittel	U. dist. Drittel	Stauung re.	Stauung li.	
1-3mm													<input type="radio"/>	<input type="radio"/>	I°
3-10mm													<input type="radio"/>	<input type="radio"/>	II°
über 10mm													<input type="radio"/>	<input type="radio"/>	III°
Ausgußstein													<input type="radio"/>	<input type="radio"/>	IV°

4 Befund nach Betrachtung der Dünnschichten

Konkrementnachweis rechts							links								
	oKG	mKG	uKG	U. prox. Drittel	U. mitt. Drittel	U. dist. Drittel	oKG	mKG	uKG	U. prox. Drittel	U. mitt. Drittel	U. dist. Drittel	Stauung re.	Stauung li.	
1-3mm													<input type="radio"/>	<input type="radio"/>	I°
3-10mm													<input type="radio"/>	<input type="radio"/>	II°
über 10mm													<input type="radio"/>	<input type="radio"/>	III°
Ausgußstein													<input type="radio"/>	<input type="radio"/>	IV°

5 Dokumentation

Bitte dokumentieren Sie alle relevanten Befunde und die Unauffälligkeit der übrigen Strukturen mit sechs Einzelbildern (Dokumentation ausdrucken)!

Abbildung 3.7: Befundungsbogen des Mip-Average-Durchgangs

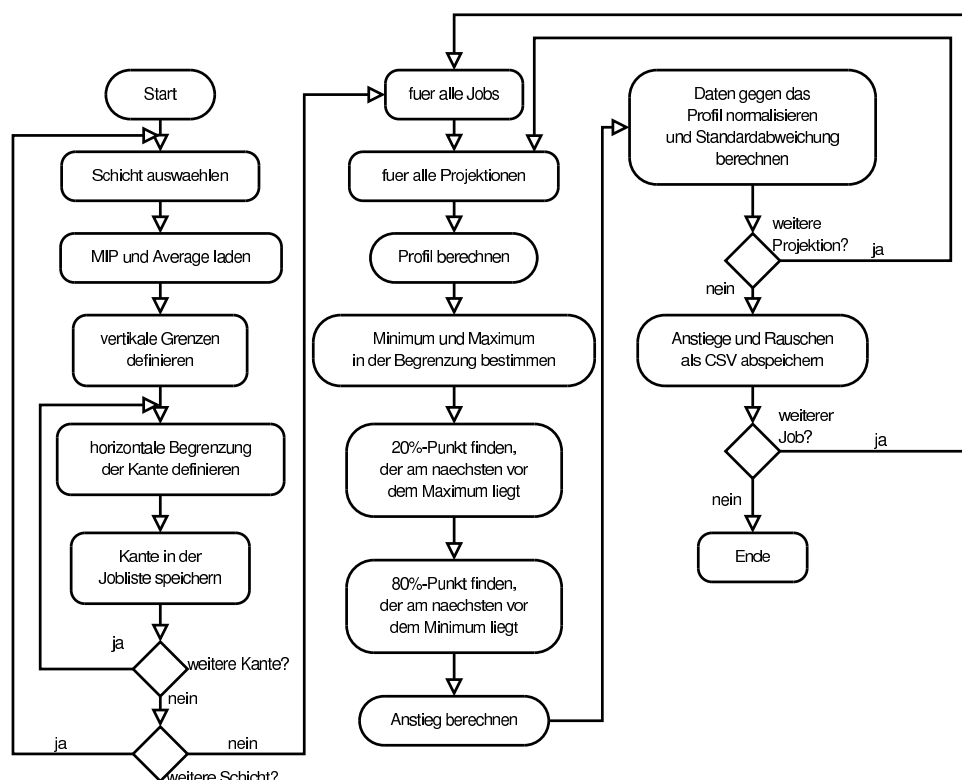


Abbildung 3.8: Ablaufdiagramm von StoneSorter

Referenz-Durchgang als 3-10 mm, so gilt dies dennoch als richtig positiv erkannt.

Diese Auswertung kann bei mehreren Konkrementen pro Niere oder Ureter sehr kompliziert und unübersichtlich werden. Um diese Arbeit möglichst fehlerfrei durchzuführen, wurde das Programm StoneSorter entwickelt. StoneSorter übernimmt diese komplexe Arbeit und ermittelt im festgesetzten Toleranzspielraum die größtmögliche Übereinstimmung zwischen den Untersuchungsgängen und den Referenzdurchgängen. Auch dieses Programm wurde in der Programmiersprache Ruby entwickelt. Abbildung 3.8 zeigt den vereinfachten Programmablauf. Als Eingabe dient eine Auflistung aller Konkreme alle Befundungsdurchgänge aller Patienten. Das Programm gibt am Ende der Berechnung die korrigierte Auflistung aus.

3.4.3.2 Stauung

Bei der Befundung der Bilder wird eine eventuelle Stauung der rechten und linken Niere eingeschätzt. Es werden Sensitivität und Spezifität der softMip und der MIP-Average-Kombination für gestaute Nieren miteinander verglichen. Eine Niere dient dabei als ein Fall, so dass sich 62 Fälle ergeben. Als krank wird eine Niere gewertet, wenn sie eine Stauung ab Grad I aufweist.

3.5 Statistik

Die statistische Auswertung erfolgte mit der Software OpenOffice Calc 1.1.2¹⁴ sowie SPSS 12.0¹⁵. Statistische Signifikanz wurde bei einer Irrtumswahrscheinlichkeit $p < 0.05$ angenommen.

Unterschiede in Sensitivität und Spezifität in der klinischen Untersuchung wurden mit kombinierten Sensitivitäts- und Spezifitätstabellen nach Hawass auf statistische Signifikanz geprüft [15]. Erst wenn sich in diesem Test ein signifikanter Unterschied ergab, wurden Unterschiede in Sensitivität und Spezifität separat mittels McNemar-Test auf statistische Signifikanz geprüft. Unterschiede in den Gradienten und im Rauschverhalten im Phantomversuch wurden mittels Wilcoxon-Test auf statistische Signifikanz geprüft [1, 32].

In den folgenden Diagrammen sind die Medianwerte dargestellt. Die Fehlerbalken entsprechen den 25%- und 75%-Quartilen.

¹⁴OpenOffice.org (<http://www.openoffice.org>)

¹⁵SPSS Software GmbH, München (<http://www.spss.com/de/>)

Kapitel 4

Ergebnisse

4.1 softMip-Server

Als wichtiges Ergebnis – und Grundlage der weiteren Untersuchungen – gelang es, den softMip-Algorithmus als Computerprogramm umzusetzen. Das Programm wurde auf einem Rechner des Instituts eingerichtet. Dieser Rechner wurde im internen Rechnernetz als Dicom-Knoten registriert. Sendet man diesem Dicom-Knoten einen CT-Datensatz, so werden koronale MIP, softMip und Average-Projektionen verschiedener Schichtdicken berechnet und an den Absender des Datensatzes zurückgeschickt. Dieser Vorgang dauert bei einem durchschnittlichen Datensatz mit 500 Dünnschichten ca. drei Minuten.

4.2 Wichtungsfunktionen

In ersten Testversuchen haben schrittweise lineare Funktionen als Wichtungsfunktionen gute Ergebnisse erzielt. Nach einer subjektiven Vorauswahl wurden die in Tabelle 4.1 angegebenen Wichtungsfunktionen ausgewählt, um softMip genauer untersuchen zu können.

Projektion	eingesetzte Funktion f_w
10 mm und 20 mm	$f_w^1(x) = \begin{cases} 0,5x; & \text{für } x < 0,5 \\ 1,5x - 0,5; & \text{für } x \geq 0,5 \end{cases}$
50 mm und 100 mm	$f_w^5(x) = \begin{cases} \frac{x}{3}; & \text{für } x < 0,75 \\ 3x - 2; & \text{für } x \geq 0,75 \end{cases}$
MIP	$f_w^{\text{MIP}}(x) = \begin{cases} 1; & \text{für } x > 0,999 \\ 0; & \text{sonst} \end{cases}$
Average	$f_w^{\text{Average}} = 1$

Tabelle 4.1: eingesetzte Wichtungsfunktionen

Gerätename	Anzahl
Aquillion 4	46
Aquillion 16	55
Aquillion 64	47
Tomoscan AV/EU	47
Brilliance 16	45
PQ5000	47
Somatom Sensation 16	45
EBT C-150XP	43
Summe	375

Tabelle 4.2: Anzahl der gemessenen Kanten

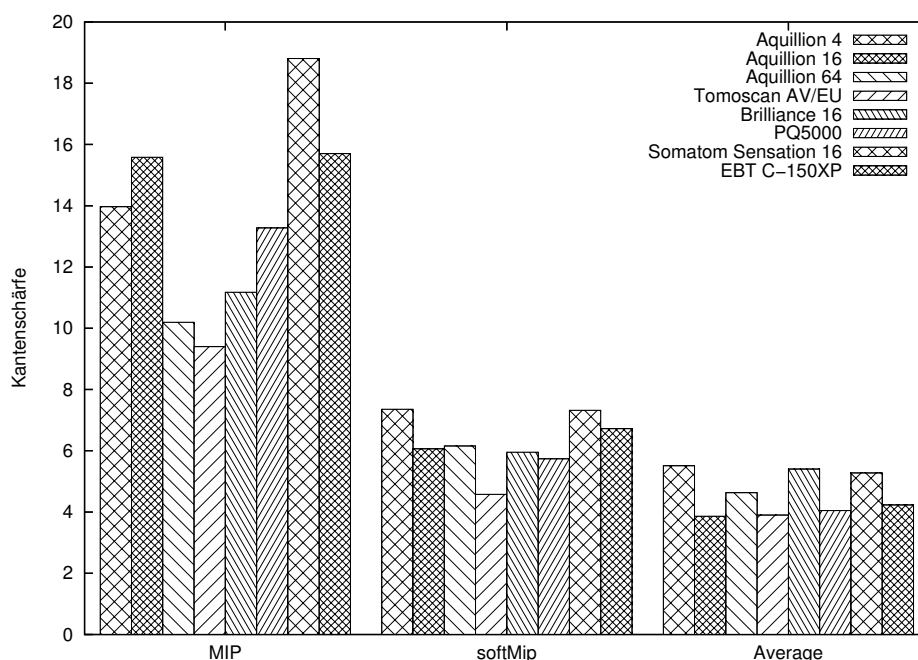


Abbildung 4.1: Kantenschärfe bei den einzelnen Geräten

4.3 Phantomversuch

Je nach Lage des Phantoms im CT-Gerät ergab sich in den Projektionen eine unterschiedliche Anzahl von zu messenden Kanten. Tabelle 4.2 zeigt die Anzahl der gemessenen Kanten für die Serien der einzelnen CT-Geräte. Abbildung 4.1 und Abbildung 4.3(a) zeigen die gemessenen Kantenschärfen, Abbildung 4.2 und Abbildung 4.3(b) die Rauschwerte des Phantomversuches. Es zeigt sich für alle CT-Geräte, dass die Average-Projektion das geringste Rauschen aufweist (7,4). softMip liegt mit dem Rauschen etwas über der Average-Projektion (9,0). Das stärkste Rauschen ist bei der MIP zu beobachten (22,9).

Ähnlich verhält es sich mit der Kantenschärfe. Average hat die geringste Kantenschärfe (4,5), MIP die stärkste (13,2). Die Kantenschärfe der softMip liegt zwischen Average und MIP (6,1). Für alle diese Unterschiede liegt statistische Signifikanz vor ($p < 0,0005$).

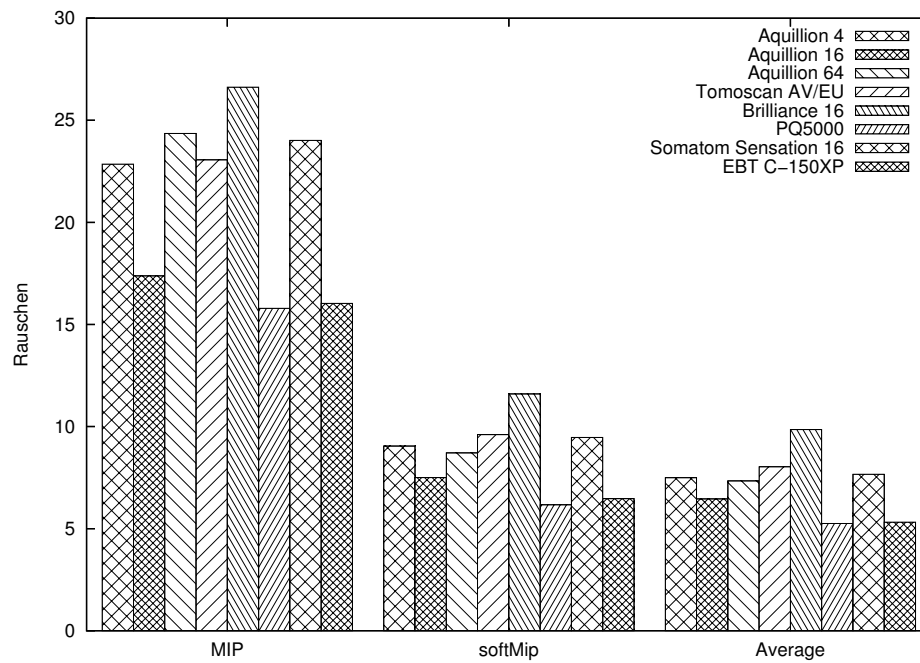


Abbildung 4.2: Rauschen bei den einzelnen Geräten

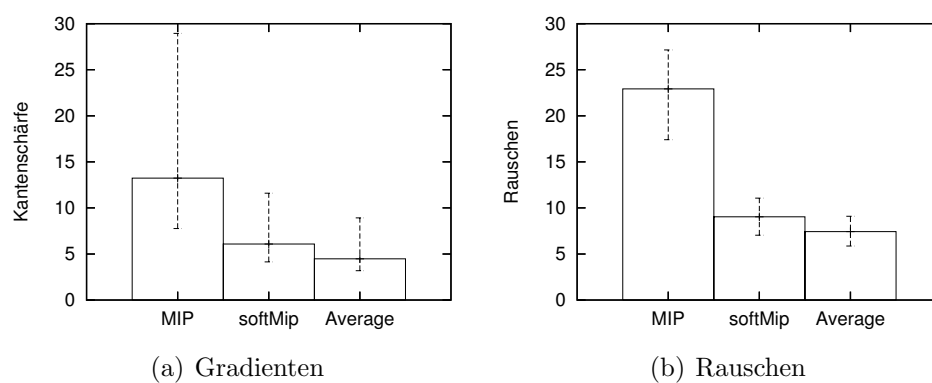


Abbildung 4.3: Kantenschärfe und Rauschen im Phantomversuch

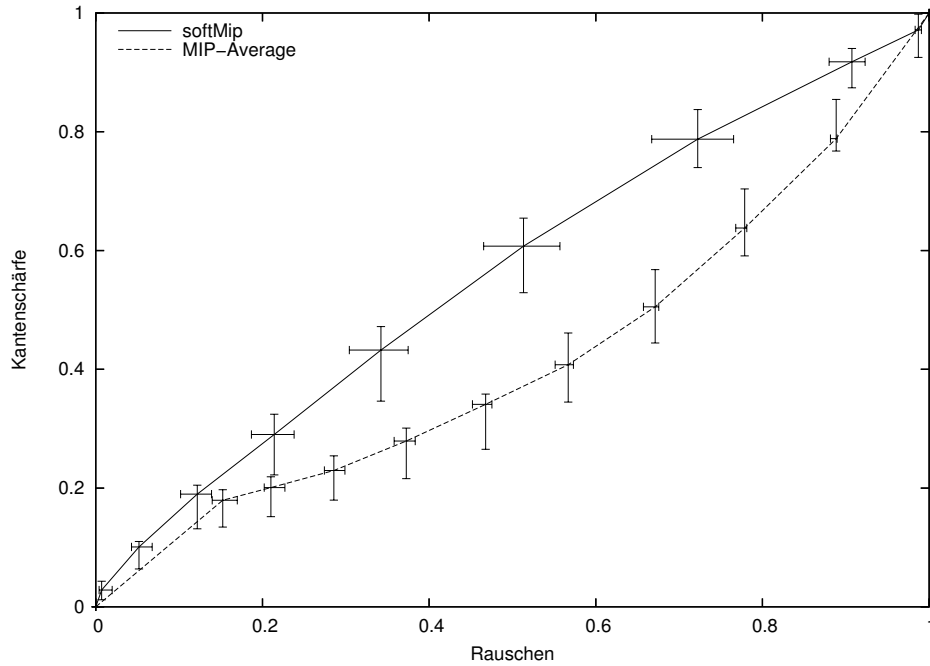


Abbildung 4.4: Blendingkurven von softMip und MIP-Average mit 25% und 75%-Quantil

4.3.1 Blending-Vergleich

Um das softMip-Blending mit dem Mip-Average-Blending zu vergleichen, wurde eine Wichtungsfunktionsschar gewählt, die f_w^{Average} über f_w^1 nach f_w^{MIP} überführt:

$$f_w(x, v) = \left\{ \begin{array}{ll} v \cdot f_w^1(x) + (1 - v) \cdot f_w^{\text{Average}}(x) ; \text{für } 0 \leq v < 1 \\ (2 - v) \cdot f_w^1(x) + (v - 1) \cdot f_w^{\text{MIP}}(x) ; \text{für } 1 \leq v \leq 2 \end{array} \right\}$$

Diese Funktion bewegt sich von Average ($v = 0$) über softMip ($v = 1$) zur MIP ($v = 2$).

Abbildung 4.4 zeigt das Kantenschärfe-Rauschen-Diagramm für beide Blending-Funktionen im Mittel über alle CT-Geräte. Eine grosse Fläche unter der Kurve in diesem Diagramm zeigt einen Übergang mit geringem Bildrauschen und hoher Kantenschärfe an. Die Fläche unter der Kurve ist in Abbildung 4.5 dargestellt. Für die MIP-Average-Überblendung ergibt sich im Median eine

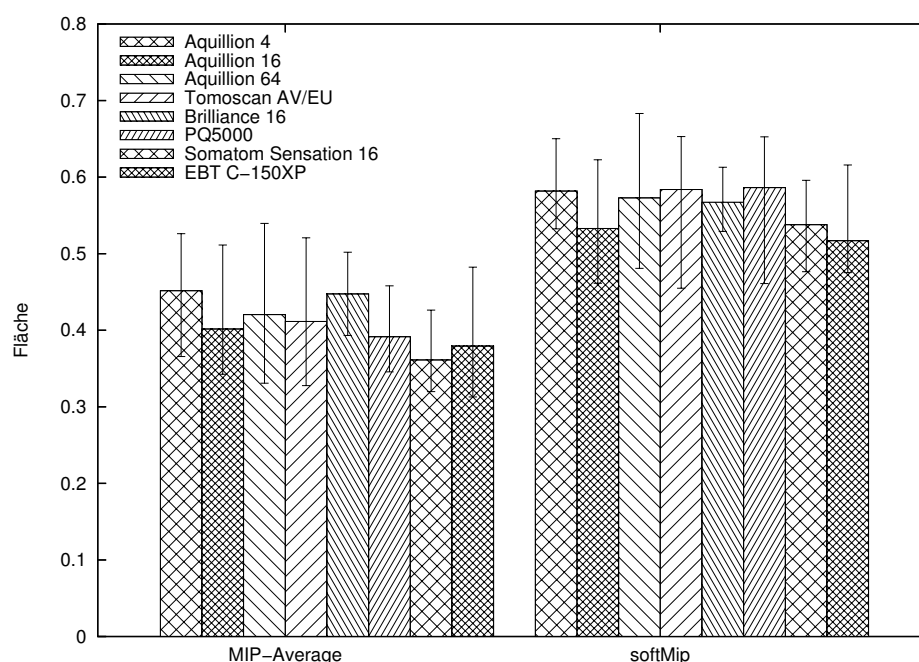


Abbildung 4.5: Fläche unter der Blendingkurve für alle Geräte

Fläche von 0,41. Für die softMip-Überblendung ergibt sich eine Fläche von 0,56. Die Unterschiede wurden für alle Geräte und für die Gesamtheit mit dem Wilcoxon-Test auf statistische Signifikanz geprüft. Dabei ergab sich in jedem Falle $p < 0,0005$.

4.4 Klinische Studie

Abbildung 4.6(a) zeigt die native Nierenübersicht eines 39-jährigen Patienten der klinischen Studie. In Abbildung 4.6(b) wurde das linke kleine Becken herausvergrößert. Die gut sichtbare Struktur **a** stellt einen Phlebolithen ohne pathologischen Wert dar. Bei der nur schwer abzugrenzenden Struktur **b** handelt es sich hingegen um ein prävesikales Konkrement, dessen Fund eine wichtige Information für die Kliniker darstellt. Nach Durchführung des Ultra-Low-Dose-CT wurden die in Abbildung 4.7 vergrößert dargestellten koronalen Projektionen angefertigt. Der Phlebolith grenzt sich bei der eingesetzten

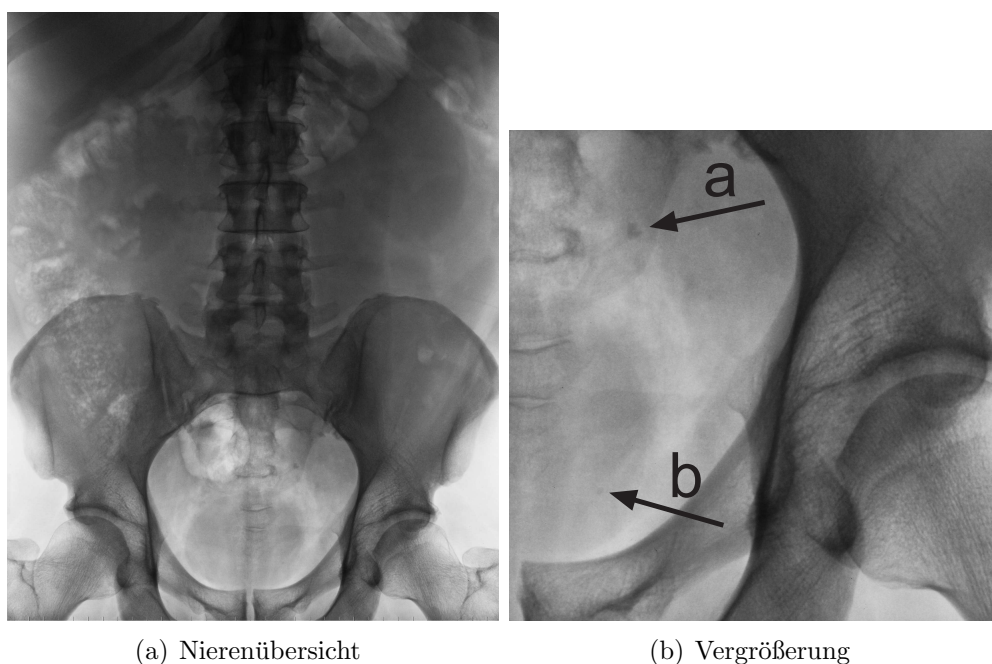


Abbildung 4.6: prävesikales Konkrement konventionell

Schichtdicke von 50 mm gut in allen Projektionen ab. Jedoch hat man Schwierigkeiten, das Konkrement in der Average-Projektion (Abbildung 4.7(a)) zu finden. In der MIP (Abbildung 4.7(c)) stellt es sich hingegen sehr gut dar. Jedoch ist auch ein starkes Rauschen zu verzeichnen. Die softMip (Abbildung 4.7(b)) hat ein deutlich geringeres Rauschen, das Konkrement ist aber noch immer gut abzugrenzen.

In den Abbildungen 4.8 sind die koronalen Projektionen einer CT-Untersuchung einer 54-jährigen Patientin der Studie dargestellt. Es sind die beidseits liegenden Ureterschienen zu erkennen. Dabei findet sich ein Konkrement im distalen Drittel des rechten Ureters. In der vergrößerten softMip-Projektion in Abbildung 4.9 sieht man in der cranialen Kelchgruppe ein kleines Konkrement. Dieses lässt sich in der Average-Projektion allenfalls erahnen – in der MIP ist es sichtbar, aber nur schwer vom umgebenden Rauschen zu trennen.

Im Rahmen der klinischen Studie ließen sich mit relativ geringem Aufwand softMip-Projektionen beliebiger Datensätze erzeugen und befunden.

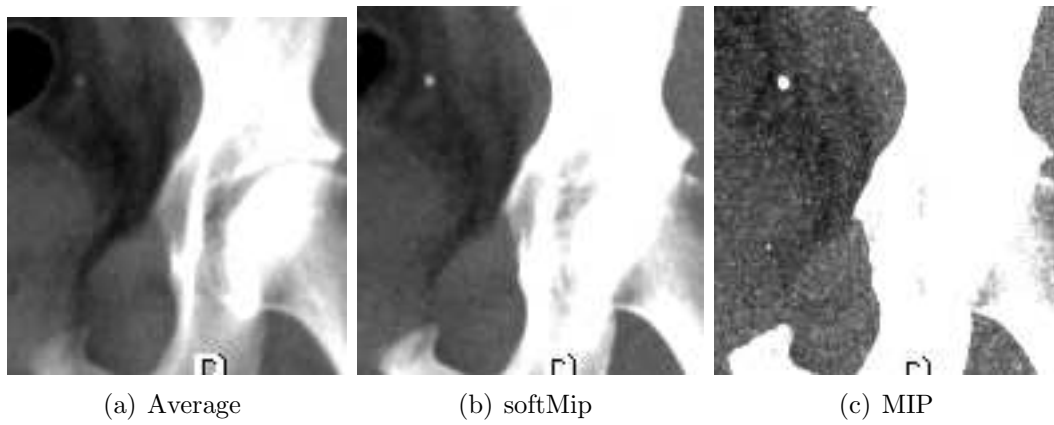


Abbildung 4.7: prävesikales Konkrement in den 50 mm CT-Projektionen

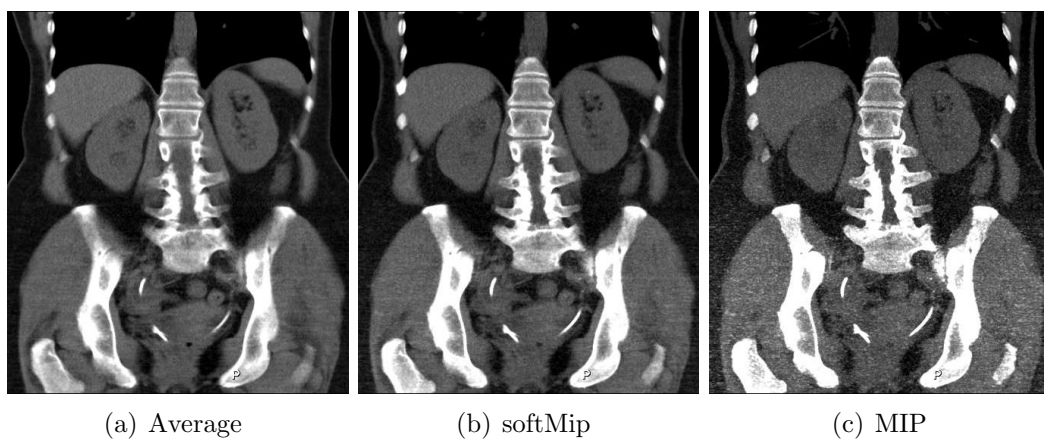


Abbildung 4.8: Nierenkonkrement in den 10 mm CT-Projektionen



Abbildung 4.9: Nierenkonkrement vergrößert

Dazu wurde der DicomProjektor in das Computernetz des Instituts eingebunden.

4.4.1 Subjektive Bildqualität

Die Werte der verschiedenen Kenndaten der subjektiven Bildqualität für Average, softMip und MIP sind in Abbildung 4.10 für 10 mm Schichten und in Abbildung 4.11 für 50 mm Schichten dargestellt. Die Unterschiede wurden mit dem Wilcoxon-Test auf statistische Signifikanz geprüft. Dabei ergaben sich für 10 mm Schichten die in Tabelle 4.3 und für 50 mm Schichten die in Tabelle 4.4 dargestellten p-Werte.

4.4.2 Konkreme

Insgesamt wurden bei 31 Patienten 62 Nierenkonkremente und 17 Ureterkonkremente gefunden. Im Folgenden ist der Vergleich der diagnostischen Wertigkeit der softMip einerseits und der MIP-Average-Kombination andererseits aufgeführt.

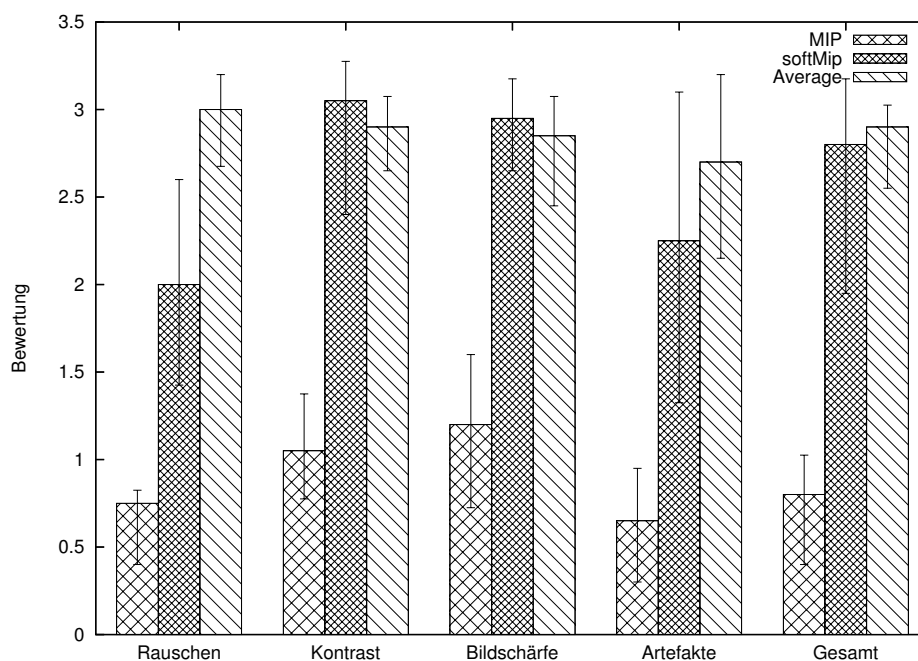


Abbildung 4.10: Bewertung der Bildqualität (Schichtdicke 10 mm)

	MIP vs. AVG	MIP vs. softMip	AVG vs. softMip
Rauschen	$p < 0,0005$	$p < 0,0005$	$p < 0,0005$
Kontrast	$p < 0,0005$	$p < 0,0005$	$p = 0,621$
Bildschärfe	$p < 0,0005$	$p < 0,0005$	$p = 0,537$
Artefakte	$p < 0,0005$	$p < 0,0005$	$p = 0,012$
Gesamt	$p < 0,0005$	$p < 0,0005$	$p = 0,314$

Tabelle 4.3: Unterschiede in der subjektiven Bildqualität (10 mm)

	MIP vs. AVG	MIP vs. softMip	AVG vs. softMip
Rauschen	$p < 0,0005$	$p < 0,0005$	$p < 0,0005$
Kontrast	$p < 0,0005$	$p < 0,0005$	$p = 0,558$
Bildschärfe	$p < 0,0005$	$p < 0,0005$	$p = 0,717$
Artefakte	$p < 0,0005$	$p < 0,0005$	$p = 0,002$
Gesamt	$p < 0,0005$	$p < 0,0005$	$p = 0,754$

Tabelle 4.4: Unterschiede in der subjektiven Bildqualität (50 mm)

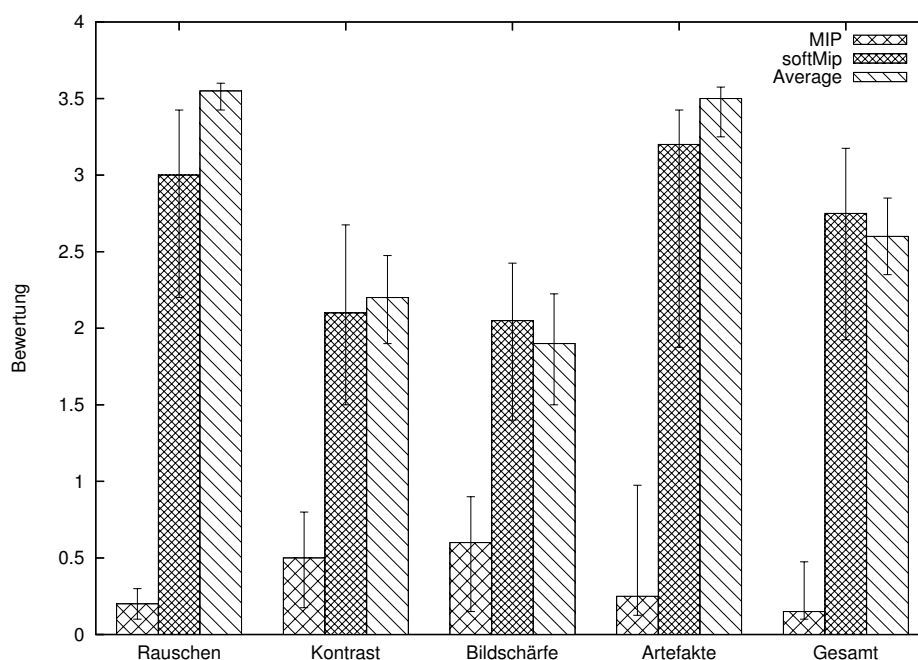


Abbildung 4.11: Bewertung der Bildqualität (Schichtdicke 50 mm)

4.4.2.1 Diagnostische Aussagekraft (Dünnschichten als Referenz)

Für Nierenkonkremente ergab sich die in Tabelle 4.5 dargestellte kombinierte Kreuztabelle für Sensitivität und Spezifität. Dabei stehen RP für “richtig positiv” und FN für “falsch negativ”. Der McNemar-Test auf statistische Signifikanz ergibt $p < 0,0005$. Die Kombination aus MIP und Average unterscheidet sich also signifikant in Sensitivität oder Spezifität bezüglich Nierenkonkrementen von der softMip. Die Kreuztabellen zur Sensitivität sind in Tabelle 4.5(a), die zur Spezifität in Tabelle 4.5(b) dargestellt. Es ergeben sich Sensitivitäten von 0,89 für softMip und 0,80 für MIP-Average, $p = 0,219$. Als Spezifitäten ergeben sich für softMip 0,54 und für MIP-Average 1,0 mit $p < 0,0005$.

Die Kreuztabelle für Ureterkonkremente ist in Tabelle 4.7 abgebildet. Der McNemar-Bowker-Test liefert $p = 0,564$. Die Sensitivität lag für softMip bei 0,76, für MIP-Average bei 0,82, doch diese Unterschiede sind nicht statistisch signifikant. Die Spezifitäten wurden für beide Verfahren mit 1,0 bestimmt.

		MIP-Average				
softMip		RP	FP	FN	RN	Gesamt
	RP	36	0	5	0	41
	FP	0	1	0	13	14
	FN	1	0	4	0	5
	RN	0	0	0	14	14
	Gesamt	37	1	9	27	74

Tabelle 4.5: kombinierte Kreuztabelle für Nierenkonkremente mit Dünnschichtreferenz

(a) Sensitivität					(b) Spezifität				
		MIP-Average					MIP-Average		
softMip		RP	FN	Gesamt	softMip		FP	RN	Gesamt
	RP	36	5	41		FP	0	13	13
	FN	1	4	5		RN	0	15	15
	Gesamt	37	9	46		Gesamt	0	28	28

Tabelle 4.6: Kreuztabellen bezüglich Nierenkonkrementen mit Dünnschichtreferenz

		MIP-Average				
softMip		RP	FP	FN	RN	Gesamt
	RP	12	0	1	0	13
	FP	0	0	0	0	0
	FN	2	0	2	0	4
	RN	0	0	0	19	19
	Gesamt	14	0	3	19	36

Tabelle 4.7: kombinierte Kreuztabelle für Ureterkonkremente mit Dünnschichtreferenz

	MIP-Average					
softMip		RP	FP	FN	RN	Gesamt
	RP	37	0	13	0	50
	FP	0	1	0	4	5
	FN	0	0	12	0	12
	RN	0	0	0	14	14
	Gesamt	37	1	25	18	81

Tabelle 4.8: kombinierte Kreuztabelle für Nierenkonkremente mit Konsensusreferenz

(a) Sensitivität					(b) Spezifität				
softMip	MIP-Average				softMip	MIP-Average			
		RP	FN	Gesamt			FP	RN	Gesamt
	RP	37	13	50		FP	0	4	4
	FN	0	12	12		RN	0	15	15
	Gesamt	37	25	62		Gesamt	0	19	19

Tabelle 4.9: Kreuztabellen bezüglich Nierenkonkrementen mit Konsensusreferenz

4.4.2.2 Diagnostische Aussagekraft (Konsensus als Referenz)

Im Folgenden sind die Ergebnisse für Sensitivität und Spezifität angegeben, welche sich durch die Anwendung der korrigierten Referenz ergeben haben.

Die kombinierte Kreuztabelle für Nierenkonkremente mit der Konsensusreferenz ist in Tabelle 4.8 dargestellt. Der McNemar-Bowker-Test liefert wieder $p < 0,0005$. Dies bestätigt, dass softMip sich signifikant in Sensitivität oder Spezifität bezüglich Nierenkonkrementen von der Kombination aus MIP und Average unterscheidet. Tabelle 4.8(a) zeigt die Kreuztabelle der Sensitivität, Tabelle 4.8(b) die der Spezifität bezüglich Nierenkonkrementen bei Konsensusreferenz. Daraus ergeben sich die Sensitivitäten von 0,81 für softMip und 0,60 für MIP-Average mit $p < 0,0005$ und die Spezifitäten von 0,79 für softMip und 1,0 für MIP-Average mit $p = 0,125$. Für Ureterkonkremente haben sich beim Einsatz der Konsensusreferenz in Tabelle 4.10 keine neuen Werte ergeben.

softMip	MIP-Average					Gesamt
		RP	FP	FN	RN	
	RP	12	0	1	0	
	FP	0	0	0	0	
	FN	2	0	2	0	
	RN	0	0	0	19	
	Gesamt	14	0	3	19	36

Tabelle 4.10: kombinierte Kreuztabelle für Ureterkonkremente mit Konsensusreferenz

softMip	MIP-Average					Gesamt
		RP	FP	FN	RN	
	RP	5	0	0	0	
	FP	0	0	0	3	
	FN	3	0	1	0	
	RN	0	0	0	50	
	Gesamt	8	0	1	53	62

Tabelle 4.11: kombinierte Kreuztabelle für Nierenstauung mit Dünnschichtreferenz

Diese Untersuchung zeigt also bei Nierenkonkrementen eine statistisch signifikant bessere Sensitivität der softMip gegenüber der MIP-Average-Kombination, die Spezifität ist bei softMip tendenziell schlechter als bei MIP-Average – eine statistische Signifikanz konnte hier nicht erzielt werden. Für die diagnostische Aussagekraft bezüglich Ureterkonkrementen konnten keine wesentlichen Unterschiede festgestellt werden.

4.4.3 Stauung

Von 62 Nieren wurden in der Dünnschichtreferenz neun Nieren und in der Konsensusreferenz elf Nieren als gestaut eingestuft.

4.4.3.1 Diagnostische Aussagekraft (Dünnschichten als Referenz)

Tabelle 4.11 zeigt die kombinierte Kreuztabelle für die Sensitivität und Spe-

(a) Sensitivität					(b) Spezifität				
softMip	MIP-Average				softMip	MIP-Average			
		RP	FN	Gesamt			FP	RN	Gesamt
	RP	5	0	5		FP	0	3	3
	FN	3	1	4		RN	0	50	50
	Gesamt	8	1	9		Gesamt	0	53	53

Tabelle 4.12: Kreuztabellen bezüglich Nierenstauung mit Dünnschichtreferenz

zifität mit den Dünnschichten als Referenz. Es ergibt sich für softMip eine Sensitivität von 0,56. Für die MIP-Average-Kombination ergibt sich die Sensitivität 0,89. Die Spezifität liegt für softMip bei 0,94, die für MIP-Average bei 1,00. Der McNemar-Test ergab $p = 0,05$. Somit konnte für die aufgetretenen Unterschiede keine statistische Signifikanz nachgewiesen werden. Die genauere Analyse mittels getrennter Kreuztabellen für Sensitivität (Tabelle 4.11(a)) und Spezifität (Tabelle 4.11(b)) bestätigt dies. Der McNemar-Test liefert $p = 0,25$ für die Unterschiede in der Sensitivität und $p = 0,25$ für die Unterschiede der Spezifität.

4.4.3.2 Diagnostische Aussagekraft (Konsensus als Referenz)

Die Benutzung der korrigierten Referenz zur Berechnung der Sensitivität und Spezifität lieferte nur gering abweichende Werte. Der Vergleich der Ergebnisse von softMip und MIP-Average führte zu der kombinierten Kreuztabelle 4.13. Die Unterschiede zur Dünnschichtreferenz sind gering. Es ergaben sich die Sensitivitäten von 0,64 und 0,73 und die Spezifitäten von 0,98 und 1,00 für softMip und MIP-Average. Der McNemar-Test ergab hier $p = 0,549$. Die Unterschiede in diesen Kenndaten sind nicht statistisch signifikant.

4.4.4 Dokumentation

Abbildung 4.12 zeigt die relativen Häufigkeiten der einzelnen Projektionen in der Dokumentation. MIP-Bilder wurden nie zur Dokumentation verwendet. Mittels Wilcoxon-Test wurde geprüft, ob es Unterschiede in der Häufigkeit

		MIP-Average				
softMip		RP	FP	FN	RN	Gesamt
	RP	5	0	2	0	7
	FP	0	0	0	1	1
	FN	3	0	1	0	4
	RN	0	0	0	50	50
	Gesamt	8	0	3	51	62

Tabelle 4.13: kombinierte Kreuztabelle für Nierenstauung mit Konsensusreferenz

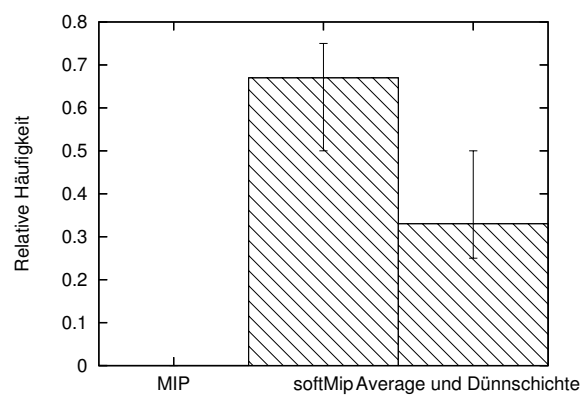


Abbildung 4.12: relative Häufigkeiten der Projektionen in der Dokumentation

der softMip-Projektionen gegenüber der der restlichen Projektionen zusammen gab. Es ergab sich eine relative Häufigkeit von 0,67 für softMip und von 0,33 für Average und Dünnschichten zusammen, $p = 0,009$.

Kapitel 5

Diskussion

5.1 Computertomographie und Strahlenexposition

Die Computertomographie ist ein wesentlicher Bestandteil moderner klinischer Bildgebung. Die technischen Entwicklungen des letzten Jahrzehnts bis hin zur MSCT haben die Möglichkeiten dieser Modalität enorm gesteigert. Die CT hat weiterhin nur einen relativ geringen Anteil an radiologischen Untersuchungen, ist aber gleichwohl für ein Drittel der diagnostisch bedingten Strahlenexposition verantwortlich [36]. Da die Strahlenexposition und der Strahlenschutz immer mehr in den Vordergrund treten, wurden wesentliche Anstrengungen unternommen, die Strahlenexposition der CT zu reduzieren.

Insbesondere für Untersuchungen an Kindern wurden schon früh Untersuchungsprotokolle mit verminderter Strahlenexposition (Low-Dose-CT) entwickelt und untersucht [17, 49, 53]. Low-Dose-CT-Untersuchungen des Kopfes, der Lunge und des Beckenskeletts benötigen nur 50% der Dosis herkömmlicher Untersuchungen, ohne die Beurteilbarkeit der Bilder zu beeinträchtigen [16, 35, 43, 55]. Cohen et al. und Iannaccone et al. bewerteten die Möglichkeiten der Low-Dose-CT-Koloskopie [7, 19]. Dabei kamen sie zu dem Ergebnis, dass es schon ab ca. 2 mSv Strahlenexposition sinnvoll möglich ist, diese Untersuchungen durchzuführen.

Kalra et al. kamen zu dem Ergebnis, dass bei Low-Dose-Abdomenuntersuchungen,

insbesondere bei übergewichtigen Patienten, die Bildqualität durch verstärktes Bildrauschen sehr stark leidet. So waren in Einzelfällen die Bilder nicht beurteilbar [26].

Jüngere Studien gehen mit der Ultra-Low-Dose-CT (ULDCT) den nächsten Schritt. Diese Untersuchungen weisen eine Strahlenexposition auf, die mit der einer konventionellen Röntgenaufnahme der untersuchten Region vergleichbar ist. ULD-Thorax-Untersuchungen haben ergeben, dass auch bei einer Dosisreduktion um 93,3% die Detektion pulmonaler Rundherde nicht wesentlich eingeschränkt ist [50]. Untersuchungen zur Detektion von Harnwegskonkrementen zeigen eine diagnostische Überlegenheit der Abdomen-ULDCT gegenüber dem Ultraschall [30, 48]. Durch die Minimierung der Strahlenexposition steigt das Bildrauschen stark an, und erschwert so die Beurteilung.

5.2 softMip-Ergebnisse

Der verfolgte Ansatz dieser Arbeit, einen Projektionsalgorithmus zu entwickeln und mittels eines eigenen Dicom-Projektionsservers zu evaluieren, zeigte sich als ein gangbarer Weg zur Untersuchung neuer computergestützter Nachverarbeitungsverfahren. Ein wesentlicher Vorteil dieses Weges ist die Unabhängigkeit von Rekonstruktions- und Befundungssoftware und den entsprechenden Workstations. Der softMip-Projektionsserver konnte erfolgreich als zusätzliche Funktionalität in das bestehende heterogene Radiologie-Netz integriert werden. Langfristig ist aber eine Integration in bestehende Befundungssoftware wünschenswert.

Die Ergebnisse der Arbeit zeigen, dass durch den Einsatz von softMip in Niedrigdosisdatensätzen das Bildrauschen verringert und die Kontraste erhöht werden können. Dadurch ermöglicht softMip eine bessere Beurteilbarkeit pathologischer Strukturen. Die softMip ist kein festgelegtes Projektionsverfahren, denn die Charakteristik ist sehr stark von der Wichtungsfunktion f_w abhängig. Somit ergibt sich eine große Gruppe von Projektionen, die von der minMip über die Average-Projektion bis zur MIP reicht und alle erdenklichen Zwischenstufen einschließt. Der Blending-Vergleich zeigt, dass für die entstandenen Bilder – aus der für diese Arbeit gewählten f_w (siehe Tabelle 4.1)

– die Kantenschärfe näher an der Kantenschärfe der Average-Projektion liegt als an der hohen Kantenschärfe der MIP. Das Verhältnis von Bildrauschen zu Kantenschärfe ist in den softMip-Bildern jedoch sehr gut, da das Bildrauschen der softMip-Bilder noch näher an dem der Averageprojektion liegt. Das optimale Verhältnis von Rauschen und Kantenschärfe wurde bei dieser Wahl von f_w sicher noch nicht erreicht und muss auch für jede Fragestellung neu ermittelt werden.

Zu der klinischen Studie ist zu bemerken, dass sich die subjektive Bildqualität der softMip kaum von der hohen Qualität der Average-Projektion unterscheidet. Damit erfüllt die softMip die wesentliche Forderung, ein für den Betrachter angenehmes und leicht zu beurteilendes Bild zu erzeugen. Die durchgehend schlechte Beurteilung der Bildqualität der MIP-Bilder zeigt eindrucksvoll, dass die MIP kein geeignetes Projektionsverfahren für stark verrauschte Datensätze der Ultra-Low-Dose-Bildgebung ist.

Dass die softMip es vermag, bei gleichzeitiger Rauschunterdrückung auch die Kontraste anzuheben und somit Konkremeute gut sichtbar darzustellen, zeigt die signifikant höhere Sensitivität der softMip gegenüber der MIP-Average-Kombination für Nierenkonkremente. Die Kontrastanhebung in den MIP-Bildern blieb offenbar wirkungslos, da die kontrastangehobenen Konkremeute im verstärkten Rauschen untergingen. Allerdings kann dagegen gehalten werden, dass die Spezifität der softMip für Nierenkonkremente tendenziell niedriger war als die der MIP-Average-Kombination. Für diesen Fall wäre eine ROC-Analyse wünschenswert, da man bei vielen diagnostischen Tests durch Verschiebung des Cutoff-Punktes auf der ROC-Kurve die Sensitivität erhöhen und die Spezifität senken kann und umgekehrt [6, 10]. Eine solche Auswertung ist aber nur bei kontinuierlichen Messwerten sinnvoll möglich und gestaltet sich bei binären Detektionsentscheidungen für Konkremeute sehr aufwendig. Andererseits könnte die verringerte Spezifität auch darauf zurückzuführen sein, dass die Untersucher mit der softMip tatsächlich Konkremeute fanden, die selbst in den Dünnschichten nicht zu detektieren waren. Studien mit höheren Fallzahlen und eventuell auch die Erfassung von ROC-Kurven sind hier nötig. Für Ureterkonkremente sind die Ergebnisse nur schwer zu werten, da in allen Patienten zusammen nur 17 Konkremen-

te gefunden wurden. Die Ergebnisse zeigen keine wesentlichen Unterschiede in Sensitivität und Spezifität bezüglich Ureterkonkrementen. Interessant ist, dass in beiden Gruppen die Spezifität bei 1,0 liegt – es also keine falsch positiven Ureterkonkremente gab.

Ähnlich verhält es sich bei der Frage nach einer Nierenstauung. Bei nur elf Patienten wurde eine Stauung diagnostiziert – es wurden keine verwertbaren Unterschiede der diagnostischen Wertigkeit von softMip und MIP-Average gefunden.

Eine große Stärke der softMip-Bilder zeigte sich bei der Dokumentation der Befunde und deren Lokalisation. Die Bilder der softMip-Serien wurden überdurchschnittlich häufig zur Dokumentation der Befunde eingesetzt. Diese Tatsache legt nahe, dass softMip-Bilder pathologische Befunde anschaulicher zeigen als MIP- oder Average-Bilder. Außerdem ermöglichen die softMip-Bilder eine sehr gute anatomische Einordnung der Befunde.

5.3 Vergleich mit ähnlichen Projekten

5.3.1 Rauschminderung in den axialen Schichten

Kalra et al. berichten über die Anwendung von Rauschminderungsfiltern in Low-Dose-CT Untersuchungen [27]. Als Ergebnis zeigt sich, dass die Filter die subjektive Bildqualität durchaus steigern. Im Gegensatz zu den Ergebnissen der softMip-Untersuchung sind pathologische Strukturen mitunter schlechter auszumachen. Auch ändert sich die gesamte Bildcharakteristik durch Änderungen der Modulationstransferfunktion (MTF) im hohen Frequenzbereich. Wedegartner et al. untersuchten den Einfluß der Rekonstruktionsschichtdicke auf die Bildqualität und die diagnostische Wertigkeit der Bilder [56]. Es zeigte sich, dass für Leberaufnahmen dünne Schichten (3 mm) die genaueste diagnostische Information liefern, auch wenn in dickeren Schichten das Rauschen besser reduziert wird. Keselbrener et al. beschreiben die Anwendung nichtlinearer Filter, denen zwar komplexe Berechnungen zugrunde liegen. Die resultierenden Bilder zeigen aber zumindest bei Phantomen sehr gute Ergebnisse [29].

5.3.2 Rauschminderung vor der Rekonstruktion

Neben der Rauschminderung in den rekonstruierten Bilddaten ist es auch möglich, das Rauschen bereits zuvor, im Rekonstruktionsverfahren oder im Akquisitionsprozess, zu reduzieren [3, 14, 21, 52]. Dieses sehr komplexe Thema würde aber den Rahmen dieser Arbeit sprengen, da diese sich ausschließlich mit der Nachverarbeitung bereits rekonstruierter Bilder befasst.

5.3.3 Auflösung und Bildrauschen

Viele Verfahren zur Verminderung des Bildrauschens beruhen letztendlich auf der Erhöhung der Sampling-Frequenz – der Anzahl der Messpunkte, die einen Bildpunkt ergeben. Dadurch wird aber gleichzeitig auch die räumliche Auflösung der Bilder gemindert. Dies gilt prinzipiell auch für Projektionsverfahren wie Average und softMip, welche auch das Rauschen mindern. Die Auflösung wird bei diesen Verfahren jedoch nur in der Achse gemindert, die senkrecht zum Bild steht. Die Auflösung in X-Y-Richtung ist so hoch wie in den Ursprungsdaten. Es ist also auch in solchen Bildern die Ausdehnung oder Lokalisation bestimmter Strukturen in die Bildebene hinein nur schwer zu bestimmen. Um diese Einschränkung zu umgehen, kann man aber Average- oder auch softMip-Projektionen, wie bei der MPR, in mehreren Schnittführungen berechnen und erhält im Resultat Bilder mit gemindertem Rauschen und voller Auflösung in der neuen Schnittebene. Sieht man sich zunächst koronale Schichten an, und ist sich unsicher über die Ausdehnung eines Befundes in der Blickrichtung, so kann man diese Frage sehr leicht auf sagittalen oder axialen Bildern beantworten. Mit einer solchen Vorgehensweise kann die eingeschränkte Auflösung projektionsbasierter Bilder umgangen werden.

5.3.4 Anwendungen der MIP

Die MIP wurde ursprünglich für die Beurteilung von MR-Angiographien entwickelt [28, 33]. Auch für die Suche nach Lungenrundherden und die Beurteilung des Bronchialsystems hat sich die MIP als hilfreich erwiesen [39]. Eine wichtige Domäne der MIP ist aber die CT-Angiographie, da durch die selek-

tive Darstellung der dichten Voxel eine gute Darstellung der kontrastierten Gefäße erreicht wird [37]. In bestimmten Situationen ist es möglich, dass auf MIP-Bildern intraluminale Thromben in seitlich getroffenen Gefäßen nicht sichtbar sind, obwohl diese in den axialen Dünnschichten abgebildet sind [34, 46]. Da die softMip im Gegensatz zur MIP auch eine Mittelwertbildung der Schichten einschließt, ist es möglich, dass intraluminale Thromben auf softMip-Bildern nicht maskiert werden.

5.4 Limitierungen

5.4.1 Clusterfehler

Da im Laufe der Untersuchung bei einigen Patienten mehrere Konkreme diagnostiziert wurden und diese Konkreme in der Auswertung als einzelne Fälle gewertet werden, vervielfachen sich auch die ausschließlich mit diesem Patienten verbundenen Auswertungsfehler. So tritt beispielsweise bei adipösen Patienten verstärkt Rauschen auf, was zu einer schlechteren Konkrementerkennung führt. Dies kann Fehler in verschiedener Form verursachen. Einerseits werden Konkreme leichter übersehen, da sie im Rauschen nicht zu erkennen sind. Andererseits kann es vorkommen, dass besonders starke Rauschpunkte als Konkrement fehlgedeutet werden. So kann ein Fehler – z.B. das zu starke Bildrauschen bei einem Patienten – gleich mehrere Fälle verfälschen.

5.4.2 Toleranz bei Konkrementgröße und -lokalisierung

In der vorliegenden Studie war vorgesehen, jedes Konkrement als einzelnen Fall zu werten. Um mehrere Konkreme pro Patient in den verschiedenen Befundungsdurchgängen möglichst genau zuzuordnen zu können, mussten die Konkreme charakterisiert werden. Dazu wurden für jedes Konkrement die Größe und die Lokalisation kategorisiert. Anhand dieser Einordnung war es bei der Auswertung möglich, die Konkreme einander zuzuordnen.

Die Bestimmung der Lokalisation eines Nieren- oder Ureterkonkrements

tes ist in den axialen Dünnschichten deutlich ungenauer als in den koronalen Projektionen, da die kranio-kaudale Ausdehnung in axialen Schichten nur abgeschätzt werden kann – in koronalen Schichten kann man sie hingegen direkt erkennen. Während der Auswertung wurde deshalb bei der Konkrementlokalisierung eine Abweichung von einem Segment toleriert. Dies ist wichtig, um die unterschiedlich gute Lokalisierbarkeit in den frontalen Projektionen und den axialen Dünnschichten auszugleichen. Gleichzeitig aber erhöht sich dadurch auch das Risiko, Konkreme als identisch zu bewerten, welche evtl. nicht identisch sind. In den unterschiedlichen Projektionen wird die Größe desselben Konkremes unterschiedlich eingeschätzt. Auf MIP-Bildern wird sie eher überschätzt, auf Average-Bildern werden Konkreme eher zu klein sichtbar. So wurde in der vorliegenden Untersuchung eine Größenabweichung um eine Größenkategorie toleriert. Konkreme, die in Größe oder Lokalisation im Grenzbereich zweier Kategorien befindlich sind und daher bei mehreren Durchgängen in verschiedene Kategorien eingeordnet werden, können durch diese Toleranzen dennoch als identisch erkannt werden.

5.4.3 Korrigierte Referenz

Da für die Detektion von Konkrementen kein Goldstandard verfügbar ist, wurden die Befunde der Dünnschicht-Serien als Referenz benutzt. In einem weiteren Durchgang wurde eine korrigierte Referenz als Konsensus aller Serien geschaffen. Eventuelle Fehler, wie ein falsch positives Konkrement in den softMip-Serien, könnten bei der Konsensusbildung auch in die korrigierte Referenz eingehen. Dies hätte zur Folge, dass das falsch positive Konkrement als richtig positiv bewertet würde.

5.4.4 Tools und Skripte

Die Auswertung der Untersuchung erfolgte mithilfe zweier Ruby-Skripte¹. Diese Skripte wurden explizit für diese Arbeit entwickelt. Dadurch sind sie als neue Auswertungsmethoden anzusehen, die noch nicht etabliert und we-

¹GradientFinder, StoneSorter

nig getestet sind. Die Auswertung wird durch die Verwendung dieser Scripte selbst für medizinisch versiertes Personal schwer nachvollziehbar. Andererseits ist eine computergestützte Auswertung sehr objektiv und damit sehr reliabel.

5.5 Ausblick

Die weitere sinnvolle Entwicklung der softMip erfasst die systematische Untersuchung verschiedener Wichtungsfunktionen f_w in verschiedenen Anwendungsbereichen. Es ist auch vorstellbar, die Wichtungsfunktion mittels Phantomen computergestützt automatisch zu optimieren, so dass ein einstellbarer Kompromiss aus Kantenschärfe und Bildrauschen resultiert.

Wünschenswert wären auch umfassendere Studien zur Untersuchung der Bildqualität und der diagnostischen Wertigkeit der softMip, mit einerseits mehreren befundenden Radiologen und andererseits noch mehr Fällen. Andere sinnvolle Anwendungsgebiete für die softMip sollten untersucht werden. Die softMip könnte evtl. sinnvoll bei CT der Nasennebenhöhlen, des Thorax und des Skeletts eingesetzt werden. Auch für CT-Angiographien kann die softMip gute Dienste leisten, ist doch hier die MIP ein verbreitetes Nachverarbeitungsverfahren. Mit der softMip könnte die Bildqualität gesteigert werden. Gleichzeitig könnte der Mangel der MIP, in bestimmten Situationen Pathologien durch davor oder dahinter befindliche dichte Strukturen zu verbergen, durch die bei der softMip vorhandene Mittelwertbildung ausgeglichen werden.

Literaturverzeichnis

- [1] APPLGATE, K. E. ; TELLO, R. ; YING, J. : Hypothesis testing III: counts and medians. In: *Radiology* 228 (2003), Nr. 3, S. 603–8
- [2] ASPLIN, J. R. ; COE, F. L. ; FAVUS, M. J.: *Harrison's Principles of Internal Medicine*. Bd. 2. The McGraw-Hill Companies, Inc., 2003
- [3] BADEA, C. ; GORDON, R. : Experiments with the nonlinear and chaotic behaviour of the multiplicative algebraic reconstruction technique (MART) algorithm for computed tomography. In: *Phys Med Biol* 49 (2004), Nr. 8, S. 1455–74
- [4] BECKER, C. R. ; SCHATZL, M. ; SCHOEPP, U. J. ; BRUNING, R. ; REISER, M. F.: Technische Grundlagen und Akquisitionsbedingungen der Elektronenstrahl-Computertomographie. In: *Radiologe* 38 (1998), Nr. 12, S. 987–92
- [5] BRIX, G. ; NAGEL, H. D. ; STAMM, G. ; VEIT, R. ; LECHER, U. ; GRIEBEL, J. ; GALANSKI, M. : Radiation exposure in multi-slice versus single-slice spiral CT: results of a nationwide survey. In: *Eur Radiol* 13 (2003), Nr. 8, S. 1979–91
- [6] BROWN, M. D. ; REEVES, M. J.: Evidence-based emergency medicine/skills for evidence-based emergency care. Interval likelihood ratios: another advantage for the evidence-based diagnostician. In: *Ann Emerg Med* 42 (2003), Nr. 2, S. 292–7
- [7] COHNEN, M. ; VOGT, C. ; BECK, A. ; ANDERSEN, K. ; HEINEN, W. ; VOM DAHL, S. ; AURICH, V. ; HAEUSSINGER, D. ; MOEDDER, U. :

- Feasibility of MDCT Colonography in ultra-low-dose technique in the detection of colorectal lesions: comparison with high-resolution video colonoscopy. In: *AJR Am J Roentgenol* 183 (2004), Nr. 5, S. 1355–9
- [8] DIEDERICH, S. ; WORMANN, D. : Impact of low-dose CT on lung cancer screening. In: *Lung Cancer* 45 Suppl 2 (2004), S. S13–9
- [9] EIBEL, R. ; BRUNING, R. ; SCHOPF, U. J. ; LEIMEISTER, P. ; STADIE, A. ; REISER, M. F.: Bildanalyse bei der Mehrschicht-Spiral-CT der Lunge mit MPR- und MIP-Rekonstruktionen. In: *Radiologe* 39 (1999), Nr. 11, S. 952–7
- [10] FARR, B. M. ; SHAPIRO, D. E.: Diagnostic tests: distinguishing good tests from bad and even ugly ones. In: *Infect Control Hosp Epidemiol* 21 (2000), Nr. 4, S. 278–84
- [11] GALANSKI, M. ; NAGEL, H. D. ; STAMM, G. : CT-Expositionspraxis in der Bundesrepublik Deutschland. In: *Fortschr Röntgenstr* 173 (2001), Nr. 10, S. R1–66
- [12] GIES, M. ; KALENDER, W. A. ; WOLF, H. ; SUESS, C. : Dose reduction in CT by anatomically adapted tube current modulation. I. Simulation studies. In: *Med Phys* 26 (1999), Nr. 11, S. 2235–47
- [13] GREESS, H. ; WOLF, H. ; SUESS, C. ; KALENDER, W. A. ; BAUTZ, W. ; BAUM, U. : Dosisautomatik bei der Mehrzeilenspiral-CT: Phantommessungen und klinische Ergebnisse. In: *Fortschr Röntgenstr* 176 (2004), Nr. 6, S. 862–9
- [14] HARPEN, M. D.: A computer simulation of wavelet noise reduction in computed tomography. In: *Med Phys* 26 (1999), Nr. 8, S. 1600–6
- [15] HAWASS, N. E.: Comparing the sensitivities and specificities of two diagnostic procedures performed on the same group of patients. In: *Br J Radiol* 70 (1997), Nr. 832, S. 360–6

- [16] HEIN, E. ; ROGALLA, P. ; KLINGEBIEL, R. ; HAMM, B. : Low-dose CT of the paranasal sinuses with eye lens protection: effect on image quality and radiation dose. In: *Eur Radiol* 12 (2002), Nr. 7, S. 1693–6
- [17] HONNEF, D. ; WILDBERGER, J. E. ; STARGARDT, A. ; HOHL, C. ; BARKER, M. ; GUNTHER, R. W. ; STAATZ, G. : Mehrschicht-Spiral-CT (MSCT) in der Kinderradiologie: Dosisreduktion bei der Untersuchung von Thorax und Abdomen. In: *Fortschr Röntgenstr* 176 (2004), Nr. 7, S. 1021–30
- [18] HUNDT, W. ; RUST, F. ; STABLER, A. ; WOLFF, H. ; SUESS, C. ; REISER, M. : Dose reduction in multislice computed tomography. In: *J Comput Assist Tomogr* 29 (2005), Nr. 1, S. 140–7
- [19] IANNACCONE, R. ; LAGHI, A. ; CATALANO, C. ; MANGIAPANE, F. ; PIA-CENTINI, F. ; PASSARIELLO, R. : Feasibility of ultra-low-dose multislice CT colonography for the detection of colorectal lesions: preliminary experience. In: *Eur Radiol* 13 (2003), Nr. 6, S. 1297–302
- [20] IMHOF, H. ; SCHIBANY, N. ; BA-SSALAMAH, A. ; CZERNY, C. ; HOJREH, A. ; KAINBERGER, F. ; KRESTAN, C. ; KUDLER, H. ; NOBAUER, I. ; NOWOTNY, R. : Spiral CT and radiation dose. In: *Eur J Radiol* 47 (2003), Nr. 1, S. 29–37
- [21] KACHELRIESS, M. ; WATZKE, O. ; KALENDER, W. A.: Generalized multi-dimensional adaptive filtering for conventional and spiral single-slice, multi-slice, and cone-beam CT. In: *Med Phys* 28 (2001), Nr. 4, S. 475–90
- [22] KALENDER, W. A.: Grundlagen und Technik der Spiral-CT. In: *Radio-loge* 39 (1999), Nr. 9, S. 809–19; quiz 819
- [23] KALENDER, W. A. ; WOLF, H. ; SUESS, C. ; GIES, M. ; GREESS, H. ; BAUTZ, W. A.: Dose reduction in CT by on-line tube current control: principles and validation on phantoms and cadavers. In: *Eur Radiol* 9 (1999), Nr. 2, S. 323–28

- [24] KALRA, M. K. ; MAHER, M. M. ; RIZZO, S. ; SAINI, S. : Radiation exposure and projected risks with multidetector-row computed tomography scanning: clinical strategies and technologic developments for dose reduction. In: *J Comput Assist Tomogr* 28 Suppl 1 (2004), S. S46–9
- [25] KALRA, M. K. ; MAHER, M. M. ; SAINI, S. : Multislice CT: update on radiation and screening. In: *Eur Radiol* 13 Suppl 5 (2003), S. M129–33
- [26] KALRA, M. K. ; PRASAD, S. ; SAINI, S. ; BLAKE, M. A. ; VARGHESE, J. ; HALPERN, E. F. ; THRALL, J. H. ; RHEA, J. T.: Clinical comparison of standard-dose and 50% reduced-dose abdominal CT: effect on image quality. In: *AJR Am J Roentgenol* 179 (2002), Nr. 5, S. 1101–6
- [27] KALRA, M. K. ; WITTRAM, C. ; MAHER, M. M. ; SHARMA, A. ; AVINASH, G. B. ; KARAU, K. ; TOTH, T. L. ; HALPERN, E. ; SAINI, S. ; SHEPARD, J. A.: Can noise reduction filters improve low-radiation-dose chest CT images? Pilot study. In: *Radiology* 228 (2003), Nr. 1, S. 257–64
- [28] KELLER, P. J. ; DRAYER, B. P. ; FRAM, E. K. ; WILLIAMS, K. D. ; DU-MOULIN, C. L. ; SOUZA, S. P.: MR angiography with two-dimensional acquisition and three-dimensional display. Work in progress. In: *Radiology* 173 (1989), Nr. 2, S. 527–32
- [29] KESELBRENER, L. ; SHIMONI, Y. ; AKSELROD, S. : Nonlinear filters applied on computerized axial tomography: theory and phantom images. In: *Med Phys* 19 (1992), Nr. 4, S. 1057–64
- [30] KLÜNER, C. ; HEIN, P. A. ; GRALLA, O. ; HEIN, E. ; HAMM, B. ; ROMANO, V. ; ROGALLA, P. : Does ultra-low-dose CT with a radiation dose equivalent to that of KUB suffice to detect renal and ureteral calculi? In: *J Comput Assist Tomogr* (In Press)
- [31] KOJIMA, A. ; TAKESHITA, K. ; FUKUCHI, Y. ; DAMBARA, T. : Usefulness of low-dose single-slice CT (SSCT) for mass screening to detect various thoracic diseases including lung cancer. In: *Nihon Kokyuki Gakkai Zasshi* 42 (2004), Nr. 10, S. 887–92

- [32] KRUMMENAUER, F. : IV: Signifikanztests - wann welchen? In: *Klin Monatsbl Augenheilkd* 219 (2002), Nr. 11, S. 817–20
- [33] LAUB, G. A. ; KAISER, W. A.: MR angiography with gradient motion refocusing. In: *J Comput Assist Tomogr* 12 (1988), Nr. 3, S. 377–82
- [34] MARTEN, K. ; FUNKE, M. ; OBENAUER, S. ; BAUM, F. ; GRABBE, E. : Stellenwert unterschiedlicher Nachverarbeitungsverfahren in der Mehrschicht-Spiral-CT der akuten Lungenembolie. In: *Fortschr Röntgenstr* 175 (2003), Nr. 5, S. 635–9
- [35] MULLINS, M. E. ; LEV, M. H. ; BOVE, P. ; O'REILLY, C. E. ; SAINI, S. ; RHEA, J. T. ; THRALL, J. H. ; HUNTER, G. J. ; HAMBERG, L. M. ; GONZALEZ, R. G.: Comparison of image quality between conventional and low-dose nonenhanced head CT. In: *AJNR Am J Neuroradiol* 25 (2004), Nr. 4, S. 533–8
- [36] NAGEL, H. D. ; BLOBEL, J. ; BRIX, G. ; EWEN, K. ; GALANSKI, M. ; HOF, P. ; LOOSE, R. ; PROKOP, M. ; SCHNEIDER, K. ; STAMM, G. ; STENDER, H. S. ; SUSS, C. ; TURKAY, S. ; VOGEL, H. ; WUCHERER, M. : 5 Jahre Konzentrierte Aktion Dosisreduktion CT - was wurde erreicht, was ist noch zu tun? In: *Fortschr Röntgenstr* 176 (2004), Nr. 11, S. 1683–94
- [37] NAPEL, S. ; MARKS, M. P. ; RUBIN, G. D. ; DAKE, M. D. ; McDONNELL, C. H. ; SONG, S. M. ; ENZMANN, D. R. ; JEFFREY, J. : CT angiography with spiral CT and maximum intensity projection. In: *Radiology* 185 (1992), Nr. 2, S. 607–10
- [38] NAPEL, S. ; RUBIN, G. D. ; JEFFREY, J. : STS-MIP: a new reconstruction technique for CT of the chest. In: *J Comput Assist Tomogr* 17 (1993), Nr. 5, S. 832–8
- [39] NAPEL, S. ; BERGIN, C. ; PARANJPE, D. ; RUBIN, G. D.: Maximum and Minimum Intensity Projection of Spiral CT Data for Simultaneous 3D Imaging of the Pulmonary Vasculature and Airways (Abstract). In: *78th*

Scientific Sessions Radiological Society of North America Bd. 185(p).
Chicago : Radiology, 1992, S. 126

- [40] NITTA, N. ; TAKAHASHI, M. ; MURATA, K. ; MORITA, R. : Ultra low-dose helical CT of the chest: evaluation in clinical cases. In: *Radiat Med* 17 (1999), Nr. 1, S. 1–7
- [41] OHNESORGE, B. ; FLOHR, T. ; SCHALLER, S. ; KLINGENBECK-REGN, K. ; BECKER, C. ; SCHOPF, U. J. ; BRUNING, R. ; REISER, M. F.: Technische Grundlagen und Anwendungen der Mehrschicht-CT. In: *Radiologe* 39 (1999), Nr. 11, S. 923–31
- [42] PARMAR, M. S.: Kidney stones. In: *Bmj* 328 (2004), Nr. 7453, S. 1420–4
- [43] PRASAD, S. R. ; WITTRAM, C. ; SHEPARD, J. A. ; MCLOUD, T. ; RHEA, J. : Standard-dose and 50%-reduced-dose chest CT: comparing the effect on image quality. In: *AJR Am J Roentgenol* 179 (2002), Nr. 2, S. 461–5
- [44] PROKOP, M. : Überblick über Strahlendosis und Bildqualität in der Computertomographie. In: *Fortschr Röntgenstr* 174 (2002), Nr. 5, S. 631–6
- [45] PROKOP, M. : General principles of MDCT. In: *Eur J Radiol* 45 Suppl 1 (2003), S. S4–10
- [46] PROKOP, M. ; SHIN, H. O. ; SCHANZ, A. ; SCHAEFER-PROKOP, C. M.: Use of maximum intensity projections in CT angiography: a basic review. In: *Radiographics* 17 (1997), Nr. 2, S. 433–51
- [47] RIPOLLES, T. ; AGRAMUNT, M. ; ERRANDO, J. ; MARTINEZ, M. J. ; CORONEL, B. ; MORALES, M. : Suspected ureteral colic: plain film and sonography vs unenhanced helical CT. A prospective study in 66 patients. In: *Eur Radiol* 14 (2004), Nr. 1, S. 129–36
- [48] ROGALLA, P. ; KLÜNER, C. ; TAUPITZ, M. : Ultra-Niedrigdosis-CT zur Steinsuche in Nieren und ableitenden Harnwegen. In: *Aktuelle Urol* 35 (2004), Nr. 4, S. 307–9

- [49] ROGALLA, P. ; STÖVER, B. ; SCHEER, I. ; JURAN, R. ; GAEDICKE, G. ; HAMM, B. : Low-dose spiral CT: applicability to paediatric chest imaging. In: *Pediatr Radiol* 29 (1999), Nr. 8, S. 565–9
- [50] ROMANO, V. ; ZASPEL, U. ; HEIN, P. ; ELGETI, T. ; HAMM, B. ; ROGALLA, P. : MSCT Performed at a Chest Radiograph Dose: Detection and Characterization of Pulmonary Nodules Compared with Standard-dose CT (Abstract). In: *RSNA. Chicago : Radiology*, 2004
- [51] RUBIN, G. D.: Data explosion: the challenge of multidetector-row CT. In: *Eur J Radiol* 36 (2000), Nr. 2, S. 74–80
- [52] SASAKI, T. ; HANARI, T. ; SASAKI, M. ; OIKAWA, H. ; GAKUMAZAWA, H. ; OKUMURA, M. ; IKEDA, Y. ; TOYOSHIMA, N. : Reduction of radiation exposure in CT perfusion study using a quantum de-noising filter (Abstract). In: *Nippon Hoshasen Gijutsu Gakkai Zasshi* 60 (2004), Nr. 12, S. 1688–93
- [53] STÖVER, B. ; ROGALLA, P. : CT-Untersuchungen beim Kind. In: *Radiologe* 39 (1999), Nr. 6, S. 455–62
- [54] VOGT, C. ; COHNEN, M. ; BECK, A. ; VOM DAHL, S. ; AURICH, V. ; MODDER, U. ; HAUSSINGER, D. : Detection of colorectal polyps by multislice CT colonography with ultra-low-dose technique: comparison with high-resolution videocolonoscopy. In: *Gastrointest Endosc* 60 (2004), Nr. 2, S. 201–9
- [55] WEDEGARTNER, U. ; LORENZEN, M. ; LORENZEN, J. ; NOLTE-ERNSTING, C. ; WEBER, C. ; DIECKMANN, C. ; CRAMER, M. ; SCHODER, V. ; ADAM, G. : Mehrzeilen-Spiral CT (MSCT) des Beckenskelettes: Dosisoptimierung unter Berücksichtigung der Bildqualität. In: *Fortschr Röntgenstr* 176 (2004), Nr. 1, S. 106–12
- [56] WEDEGARTNER, U. ; LORENZEN, M. ; NAGEL, H. D. ; KOOPS, A. ; WEBER, C. ; NOLTE-ERNSTING, C. ; SCHODER, V. ; ADAM, G. : Dünn- und

dickschichtige MSCT-Untersuchungen bei Niedrigkontrastobjekten (Leberläsionen): Vergleich der Bildqualität bei gleicher Dosis. In: *Fortschr Röntgenstr* 176 (2004), Nr. 11, S. 1676–82

- [57] ZOU, Y. ; SIDKY, E. Y. ; PAN, X. : Partial volume and aliasing artefacts in helical cone-beam CT. In: *Phys Med Biol* 49 (2004), Nr. 11, S. 2365–75

Anhang A

DicomProjector

Hier ist nur der Quelltext der Hauptklasse DcmVolume abgedruckt.

A.1 C++ - Header

Zunächst der C++ - Header dcmvolume.h:

```
1  #ifndef DCMVOLUMEH
2  #define DCMVOLUMEH
3
4
5  #include <vector>
6
7  #include "dicomdecoder.h"
8  #include "labelimg.h"
9
10 #define RENDER_XY 2
11 #define RENDER_XZ 1
12 #define RENDER_YZ 0
13 #define DIMENSION_X RENDER_YZ
14 #define DIMENSION_Y RENDER_XZ
15 #define DIMENSION_Z RENDER_XY
16
17 #define FILTER_PREVIEW 0
18 #define FILTER_VIEW 1
19
20
21 class DcmSlice {
22 protected:
23     std::vector< std::vector<short int> > pixels;
24 public:
25     const std::vector< short int >& operator[] (int i) const { return pixels[i]; }
26     std::vector< std::vector< short int > >& getPixels(void) { return pixels; }
27     const std::vector< std::vector< short int > >& getPixelsConst(void)
28         const { return pixels; }
29     int size(void) { return pixels.size(); }
30     friend ostream& operator <<(ostream &o, const DcmSlice &s);
31     friend istream& operator >>(istream &i, DcmSlice &s);
32     bool operator==(const DcmSlice& x) {
33         return this->zpos==x.zpos;
34     }
```

```

35     bool operator<(const DcmSlice& x) {
36         return this->zpos > x.zpos;
37     }
38     double xpos;
39     double ypos;
40     double zpos;
41     double xspacing;
42     double yspacing;
43     double RescaleIntercept;
44     double RescaleSlope;
45     double WindowCenter;
46     double WindowWidth;
47     int rows;
48     int cols;
49 };
50
51
52 class DcmVolume {
53 public:
54     DcmVolume(const SeriesInf& ser, int loadall=1);
55
56     void branding(LabelImg &label);
57     int blend(const DcmVolume& v2, double blendval=0.5);
58     void projectVAR(DcmVolume& dest, double tn, double ol, double mint, double maxt,
59         const std::vector< double > weights,
60         int renderPlane=RENDER_XY, int adjustHU=1) const;
61     void projectMIP2AVG(DcmVolume& dest, double slstart, double slend, int numslices,
62         int renderPlane=RENDER_XY,
63         LabelImg &label = LabelImg(NULL,0,0)) const;
64     void projectMIP2AVGmix(DcmVolume& dest, double slstart, double slend, int numslices,
65         int renderPlane=RENDER_XY,
66         LabelImg &label = LabelImg(NULL,0,0)) const;
67
68
69     DcmVolume(const DcmVolume& source, int xsize, int ysize, int zsize);
70     void load(string &fname);
71     DcmVolume() {}
72     const DcmSlice& operator[] (int i) { return volume[i]; }
73     int getNextSlice(void);
74     void save(const string &fname) const;
75     void render(int xsz, int ysz, double xoffset, double yoffset, double zoom,
76         int rendermode, int filter, std::vector<unsigned char> &data) const;
77     short int getVoxel(double x, double y, double z, int filter) const;
78     short int getVoxel(double x, double y, int z, int rendermode, int filter) const;
79     void getVoxelSlice(vector<short int>& v, double x, double y, double z,
80         double gagestep, int steps, int rendermode, int filter) const;
81     int setWindow(int ws, int wc);
82     inline int setPos(int i, double p) { if (pos[i]==p) return 0; pos[i]=p; return 1; }
83     inline int setGage(double g) { if (gage==g) return 0; gage=g; return 1; }
84     inline short int getIVoxel(int x, int y, int z) const
85         { if ((x>=0)&&(x<width[0])&&(y>=0)&&(y<width[1])&&(z>=0)&&(z<width[2]))
86             return volume[z][y][x]; else return outside_value; }
87     inline void getWindowingParams(int &wf, int &ws, int &wu, int &wl,
88         int pwsiz=0xFFFFFFFF, int pwcenter=0xFFFFFFFF) const {
89         if (pwsiz == 0xFFFFFFFF && pwcenter == 0xFFFFFFFF) {
90             pwsiz = wsize; pwcenter = wcenter;
91         }
92         wf = int(65536.0*rescaleSlope/pwsiz);
93         ws = int((rescaleIntercept+(pwsiz>>1)-pwcenter)*65536/pwsiz);
94         wu = (255*256 - ws)/wf;
95         wl = -(ws-256)/wf;
96     }
97     stringMap& getDicomData(void) {return dicomData;}
98     const stringMap& getDicomDataConst(void) const {return dicomData;}
99
100
101

```

```

102 inline short int getIVoxel(double px, double py, int pz, int rendermode) const {
103     int x; int y; int z;
104     if (rendermode == RENDER_XY) {
105         x=int(px/spacing[0]);y=int(py/spacing[1]);z=pz;}
106     else { if (rendermode == RENDER_XZ) {
107         x=int(px/spacing[0]);y=pz;z=int(py/spacing[2]);}
108         else { if (rendermode == RENDER_YZ) {
109             x=pz;y=int(px/spacing[1]);z=int(py/spacing[2]);}
110             else return outside_value;
111         }
112     }
113     if ((x>=0)&&(x<width[0])&&(y>=0)&&(y<width[1])&&(z>=0)&&(z<width[2]))
114         return volume[z][y][x];
115     else return outside_value;
116 }
117 inline short int getIVoxel(int px, int py, int pz, int rendermode) const {
118     int x; int y; int z;
119     if (rendermode == RENDER_XY) {x=px;y=py;z=pz;}
120     else { if (rendermode == RENDER_XZ) {x=px;y=pz;z=py;}
121         else { if (rendermode == RENDER_YZ) {x=pz;y=px;z=py;}
122             else return outside_value;
123         }
124     }
125     if ((x>=0)&&(x<width[0])&&(y>=0)&&(y<width[1])&&(z>=0)&&(z<width[2]))
126         return volume[z][y][x]; else return outside_value;
127 }
128
129 inline double getSpacing(int i) const {return spacing[i];}
130 inline double getRealWidth(int i) const {return width[i]*spacing[i];}
131 inline double getPos(int i) const {return pos[i];}
132 inline double getGage(void) const {return gage;}
133 inline void getWindow(int &ws, int &wc) const {ws=wsize;wc=wcenter;}
134 inline int getWindowSize(void) const {return wsize;}
135 inline int getWindowCenter(void) const {return wcenter;}
136 inline int getRows(void) const {return width[0];}
137 inline int getCols(void) const {return width[1];}
138 inline int getNumSlices(void) const {return width[2];}
139 inline int getWidth(int i) const {return width[i];}
140 void analyseHisto(int &offset, int &swidth,double hwidth,
141     int rendermode=RENDER_XY) const;
142 void getHisto(std::vector<unsigned int> &histo, int rendermode=RENDER_XY) const;
143 void adjustHisto(int soffset, int sswidth, int doffset, int dswidth);
144
145 protected:
146     std::vector< DcmSlice > volume;
147     std::vector<string>::const_iterator iflistpos;
148     std::vector<string>::const_iterator iflistend;
149     int width[3];
150     double spacing[3];
151     double pos[3];
152     double rescaleIntercept;
153     double rescaleSlope;
154     double gage;
155     int wsize;
156     int wcenter;
157     short int outside_value;
158     stringMap dicomData;
159
160 void DcmVolume::project(double zstart,double zend,double mint,
161     double maxt,std::vector< std::vector< short int > >& data,
162     int renderX=DIMENSION_X, int renderY=DIMENSION_Y,
163     int renderPlane = RENDER_XY) const;
164 void DcmVolume::project(double zstart,double zend,const std::vector< double > weights,
165     std::vector< std::vector< short int > >& data,
166     int renderX, int renderY, int renderPlane) const;
167 void DcmVolume::projectMIP(double zstart,double zend,
168     std::vector< std::vector< short int > >& data,

```

```

169             int renderX=DIMENSION_X, int renderY=DIMENSION_Y,
170             int renderPlane = RENDER_XY) const;
171     void DcmVolume::projectAVG(double zstart,double zend,
172                               std::vector< std::vector< short int > >& data,
173                               int renderX=DIMENSION_X, int renderY=DIMENSION_Y,
174                               int renderPlane = RENDER_XY) const;
175     void DcmVolume::getValues(DcmSlice& sl, const stringMap& m);
176     void dofinalstuff(void);
177 };
178
179
180
181
182 #endif

```

A.2 C++ - Body

Hier folgt der Quelltext der Programmdatei `dcmvolume.cxx`:

```

1  #include "dcmvolume.h"
2  #include <stdexcept>
3  #include <iostream>
4  #include <sstream>
5  #include <algorithm>
6  #include "tostring.h"
7
8  #define histo_maxsize 65536
9  #define histo_shift 32768
10
11
12 DcmVolume::DcmVolume(const SeriesInf& ser, int loadall): wsize(350), wcenter(50), gage(0.0) {
13     width[0]=0; width[1]=0; width[2]=0;
14     volume.resize(ser.getfilelist().size());
15     iflistpos = ser.getfilelist().begin();
16     iflistend = ser.getfilelist().end();
17     if (loadall)
18         while(getNextSlice()) {};
19 }
20
21 void DcmVolume::projectMIP2AVG(DcmVolume& dest, double slstart, double slend,
22                                int numslices, int renderPlane, LabelImg &label) const {
23     dest.dicomData = dicomData;
24
25     dest.rescaleIntercept =rescaleIntercept;
26     dest.rescaleSlope =rescaleSlope;
27     dest.gage =gage;
28     dest.wsize =wsize;
29     dest.wcenter =wcenter;
30     dest.outside_value =outside_value;
31
32
33     int renderX;
34     int renderY;
35     if (renderPlane == RENDER_XY) {
36         renderX = DIMENSION_X; renderY = DIMENSION_Y;
37     } else if (renderPlane == RENDER_XZ) {
38         renderX = DIMENSION_X; renderY = DIMENSION_Z;
39     } else if (renderPlane == RENDER_YZ) {
40         renderX = DIMENSION_Y; renderY = DIMENSION_Z;
41     }
42     dest.width[0]=width[renderX]; dest.width[1]=width[renderY]; dest.width[2]=numslices;
43     dest.spacing[0]=spacing[renderX]; dest.spacing[1]=spacing[renderY];
44     dest.spacing[2]=slend - slstart;

```

```

45     dest.pos[0]=pos[renderX]; dest.pos[1]=pos[renderY]; dest.pos[2]=pos[renderPlane];
46
47
48
49     dest.volume.resize(numslices);
50     cerr << "rendering " << numslices << " slices ";
51     double mint = 0.00000001;
52     double maxt = 0.99999999;
53     double adder = (maxt - mint) / (numslices - 1);
54     for(int slice=0; slice<numslices; ++slice) {
55         dest.volume[slice].xpos = 0;
56         dest.volume[slice].ypos = 0;
57         dest.volume[slice].zpos = dest.pos[2] + dest.spacing[2]*slice;
58         dest.volume[slice].xspacing = dest.spacing[0];
59         dest.volume[slice].yspacing = dest.spacing[1];
60         dest.volume[slice].RescaleIntercept = dest.rescaleIntercept;
61         dest.volume[slice].RescaleSlope = dest.rescaleSlope;
62         dest.volume[slice].WindowCenter = dest.wcenter;
63         dest.volume[slice].WindowWidth = dest.wsize;
64         dest.volume[slice].cols = dest.width[0];
65         dest.volume[slice].rows = dest.width[1];
66         project(slistart, slend, mint, maxt, dest.volume[slice].getPixels(), renderX, renderY, renderPlane);
67         mint += adder;
68     }
69     cerr << ".";
70     cerr << "finished" << endl;
71 }
72
73 void DcmVolume::projectMIP2AVGmix(DcmVolume& dest, double slistart, double slend,
74     int numslices, int renderPlane, LabelImg &label) const {
75     dest.dicomData = dicomData;
76
77     dest.rescaleIntercept = rescaleIntercept;
78     dest.rescaleSlope = rescaleSlope;
79     dest.gage = gage;
80     dest.wsize = wsize;
81     dest.wcenter = wcenter;
82     dest.outside_value = outside_value;
83
84
85     int renderX;
86     int renderY;
87     if (renderPlane == RENDER_XY) {
88         renderX = DIMENSION_X; renderY = DIMENSION_Y;
89     } else if (renderPlane == RENDER_XZ) {
90         renderX = DIMENSION_X; renderY = DIMENSION_Z;
91     } else if (renderPlane == RENDER_YZ) {
92         renderX = DIMENSION_Y; renderY = DIMENSION_Z;
93     }
94     dest.width[0]=width[renderX]; dest.width[1]=width[renderY]; dest.width[2]=numslices;
95     dest.spacing[0]=spacing[renderX]; dest.spacing[1]=spacing[renderY];
96     dest.spacing[2]=slend - slistart;
97     dest.pos[0]=pos[renderX]; dest.pos[1]=pos[renderY]; dest.pos[2]=pos[renderPlane];
98
99
100
101     dest.volume.resize(numslices);
102     cerr << "rendering " << numslices << " slices ";
103     double mint = 0.00000001;
104     double maxt = 0.99999999;
105     double adder = (maxt - mint) / (numslices - 1);
106
107     std::vector< std::vector<short int> > mip;
108     std::vector< std::vector<short int> > avg;
109     projectMIP(slistart, slend, mip, renderX, renderY, renderPlane);
110     projectAVG(slistart, slend, avg, renderX, renderY, renderPlane);
111

```

```

112     for(int slice=0;slice<numslices;++slice) {
113         dest.volume[slice].xpos = 0;
114         dest.volume[slice].ypos = 0;
115         dest.volume[slice].zpos = dest.pos[2] + dest.spacing[2]*slice;
116         dest.volume[slice].xspacing = dest.spacing[0];
117         dest.volume[slice].yspacing = dest.spacing[1];
118         dest.volume[slice].RescaleIntercept = dest.rescaleIntercept;
119         dest.volume[slice].RescaleSlope = dest.rescaleSlope;
120         dest.volume[slice].WindowCenter = dest.wcenter;
121         dest.volume[slice].WindowWidth = dest.wsize;
122         dest.volume[slice].cols = dest.width[0];
123         dest.volume[slice].rows = dest.width[1];
124
125         dest.volume[slice].getPixels().resize(dest.width[1]);
126         for(int y=0;y<dest.width[1];y++) {
127             dest.volume[slice].getPixels()[y].resize(dest.width[0]);
128             for(int x=0;x<dest.width[0];x++)
129                 dest.volume[slice].getPixels()[y][x] =
130                     short int(mint * mip[y][x] + (1.0-mint) * avg[y][x]);
131         }
132         mint += adder;
133     cerr << ".";
134     }
135     cerr << "finished" << endl;
136 }
137
138 void DcmVolume::analyseHisto(int &offset, int &swidth, double hwidth,
139                             int rendermode) const {
140     vector<unsigned int> histo;
141     getHisto(histo, rendermode);
142     int sum=0;
143     for(unsigned int i=0;i<histo.size();i++) {
144         sum+=histo[i];
145     }
146     unsigned int tsum=0;
147     unsigned int start= int( sum * (1.0-hwidth)/2.0);
148     unsigned int end=sum-start;
149     int vstart, vend;
150     for(unsigned int i=0;i<histo.size();i++) {
151         if ((tsum < start) && ((tsum+histo[i]) >= start)) vstart=i;
152         if ((tsum < end) && ((tsum+histo[i]) >= end)) vend=i;
153         tsum+=histo[i];
154     }
155     offset=vstart - histo_shift;
156     swidth=vend-vstart;
157 }
158
159 void DcmVolume::branding(LabelImg &label) {
160     int xd = width[0];
161     int yd = width[0];
162     if (label.getWidth() < xd) xd = label.getWidth();
163     if (label.getHeight() < yd) yd = label.getHeight();
164
165     for(int x=0;x<xd;x++)
166     for(int y=0;y<yd;y++)
167         for(int z=0;z<width[2];z++) {
168             int v = volume[z].getPixels()[y][x];
169             v += label.getpix(x,y)*16;
170             if (v>32767) v = 32767;
171             volume[z].getPixels()[y][x] = v;
172         }
173 }
174
175
176 void DcmVolume::projectVAR(DcmVolume& dest, double tn, double ol, double mint,
177                             double maxt, const std::vector<double> weights, int renderPlane,
178                             int adjustHU) const {

```



```

179     dest.dicomData = dicomData;
180     dest.rescaleIntercept = rescaleIntercept;
181     dest.rescaleSlope = rescaleSlope;
182     dest.gage = gage;
183     dest.wsize = wsize;
184     dest.wcenter = wcenter;
185     dest.outside_value = outside_value;
186
187     dest.getDicomData().insert(map<string, string>::value_type("ProjectedSliceThickness",
188         toString(tn)));
189     string proj = "unknown";
190     if ((mint == 1.0)&&(maxt == 1.0))
191         proj = "MIP";
192     else if ((mint == 0.0)&&(maxt == 1.0))
193         proj = "AVG";
194     else {
195         char p[100];
196         if (weights.size() > 0) {
197             proj = "SoftMip:[";
198             for(unsigned int i=0; i<weights.size(); i+=2) {
199                 if (i) proj += ", ";
200                 sprintf(p, "(%0.2f,%0.2f)", weights[i], weights[i+1]);
201                 proj += p;
202             }
203             proj += "]";
204         } else {
205             sprintf(p, "SoftMip:((0.00,0.00),(%0.2f,0.00), "
206                 "(%0.2f,1.00),(%0.2f,1.00), "
207                 "(%0.2f,0.00),(1.00,0.00)",
208                 mint, mint, maxt, maxt);
209             proj = toString(p);
210         }
211     }
212     dest.getDicomData().insert(map<string, string>::value_type("Projection", proj));
213
214
215     int numslices = int((getRealWidth(renderPlane)-ol)/(tn-ol));
216     double scrap = getRealWidth(renderPlane) - ((tn-ol)*numslices + ol);
217     double zpos = scrap/2.0;
218
219     int renderX;
220     int renderY;
221     if (renderPlane == RENDER_XY) {
222         renderX = DIMENSION_X; renderY = DIMENSION_Y;
223     } else if (renderPlane == RENDER_XZ) {
224         renderX = DIMENSION_X; renderY = DIMENSION_Z;
225     } else if (renderPlane == RENDER_YZ) {
226         renderX = DIMENSION_Y; renderY = DIMENSION_Z;
227     }
228     dest.width[0]=width[renderX]; dest.width[1]=width[renderY]; dest.width[2]=numslices;
229     dest.spacing[0]=spacing[renderX]; dest.spacing[1]=spacing[renderY]; dest.spacing[2]=tn - ol;
230     dest.pos[0]=pos[renderX]; dest.pos[1]=pos[renderY]; dest.pos[2]=pos[renderPlane];
231
232
233
234     dest.volume.resize(numslices);
235     cerr << "rendering " << numslices << " slices ";
236     for(int slice=0; slice<numslices; ++slice) {
237         dest.volume[slice].xpos = 0;
238         dest.volume[slice].ypos = 0;
239         dest.volume[slice].zpos = zpos + tn/2.0;
240         dest.volume[slice].xspacing = dest.spacing[0];
241         dest.volume[slice].yspacing = dest.spacing[1];
242         dest.volume[slice].RescaleIntercept = dest.rescaleIntercept;
243         dest.volume[slice].RescaleSlope = dest.rescaleSlope;
244         dest.volume[slice].WindowCenter = dest.wcenter;
245         dest.volume[slice].WindowWidth = dest.wsize;

```

```

246     dest.volume[slice].cols = dest.width[0];
247     dest.volume[slice].rows = dest.width[1];
248     if ((mint == 1.0)&&(maxt == 1.0))
249         projectMIP(zpos, zpos+tn, dest.volume[slice].getPixels(), renderX, renderY, renderPlane);
250     else if ((mint == 0.0)&&(maxt == 1.0))
251         projectAVG(zpos, zpos+tn, dest.volume[slice].getPixels(), renderX, renderY, renderPlane);
252     else {
253         if (weights.size() > 0)
254             project(zpos, zpos+tn, weights, dest.volume[slice].getPixels(),
255                     renderX, renderY, renderPlane);
256         else
257             project(zpos, zpos+tn, mint, maxt, dest.volume[slice].getPixels(),
258                     renderX, renderY, renderPlane);
259     }
260 }
261
262 cerr << ".";
263 zpos+=tn-ol;
264 }
265 cerr << "finished" << endl;
266 if (adjustHU) {
267     cerr << "adjusting Histogram" << endl;
268     int soffset, sswidth;
269     analyseHisto(soffset, sswidth, 0.50, renderPlane);
270     cerr << "source: offset=" << soffset << " swidth=" << sswidth << endl;
271     int doffset, dswidth;
272     dest.analyseHisto(doffset, dswidth, 0.50, renderPlane);
273     dest.adjustHisto(soffset, sswidth, doffset, dswidth);
274 }
275 }
276
277 void DcmVolume::adjustHisto(int soffset, int sswidth, int doffset, int dswidth) {
278     double multi = 1.0*sswidth/dswidth;
279     cerr << "adjusting Histogram" << endl;
280     cerr << "multi=" << multi << endl;
281     for(int x=0; x<width[0]; x++)
282         for(int y=0; y<width[1]; y++)
283             for(int z=0; z<width[2]; z++) {
284                 int v = volume[z].getPixels()[y][x];
285                 volume[z].getPixels()[y][x] = int((v-doffset)*multi+soffset);
286             }
287 }
288
289
290 #define lower_int(x) ((int(x)<x)?int(x):(int(x)-1))
291
292 double zPixelAVG(const vector<DcmSlice> &volume, int x, int y, double z1, double z2) {
293     double value = 0.0;
294     if (int(z1) == lower_int(z2)) {
295         value = volume[int(z1)][y][x] * (z2 - z1);
296     } else {
297         for(int z = int(z1)+1; z < lower_int(z2); z++) value += volume[z][y][x];
298         value += volume[int(z1)][y][x] * (int(z1)+1-z1);
299         value += volume[lower_int(z2)][y][x] * (z2 - lower_int(z2));
300     }
301     return(value);
302 }
303
304 double yzPixelAVG(const vector<DcmSlice> &volume, int x,
305                  double y1, double y2, double z1, double z2) {
306     double value = 0.0;
307     if (int(y1) == lower_int(y2)) {
308         value = zPixelAVG(volume, x, int(y1), z1, z2) * (y2 - y1);
309     } else {
310         for(int y = int(y1)+1; y < lower_int(y2); y++) value += zPixelAVG(volume, x, y, z1, z2);
311         value += zPixelAVG(volume, x, int(y1), z1, z2) * (int(y1)+1-y1);
312         value += zPixelAVG(volume, x, lower_int(y2), z1, z2) * (y2 - lower_int(y2));

```

```

313     }
314     return(value);
315 }
316
317 double xyzPixelAVG(const vector<DcmSlice> &volume, double x1, double x2,
318                  double y1, double y2, double z1, double z2) {
319     double value = 0.0;
320     if (int(x1) == lower_int(x2)) {
321         value = yzPixelAVG(volume, int(x1), y1, y2, z1, z2) * (x2 - x1);
322     } else {
323         for(int x = int(x1)+1; x < lower_int(x2); x++)
324             value += yzPixelAVG(volume, x, y1, y2, z1, z2);
325         value += yzPixelAVG(volume, int(x1), y1, y2, z1, z2) * (int(x1)+1-x1);
326         value += yzPixelAVG(volume, lower_int(x2), y1, y2, z1, z2) * (x2 - lower_int(x2));
327     }
328     return(value);
329 }
330
331
332
333 DcmVolume::DcmVolume(const DcmVolume& source, int xsize, int ysize, int zsize)
334 : wsize(source.wsize), wcenter(source.wcenter), gage(source.gage)
335 , rescaleIntercept(source.rescaleIntercept), rescaleSlope(source.rescaleSlope)
336 , outside.value(source.outside.value), dicomData(source.dicomData) {
337
338     width[0]=xsize;
339     width[1]=ysize;
340     width[2]=zsize;
341
342     double pstep[3];
343     double ppos[3];
344     for(int i=0;i<3;i++) {
345         spacing[i] = source.spacing[i] * source.width[i] / width[i];
346         pos[i] = source.pos[i];
347         ppos[i] = 0.0;
348         pstep[i] = source.width[i] * 1.0 / width[i];
349     }
350
351     double normalizer = 1.0 / (pstep[0]*pstep[1]*pstep[2]);
352
353     volume.resize(width[2]);
354     for(int z=0;z<width[2];++z) {
355         volume[z].xpos = 0;
356         volume[z].ypos = 0;
357         volume[z].zpos = spacing[2]*z;
358         volume[z].xspacing = spacing[0];
359         volume[z].yspacing = spacing[1];
360         volume[z].RescaleIntercept = rescaleIntercept;
361         volume[z].RescaleSlope = rescaleSlope;
362         volume[z].WindowCenter = wcenter;
363         volume[z].WindowWidth = wsize;
364         volume[z].cols = width[0];
365         volume[z].rows = width[1];
366
367         ppos[1] = 0.0;
368         volume[z].getPixels().resize(width[1]);
369         for(int y=0;y<width[1];++y) {
370             ppos[0] = 0.0;
371             volume[z].getPixels()[y].resize(width[0]);
372             for(int x=0;x<width[0];++x) {
373                 volume[z].getPixels()[y][x] = short int(xyzPixelAVG(source.volume,
374                 ppos[0], ppos[0]+pstep[0],
375                 ppos[1], ppos[1]+pstep[1],
376                 ppos[2], ppos[2]+pstep[2]) * normalizer);
377                 ppos[0] += pstep[0];
378             }
379             ppos[1] += pstep[1];

```

```

380     }
381     ppos[2] += pstep[2];
382 }
383 }
384
385 int DcmVolume::blend(const DcmVolume& v2, double blendval) {
386     if (width[0]!=v2.width[0]
387         || width[1]!=v2.width[1]
388         || width[2]!=v2.width[2]) return -1;
389     string p1 = getDicomData().find("Projection")->first;
390     string p2 = v2.getDicomDataConst().find("Projection")->first;
391     char t[100];
392     sprintf(t,"%0.2f",blendval);
393     getDicomData().find("Projection")->second =
394         string("Blend")+p1+string(",")+p2+string(t);
395
396     double b2 = 1.0-blendval;
397     for(int z=0;z<width[2];++z) {
398         for(int y=0;y<width[1];++y) {
399             for(int x=0;x<width[0];++x) {
400                 volume[z].getPixels()[y][x] =
401                     short int(volume[z].getPixels()[y][x]* b2
402                         + v2.volume[z].getPixelsConst()[y][x]
403                         * blendval);
404             }
405         }
406     }
407
408 }
409
410
411
412 class c_pixelstack {
413 public:
414     c_pixelstack(int v, double l):val(v),length(l) {}
415     int val;
416     double length;
417     bool operator==(const c_pixelstack& x) {
418         return this->val==x.val;
419     }
420     bool operator<(const c_pixelstack& x) {
421         return this->val < x.val;
422     }
423 };
424
425 void DcmVolume::project(double zstart,double zend,double mint,double maxt,
426     std::vector< std::vector< short int >>& data,
427     int renderX, int renderY, int renderPlane) const {
428     zstart /= spacing[renderPlane]; // umrechnen in real-Pixelkoordinaten
429     zend /= spacing[renderPlane];
430     mint*=(zend-zstart); // adaptiere Thresholds an die Laenge des Pixelstacks
431     maxt*=(zend-zstart);
432     vector< c_pixelstack > pixelorder; // haelt die Indizes der Slices (mit Dicke)
433     // Anfang ist vielleicht ein Teilslice
434     pixelorder.push_back( c_pixelstack(int(zstart),int(zstart+1)-zstart));
435     // die ganzen Slices in der Mitte
436     for(int i=int(zstart+1);i<int(zend);++i) {
437         pixelorder.push_back( c_pixelstack(i,1.0) );
438     }
439     // Ende ist vielleicht ein Teilslice
440     pixelorder.push_back( c_pixelstack(int(zend),zend-int(zend)));
441
442     // der wirkliche Pixelstack
443     vector< c_pixelstack > pstack;
444     pstack.reserve(pixelorder.size());
445     // fuer jeden Bildpunkt des Slices
446     data.resize(width[renderY]);

```

```

447 for(int y=0;y<width[renderY];y++) {
448     data[y].resize(width[renderX]);
449     for(int x=0;x<width[renderX];x++) {
450         pstack.clear();
451         // Pixelstack fuellen
452         if (renderPlane == RENDER_XY)
453             for(vector< c_pixelstack >::iterator i=pixelorder.begin();i!=pixelorder.end();++i)
454                 pstack.push_back( c_pixelstack(volume[i->val][y][x],i->length) );
455         else if (renderPlane == RENDER_XZ)
456             for(vector< c_pixelstack >::iterator i=pixelorder.begin();i!=pixelorder.end();++i)
457                 pstack.push_back( c_pixelstack(volume[y][i->val][x],i->length) );
458         else if (renderPlane == RENDER_YZ)
459             for(vector< c_pixelstack >::iterator i=pixelorder.begin();i!=pixelorder.end();++i)
460                 pstack.push_back( c_pixelstack(volume[y][x][i->val],i->length) );
461
462         // Pixelstack sortieren
463         std::sort(pstack.begin(), pstack.end());
464
465         vector< c_pixelstack >::iterator pstack_it = pstack.begin();
466         double stackpos = 0.0; // aktuelle Position im Stack
467         double value = 0.0; // Summierte Farbwerte
468         // Anfang suchen
469         while( (stackpos + pstack_it->length) <= mint) {
470             stackpos += pstack_it->length;
471             pstack_it++;
472         }
473         // ersten relevanten Pixel im Stack entsprechend zurechtschneiden
474         pstack_it->length -= mint - stackpos;
475         stackpos = mint;
476         // durch den Stack laufen und aufsummieren
477         while( (stackpos + pstack_it->length) < maxt) {
478             stackpos += pstack_it->length;
479             value += pstack_it->length * pstack_it->val;
480             pstack_it++;
481         }
482         // letzten, zurechtgeschnittenen Pixel dazu
483         value += (maxt - stackpos) * pstack_it->val;
484         // normalisieren und abspeichern
485         data[y][x] = short int (value / (maxt - mint));
486     }
487 }
488 }
489
490
491
492
493
494 double getSegment(const std::vector< double > weights, double start,
495                  double maxend, double &value) {
496     double startx;
497     double starty;
498     double endx;
499     double endy;
500
501     int numpoints = weights.size()>>1;
502     int i = 0;
503     while((weights[i*2]<=start) && (i<(numpoints-1))) {
504         startx = weights[i*2];
505         starty = weights[i*2+1];
506         i++;
507     }
508     endx = weights[i*2];
509     endy = weights[i*2+1];
510
511     if (endx>maxend) {
512         endy = starty + (endy-starty) * (maxend-startx)/(endx-startx);
513         endx = maxend;

```

```

514     }
515     if (startx<start) {
516         starty = starty + (endy-starty) * (start-startx)/(endx-startx);
517     }
518
519     value = (double)((starty + endy)/2.0);
520     return(endx);
521 }
522
523 void generateOpacFunc(const std::vector< double > weights, int numPlanes,
524                     std::vector< int > &opacFunc) {
525     double plstart;
526     double newstart;
527     double plend;
528
529     double tval;
530     double val;
531     double sum;
532
533     sum=0;
534     vector<double> fOpacFunc;
535     for(int i=0;i<numPlanes;i++) {
536         plstart = i*1.0/numPlanes;
537         plend = (i+1.0)/numPlanes;
538         val = 0.0;
539         while(plstart<plend) {
540             newstart = getSegment(weights,plstart,plend,tval);
541             val += tval * (newstart-plstart);
542             plstart = newstart;
543         }
544         fOpacFunc.push_back( val );
545         sum += fOpacFunc[i];
546     }
547     for(i=0;i<numPlanes;i++) {
548         double v = 1024.0/sum * fOpacFunc[i];
549         double iv = (int) v;
550         opacFunc.push_back( ((iv-v)<0.5)?((int)iv):((int)(iv)+1) );
551     }
552 }
553
554 int compare_short( const void *arg1, const void *arg2 )
555 {
556     return (*((short int *)arg1) - *((short int*)arg2 ));
557 }
558
559
560 void DcmVolume::project(double zstart,double zend,const std::vector< double > weights,
561                        std::vector< std::vector< short int > >& data,
562                        int renderX, int renderY, int renderPlane) const {
563     zstart /= spacing[renderPlane]; // umrechnen in real-Pixelkoordinaten
564     zend /= spacing[renderPlane];
565
566     int izstart = (int)zstart;
567     int izend = (int)zend;
568     if (izend < zend) izend++;
569     int numPlanes = izend-izstart;
570     std::vector< int > iweights;
571     generateOpacFunc(weights, numPlanes, iweights);
572
573     std::vector<short int> sorted_data;
574     sorted_data.resize(width[renderX]*width[renderY]*numPlanes);
575     int index = 0;
576     for(int y=0;y<width[renderY];y++) {
577         for(int x=0;x<width[renderX];x++) {
578             for(int i=izstart; i < izend; i++)
579                 sorted_data[index++] = getIVoxel(x,y,i, renderPlane);
580         }

```

```

581     }
582     std::vector<short int>::iterator si_start = sorted_data.begin();
583     std::vector<short int>::iterator si_end = sorted_data.begin();
584     si_end += numPlanes;
585     for(int y=0;y<width[renderY];y++) {
586         for(int x=0;x<width[renderX];x++) {
587             std::sort(si_start, si_end);
588             si_start += numPlanes;
589             si_end += numPlanes;
590         }
591     }
592
593     data.resize(width[renderY]);
594     index = 0;
595     for(int y=0;y<width[renderY];y++) {
596         data[y].resize(width[renderX]);
597         for(int x=0;x<width[renderX];x++) {
598             int sum = 0;
599             for(int i=0;i<numPlanes;i++)
600                 sum += sorted_data[index++] * iweights[i];
601             data[y][x] = short int (sum / 1024);
602         }
603     }
604 }
605
606
607
608
609 void DcmVolume::projectMIP(double zstart, double zend,
610                          std::vector< std::vector< short int > > & data,
611                          int renderX, int renderY, int renderPlane) const {
612     zstart /= spacing[renderPlane]; // umrechnen in real-Pixelkoordinaten
613     zend /= spacing[renderPlane];
614     int izstart = int(zstart);
615     int izend = lower_int(zend) + 1;
616
617     data.resize(width[renderY]);
618     for(int y=0;y<width[renderY];y++) {
619         data[y].resize(width[renderX]);
620         for(int x=0;x<width[renderX];x++) {
621             short int val = -32768;
622             for(int i=izstart; i < izend; ++i) {
623                 val = max(val, getIVoxel(x,y,i, renderPlane));
624             }
625             data[y][x] = val;
626         }
627     }
628 }
629
630 void DcmVolume::projectAVG(double zstart, double zend,
631                          std::vector< std::vector< short int > > & data,
632                          int renderX, int renderY, int renderPlane) const {
633     zstart /= spacing[renderPlane]; // umrechnen in real-Pixelkoordinaten
634     zend /= spacing[renderPlane];
635     int izstart = int(zstart)+1;
636     int izend = int(zend);
637
638     data.resize(width[renderY]);
639     for(int y=0;y<width[renderY];y++) {
640         data[y].resize(width[renderX]);
641         for(int x=0;x<width[renderX];x++) {
642             if (int(zstart) != int(zend)) {
643                 double val = 0;
644                 for(int i=izstart; i < izend; ++i)
645                     val += getIVoxel(x,y,i, renderPlane);
646
647                 if (zstart < izstart) val += getIVoxel(x,y,izstart - 1, renderPlane)

```

```

648         * (izstart - zstart);
649         if (zend > izend) val += getIVoxel(x,y,izend, renderPlane) * (zend - izend);
650         data[y][x] = short int(val / (zend - zstart));
651     }
652     } else data[y][x] = getIVoxel(x,y,int(zstart), renderPlane);
653 }
654 }
655 }
656
657
658 template <class T>
659 bool binary_write(std::streambuf* sb, T const* t, std::size_t n=1)
660 {
661     return sb->sputn(
662         reinterpret_cast<char const*>(t),
663         n * sizeof *t
664     ) == n * sizeof *t;
665 }
666
667 template <class T>
668 bool binary_read(std::streambuf* sb, T *t, std::size_t n=1)
669 {
670     return sb->sgetn(
671         reinterpret_cast<char *>(t),
672         n * sizeof *t
673     ) == n * sizeof *t;
674 }
675
676 ostream& operator <<(ostream &o, const DcmSlice &s) {
677     std::streambuf* sb = o.rdbuf();
678     assert(sb);
679     for(int y=0;y<s.rows;++y)
680         binary_write(sb, &s.pixels[y][0], s.cols);
681     return o;
682 }
683
684 istream& operator >>(istream &i, DcmSlice &s) {
685     std::streambuf* sb = i.rdbuf();
686     assert(sb);
687     s.pixels.clear();
688     s.pixels.resize(s.rows);
689     for(int y=0;y<s.rows;++y) {
690         s.pixels[y].clear();
691         s.pixels[y].resize(s.cols);
692         binary_read(sb, &s.pixels[y][0], s.cols);
693     }
694     return i;
695 }
696
697
698 ostream& operator <<(ostream &o, const stringMap &map) {
699     std::streambuf* sb = o.rdbuf();
700     int msize = map.size();
701     binary_write(sb, &msize);
702     for(stringMap::const_iterator i = map.begin(); i != map.end(); ++i) {
703         string s = i->first;
704         if (s.length() > 255) s.erase(256);
705         unsigned char len = s.length();
706         binary_write(sb, &len);
707         o << s;
708         s = i->second;
709         if (s.length() > 255) s.erase(256);
710         len = s.length();
711         binary_write(sb, &len);
712         o << s;
713     }
714     return o;

```



```

715 }
716
717 istream& operator >>(istream &i, stringMap &map) {
718     std::streambuf* sb = i.rdbuf();
719     int num;
720     binary_read(sb,&num);
721     char key[256];
722     char val[256];
723     unsigned char key1;
724     unsigned char val1;
725     for(int c=0; c != num; ++c) {
726         binary_read(sb,&key1);
727         binary_read(sb,key,key1);
728         binary_read(sb,&val1);
729         binary_read(sb,val,val1);
730         key[key1]=0;
731         val[val1]=0;
732         map.insert(stringMap::value_type(key,val));
733     }
734     return i;
735 }
736
737
738 void DcmVolume::load(string &fname) {
739     std::ifstream infile(fname.c_str(), ios::in|ios::binary);
740     if (!infile.is_open())
741         throw(runtime_error("Error reading " + fname));
742     std::streambuf* sb = infile.rdbuf();
743     binary_read(sb, &width[0],3);
744     binary_read(sb, &spacing[0],3);
745     binary_read(sb, &pos[0],3);
746     binary_read(sb, &rescaleIntercept);
747     binary_read(sb, &rescaleSlope);
748     binary_read(sb, &wsize);
749     binary_read(sb, &wcenter);
750     binary_read(sb, &outside_value);
751     dicomData.clear();
752     infile >> dicomData;
753     cerr<<"reading "<<width[DIMENSION_Z]<<" frames ";
754     volume.clear();
755     volume.reserve(width[DIMENSION_Z]);
756     for(int i=0;i<width[DIMENSION_Z];++i) {
757         DcmSlice slice;
758         volume.push_back(slice);
759         volume[i].rows = width[1];
760         volume[i].cols = width[0];
761         infile >> volume[i];
762         cerr<<". ";
763     }
764     cerr<<" finished!"<<endl;
765 }
766
767
768
769
770
771
772 void DcmVolume::save(const string &fname) const {
773     std::ofstream savefile(fname.c_str(), ios::out|ios::binary);
774
775     {
776         if (!savefile.is_open())
777             throw(runtime_error("Error creating " + fname));
778         std::streambuf* sb = savefile.rdbuf();
779         binary_write(sb, &width[0],3);
780         binary_write(sb, &spacing[0],3);
781         binary_write(sb, &pos[0],3);

```

```

782     binary_write(sb, &rescaleIntercept);
783     binary_write(sb, &rescaleSlope);
784     binary_write(sb, &wsize);
785     binary_write(sb, &wcenter);
786     binary_write(sb, &outside_value);
787     savefile << dicomData;
788     cerr<<"Saving "<<width[DIMENSION.Z]<<" frames ";
789     for(int i=0;i<width[DIMENSION.Z];++i) {
790         savefile << volume[i];
791     }
792     cerr<<". ";
793 }
794 cerr<<" finished!"<<endl;
795 }
796
797 int DcmVolume::setWindow(int ws, int wc) {
798     if (ws<2) ws=2;
799     if (ws>4095) ws=4095;
800     if (wc<-2048) wc=-2048;
801     if (wc>2047) wc=2047;
802     if ((ws!=wsize)|| (wc!=wcenter)) {
803         wsize=ws;
804         wcenter=wc;
805         return(1);
806     }
807     return(0);
808 }
809
810 void DcmVolume::render(int xsz, int ysz, double xoffset, double yoffset,
811     double zoom, int rendermode, int filter,
812     std::vector<unsigned char> &data) const {
813     if (!xsz || !ysz || !width[0] || !width[1] || !width[2]) return;
814
815     int xind = 0; int yind = 1; int slind = 2;
816     int slpos = int(pos[2]/spacing[2]);
817     if (rendermode == RENDER_XZ) {
818         yind = 2; slind = 1; slpos = int(pos[1]/spacing[1]);
819     }
820     if (rendermode == RENDER_YZ) {
821         xind = 1; yind = 2; slind = 0; slpos = int(pos[0]/spacing[0]);
822     }
823
824     double xwidth = width[xind] * spacing[xind] * zoom;
825     double xstart = (xwidth - xsz)/2.0;
826     double xend = xwidth - xstart;
827     xstart /= zoom;
828     xend /= zoom;
829     xstart += xoffset;
830     xend += xoffset;
831     double xadd = (xend - xstart)/xsz;
832
833     double ywidth = width[yind] * spacing[yind] * zoom;
834     double ystart = (ywidth - ysz)/2.0;
835     double yend = ywidth - ystart;
836     ystart /= zoom;
837     yend /= zoom;
838     ystart += yoffset;
839     yend += yoffset;
840     double yadd = (yend - ystart)/ysz;
841
842     double mx = width[xind]*spacing[xind];
843     double my = width[yind]*spacing[yind];
844
845     int off=0;
846     double yp = ystart;
847
848     int windowfactor;
849     int windowshifter;
850     int wupper;

```

```

849     int wlower;
850     getWindowingParams(windowfactor, windowshifter, wupper, wlower);
851
852     int ot = outside_value;
853     if (ot < wlower) ot = wlower; if (ot > wupper) ot = wupper;
854     ot = (ot * windowfactor + windowshifter) >> 8;
855
856     for (int ay = 0; ay < ysz; ay++) {
857         double xp = xstart;
858         if ((yp >= 0.0) && (yp <= my)) {
859             for (int ax = 0; ax < xsz; ax++) {
860                 if ((xp >= 0.0) && (xp <= mx)) {
861                     int t = 0;
862                     t = getVoxel(xp, yp, slpos, rendermode, filter);
863                     if (t < wlower) t = wlower; if (t > wupper) t = wupper;
864                     t = (t * windowfactor + windowshifter) >> 8;
865                     data[off++] = t;
866                     data[off++] = t;
867                     data[off++] = t;
868                 } else {
869                     data[off++] = ot;
870                     data[off++] = ot;
871                     data[off++] = ot;
872                 }
873                 xp += xadd;
874             }
875             } else { memset(&data[off], ot, xsz * 3); off += xsz * 3; }
876             yp += yadd;
877         }
878     }
879
880     inline int interpolate(int v0, int v1, int v2, int v3, double x) {
881         return int(v1 * (1 - x) + v2 * x);
882     }
883
884     short int DcmVolume::getVoxel(double x, double y, int z, int rendermode,
885                                   int filter) const {
886         if (x < 0 || y < 0 || z < 0
887             || (rendermode == RENDER_XY && (x > width[0] * spacing[0]
888                 || y > width[1] * spacing[1] || z > width[2]))
889             || (rendermode == RENDER_XZ && (x > width[0] * spacing[0]
890                 || y > width[2] * spacing[2] || z > width[1]))
891             || (rendermode == RENDER_YZ && (x > width[1] * spacing[1]
892                 || y > width[2] * spacing[2] || z > width[0]))) {
893             return outside_value;
894         }
895         if (filter == FILTER_PREVIEW) return getIVoxel(x, y, z, rendermode);
896         else {
897             if (rendermode == RENDER_XY) { x = x / spacing[0]; y = y / spacing[1]; }
898             else { if (rendermode == RENDER_XZ) { x = x / spacing[0]; y = y / spacing[2]; }
899                     else { x = x / spacing[1]; y = y / spacing[2]; } }
900
901             int ix = int(x);
902             int iy = int(y);
903
904             int x0 = interpolate(0, getIVoxel(ix, iy, z), getIVoxel(ix, iy + 1, z), 0, y - iy);
905             int x1 = interpolate(0, getIVoxel(ix + 1, iy, z), getIVoxel(ix + 1, iy + 1, z), 0, y - iy);
906             return interpolate(0, x0, x1, 0, x - ix);
907         }
908     }
909
910
911
912     short int DcmVolume::getVoxel(double x, double y, double z, int filter) const {
913         if (x < 0.0 || x > (width[0] * spacing[0])
914             || y < 0.0 || y > (width[1] * spacing[1])
915             || z < 0.0 || z > (width[2] * spacing[2])) {

```

```

916         return outside_value;
917     }
918     x /= spacing[0];
919     y /= spacing[1];
920     z /= spacing[2];
921     if (filter == FILTER_PREVIEW) return getIVoxel(int(x) ,int(y) ,int(z));
922
923     int ix = int(x);
924     int iy = int(y);
925     int iz = int(z);
926     int y0x0 = interpolate(0,
927         getIVoxel(ix ,iy ,iz), getIVoxel(ix ,iy ,iz+1), 0, z-iz);
928     int y0x1 = interpolate(0,
929         getIVoxel(ix+1,iy ,iz), getIVoxel(ix+1,iy ,iz+1), 0, z-iz);
930     int y1x0 = interpolate(0,
931         getIVoxel(ix ,iy+1,iz), getIVoxel(ix ,iy+1,iz+1), 0, z-iz);
932     int y1x1 = interpolate(0,
933         getIVoxel(ix+1,iy+1,iz), getIVoxel(ix+1,iy+1,iz+1), 0, z-iz);
934
935     int x0 = interpolate(0, y0x0, y1x0, 0, y-iy);
936     int x1 = interpolate(0, y0x1, y1x1, 0, y-iy);
937
938     return interpolate(0, x0, x1, 0, x-ix);
939 }
940
941
942 int DcmVolume::getNextSlice(void) {
943     if (iflistpos != iflistend) {
944         DicomDecoder dd(*iflistpos);
945         DcmSlice slice;
946         stringMap metadata;
947         int t1,t2,t3,t4;
948         dd.getMetaData(metadata);
949         dd.getSlice(slice.getPixels(),slice.rows,slice.cols,t1,t2,t3,t4);
950         getValues(slice,metadata);
951         volume[width[2]]=slice;
952         outside_value = slice[slice.cols-1][slice.rows-1];
953         if (width[2]) {
954             if ((volume[width[2]].cols!=volume[width[2]-1].cols)
955                 ||(volume[width[2]].rows!=volume[width[2]-1].rows))
956                 throw std::runtime_error("different format of slices in one series");
957             } else dicomData = metadata;
958         ++width[2];
959         ++iflistpos;
960         if (iflistpos == iflistend) {
961             dofinalstuff();
962         }
963         cerr<<" ";
964         return 1;
965     }
966     else return 0;
967 }
968
969 void DcmVolume::dofinalstuff(void) {
970     std::sort(volume.begin(), volume.end());
971     width[0]=volume[0].rows;
972     width[1]=volume[0].cols;
973     spacing[0]=volume[0].xspacing;
974     spacing[1]=volume[0].yspacing;
975     spacing[2]=volume[1].zpos-volume[0].zpos;
976     if (spacing[2]<0) spacing[2]=-spacing[2];
977     pos[0] = width[0]*spacing[0]/2.0;
978     pos[1] = width[1]*spacing[1]/2.0;
979     pos[2] = width[2]*spacing[2]/2.0;
980     rescaleIntercept = volume[0].RescaleIntercept;
981     rescaleSlope = volume[0].RescaleSlope;
982     if (rescaleSlope == 0.0) rescaleSlope = 1.0;

```

```

983     wsize = int(volume[0].WindowWidth);
984     if (wsize < 1) wsize = 2;
985     wcenter = int(volume[0].WindowCenter);
986 }
987
988
989 void DcmVolume::getValues(DcmSlice& sl, const stringMap& m) {
990     string s = m.find("ImagePosition")->second;
991     char *t;
992     sl.xpos = strtod(s.c_str(),&t);
993     sl.ypos = strtod(t+1,&t);
994     sl.zpos = strtod(t+1,&t);
995     s = m.find("PixelSpacing")->second;
996     sl.xspacing = strtod(s.c_str(),&t);
997     sl.yspacing = strtod(t+1,&t);
998
999     s = m.find("RescaleIntercept")->second;
1000    sl.RescaleIntercept = strtod(s.c_str(),&t);
1001    s = m.find("RescaleSlope")->second;
1002    sl.RescaleSlope = strtod(s.c_str(),&t);
1003
1004    s = m.find("WindowCenter")->second;
1005    sl.WindowCenter = strtod(s.c_str(),&t);
1006    s = m.find("WindowWidth")->second;
1007    sl.WindowWidth = strtod(s.c_str(),&t);
1008 }
1009
1010 void DcmVolume::getHisto(std::vector<unsigned int> &histo, int rendermode) const {
1011     histo.resize(histo_maxsize);
1012     for(int i=0;i<histo_maxsize;i++) histo[i]=0;
1013
1014     double fxlow = 0.13;
1015     double fxhigh = 0.40;
1016     double fylow = 0.20;
1017     double fyhigh = 0.80;
1018     double fzlow = 0.20;
1019     double fzhigh = 0.80;
1020     if (rendermode == RENDER_XZ) {
1021         double t;
1022         t = fylow; fylow = fzlow; fzlow = t;
1023         t = fyhigh; fyhigh = fzhigh; fzhigh = t;
1024     } else if (rendermode == RENDER_YZ) {
1025         double t;
1026         t = fxlow; fxlow = fylow; fylow = fzlow; fzlow = t;
1027         t = fxhigh; fxhigh = fyhigh; fyhigh = fzhigh; fzhigh = t;
1028     }
1029     int xlow = int( width[0] * 0.13 );
1030     int xhigh = int( width[0] * 0.40 );
1031     int ylow = int( width[1] * 0.20 );
1032     int yhigh = int( width[1] * 0.80 );
1033     int zlow = int( width[2] * 0.20 );
1034     int zhigh = int( width[2] * 0.80 );
1035     for(int x=xlow;x<xhigh;x++)
1036         for(int y=ylow;y<yhigh;y++)
1037             for(int z=zlow;z<zhigh;z++) {
1038                 int val=volume[z][y][x] + histo_shift;
1039                 if ((val < 0)|| (val >= histo_maxsize))
1040                     std::cerr << "volume::getHist val=" << val <<endl;
1041                 else histo[val]++;
1042             }
1043 }

```

Anhang B

GradientFinder

```
1  require 'gtk2'
2  require 'csv'
3  require 'math/statistics'
4
5
6
7  MIP = 'mip'
8  AVG = 'avg'
9
10
11  LINESENS=7
12  V=0
13  H=1
14
15  LOWCUTOFF = 0.2
16  HIGHCUTOFF = 0.8
17
18  $csvoutname = "result"
19
20
21  class Array
22    include Math::Statistics
23  end
24
25  class Object
26    def dclone
27      Marshal::load(Marshal.dump(self))
28    end
29  end
30
31  def main
32    Gtk.init
33    if (ARGV.size > 0)
34      pw = PhantomWidget.new()
35      ARGV.each do |j|
36        pw.loadJobs(j)
37        pw.executeJobs
38      end
39    else
40      gfWindow = GradientFinder.new()
41      gfWindow.show_all
42      Gtk.main
43    end
44  end
45
```

```

46 class GradientFinder < Gtk::Window
47   @Version = 0.01
48   @statusbar = nil
49   @@IF = Gtk::ItemFactory
50   @phantomW = nil
51   def initialize()
52     super(Gtk::Window::TOPLEVEL);
53     self.set_title( "GradientFinder" + @Version.to_s )
54     self.set_size_request( 300, 200 )
55     self.signal_connect( "delete_event" ) { Gtk.main_quit }
56     mainVBox = Gtk::VBox.new( false, 0 )
57     self.add( mainVBox )
58     mainVBox.pack_start( getMenuBar, false, false, 0)
59
60     frame = Gtk::Frame.new
61     frame.set_shadow_type( Gtk::SHADOW_IN )
62     @statusbar = Gtk::Statusbar.new
63     @phantomW = PhantomWidget.new( @statusbar )
64     frame.add( @phantomW )
65     mainVBox.pack_start( frame, true, true, 0)
66     mainVBox.pack_start( @statusbar, false, false, 0);
67   end
68
69   private
70
71   def onFileOpen
72     dialog = Gtk::FileChooserDialog.new("Open File",
73                                         self,
74                                         Gtk::FileChooser::ACTION_OPEN,
75                                         nil,
76                                         [Gtk::Stock::CANCEL, Gtk::Dialog::RESPONSE_CANCEL],
77                                         [Gtk::Stock::OPEN, Gtk::Dialog::RESPONSE_ACCEPT])
78
79     if dialog.run == Gtk::Dialog::RESPONSE_ACCEPT
80       @phantomW.readImages( dialog.filename )
81       self.set_title( "GradientFinder" + @Version.to_s + "
82                       + File.basename( dialog.filename ) )
83     end
84     dialog.destroy
85   end
86   def onLoadJobs
87     dialog = Gtk::FileChooserDialog.new("Open File",
88                                         self,
89                                         Gtk::FileChooser::ACTION_OPEN,
90                                         nil,
91                                         [Gtk::Stock::CANCEL, Gtk::Dialog::RESPONSE_CANCEL],
92                                         [Gtk::Stock::OPEN, Gtk::Dialog::RESPONSE_ACCEPT])
93
94     if dialog.run == Gtk::Dialog::RESPONSE_ACCEPT
95       @phantomW.loadJobs( dialog.filename )
96     end
97     dialog.destroy
98   end
99   def onSaveJobs
100     dialog = Gtk::FileChooserDialog.new("Save File",
101                                         self,
102                                         Gtk::FileChooser::ACTION_SAVE,
103                                         nil,
104                                         [Gtk::Stock::CANCEL, Gtk::Dialog::RESPONSE_CANCEL],
105                                         [Gtk::Stock::OPEN, Gtk::Dialog::RESPONSE_ACCEPT])
106
107     if dialog.run == Gtk::Dialog::RESPONSE_ACCEPT
108       @phantomW.saveJobs( dialog.filename )
109     end
110     dialog.destroy
111   end
112 end

```

```

113 def onProjection (p)
114   @phantomW.showProjection(p)
115 end
116
117 def onStoreCSV
118   @phantomW.storeCSV
119 end
120 def onAddJob
121   @phantomW.addJob
122 end
123 def onExecuteJobs
124   @phantomW.executeJobs
125 end
126 def onRefresh
127   @phantomW.onRefresh
128 end
129
130 def getMenuBar
131   print_selected = Proc.new {|data, w| puts "Hello World! with #{w}, #{data}"}
132   iF = Gtk::ItemFactory
133   menu_items = [
134     ["/_File"],
135     ["/File/_Open",    @@IF::STOCK_ITEM, "<CTRL>O", Gtk::Stock::OPEN,
136       Proc.new {onFileOpen}, "Open"],
137     ["/File/_Store CSV",    @@IF::STOCK_ITEM, "<CTRL>S",
138       Gtk::Stock::SAVE, Proc.new {onStoreCSV()}, "Store"],
139     ["/File/_sep1",    @@IF::SEPARATOR],
140     ["/File/_Quit",    @@IF::STOCK_ITEM, "<CTRL>Q",
141       Gtk::Stock::QUIT, Proc.new {Gtk.main_quit}],
142     ["/_Projection",    @@IF::BRANCH],
143     ["/Projection/_MIP",    @@IF::RADIO_ITEM, "M", nil,
144       Proc.new {onProjection(MIP)}, 1],
145     ["/Projection/_AVG",    "/Projection/MIP", "A", nil,
146       Proc.new {onProjection(AVG)}, 3],
147     ["/Projection/_Refresh Image",    @@IF::STOCK_ITEM, "R",
148       Gtk::Stock::REFRESH, Proc.new {onRefresh()} ,4],
149     ["/_Jobs",    @@IF::BRANCH],
150     ["/Jobs/_Add Job",    @@IF::STOCK_ITEM, "J",
151       Gtk::Stock::ADD, Proc.new {onAddJob()}, 1],
152     ["/Jobs/_Execute Jobs",    @@IF::STOCK_ITEM, "E",
153       Gtk::Stock::EXECUTE, Proc.new {onExecuteJobs()}, 2],
154     ["/Jobs/_sep1",    @@IF::SEPARATOR],
155     ["/Jobs/_Load",    @@IF::STOCK_ITEM, "",
156       Gtk::Stock::OPEN, Proc.new {onLoadJobs()}, "Load"],
157     ["/Jobs/_Save",    @@IF::STOCK_ITEM, "",
158       Gtk::Stock::SAVE, Proc.new {onSaveJobs()} , "Save"],
159     ["/_Help",    @@IF::LAST_BRANCH],
160     ["/_Help/About", @@IF::ITEM],
161   ]
162   accel_group = Gtk::AccelGroup.new
163   item_factory = Gtk::ItemFactory.new(Gtk::ItemFactory::TYPE_MENU_BAR,
164     "<main>", accel_group)
165
166   item_factory.create_items(menu_items)
167   self.add_accel_group(accel_group)
168   item_factory.get_widget("<main>")
169 end
170
171 end
172
173 class PhantomWidget < Gtk::EventBox
174   def initialize(sbar=nil)
175     super()
176     @statusbar = sbar
177     @realpixbuf= {}
178     @pixbuf= {}
179     @imgData = {}

```



```

180     @fname = {}
181     @view = MIP
182     @borders = []
183     @wborders = []
184     @xres = nil
185     @yres = nil
186     @fact = []
187     @lineDrag = nil
188     @jobs = []
189     @cursor = { 'a'=>nil, H=>Gdk::Cursor.new(Gdk::Cursor::SB_HDOUBLE_ARROW),
190               V=>Gdk::Cursor.new(Gdk::Cursor::SB_VDOUBLE_ARROW)}
191
192
193
194     set_events( Gdk::EventMotion::POINTER_MOTION_MASK
195               |Gdk::EventMotion::POINTER_MOTION_HINT_MASK)
196     signal_connect("expose_event") do
197       onExpose
198     end
199     signal_connect("motion_notify_event") do |w,e|
200       onMotion(e)
201     end
202     signal_connect("button_press_event") do |w,e|
203       onButtonPress(e)
204     end
205     signal_connect("button_release_event") do |w,e|
206       onButtonRelease(e)
207     end
208   end
209
210   def onExpose
211     alloc = self.allocation
212     checkPixbuf(alloc.width, alloc.height)
213     apixbuf = @pixbuf[@view]
214
215     gc = self.style.fg_gc(self.state)
216
217     oldfg = gc.foreground
218
219     if (apixbuf)
220       self.window.draw_pixbuf(gc, apixbuf,
221                               0,0,0,0,-1,-1,Gdk::RGB::DITHER_NONE,0,0)
222
223       @fact[H] = alloc.width*1.0/@xres
224       @fact[V] = alloc.height*1.0/@yres
225
226       [H,V].each do |i| @wborders[i] = [@borders[i][0]*@fact[i],
227                                         @borders[i][1]*@fact[i]] end
228
229       gc.set_line_attributes(2, Gdk::GC::LINE_SOLID,
230                             Gdk::GC::CAP_BUTT, Gdk::GC::JOIN_ROUND)
231       gc.rgb_fg_color = Gdk::Color.new(0x0000,0xFFFF,0x0000)
232
233       [0,1].each do |i|
234         self.window.draw_line(gc, @wborders[H][i], 0, @wborders[H][i],
235                               alloc.height)
236       end
237       gc.rgb_fg_color = Gdk::Color.new(0xFFFF,0xFFFF,0x0000)
238       [0,1].each do |i|
239         self.window.draw_line(gc, 0, @wborders[V][i], alloc.width,
240                               @wborders[V][i])
241       end
242
243       gc.set_line_attributes(1, Gdk::GC::LINE_SOLID, Gdk::GC::CAP_BUTT,
244                             Gdk::GC::JOIN_ROUND)
245       gc.rgb_fg_color = Gdk::Color.new(0xFFFF,0x2222,0x0000)
246       getLineStats unless (@imgData[@view]['xcutoff'])

```

```

247     [0,1].each do |i|
248         c = @imgData[@view]['xcutoff'][i]
249         if (c)
250             self.window.draw_line(gc, c * @fact[H], 0, c * @fact[H], alloc.height)
251         end
252     end
253
254     gc.set_line_attributes(3, Gdk::GC::LINE_SOLID, Gdk::GC::CAP_BUTT,
255                             Gdk::GC::JOIN_ROUND)
256     gc.rgb_fg_color = Gdk::Color.new(0x0000,0x5555,0xFFFF)
257     avgData = @imgData[@view]['avgs']
258     avg_min = avgData[@borders[H][0]...@borders[H][1]].min
259     avg_max = avgData[@borders[H][0]...@borders[H][1]].max
260     avg_fact = alloc.height / (avg_max - avg_min)
261     x1 = 0
262     x2 = @fact[H]
263     y1 = alloc.height - (avgData[0] - avg_min) * avg_fact
264     (1...@xres).each do |x|
265         y2 = alloc.height - (avgData[x] - avg_min) * avg_fact
266         self.window.draw_line(gc, x1, y1, x2, y2)
267         x1 = x2
268         x2 += @fact[H]
269         y1 = y2
270     end
271
272
273
274     end
275
276     gc.foreground = oldfg
277     gc.set_line_attributes(1, Gdk::GC::LINE_SOLID, Gdk::GC::CAP_BUTT,
278                             Gdk::GC::JOIN_ROUND)
279     true
280 end
281
282 def onButtonPress(event)
283     if (event.button==1)
284         @lineDrag=@cursor['a']
285     end
286     true
287 end
288 def onButtonRelease(event)
289     if (event.button==1)
290         if (@lineDrag)
291             @lineDrag=nil
292             @fname.keys.each do |p| @imgData[p].delete('xcutoff') if (@imgData[p]) end
293             onExpose
294         end
295     end
296     true
297 end
298
299 def onRefresh
300     @realpixbuf= {}
301     @pixbuf= {}
302     onExpose
303 end
304
305 def onMotion(event)
306     return true unless (@pixbuf[@view])
307     if (@statusbar)
308         px = event.x/@fact[H]
309         exAVG = @imgData[@view]['avgs'][px]*(1 + px.to_i - px)
310             + @imgData[@view]['avgs'][px+1]*(px - px.to_i)
311         @statusbar.push 1, sprintf("[%2d:%2d] [%2.1f:%2.1f]",px.to_i ,
312             @imgData[@view]['avgs'][px],px,exAVG)
313     end

```

```

314     if (@lineDrag)
315         [V,H].each do |dir|
316             [0,1].each do |i|
317                 if (@lineDrag==[dir,i])
318                     @wborders[dir][i]= (dir==V) ? event.y : event.x
319                     @borders[dir][i]=@wborders[dir][i]/@fact[dir]
320                     onExpose
321                 end
322             end
323         end
324     else
325         cursorChange = nil
326         [V,H].each do |dir|
327             @wborders[dir].each_index do |i|
328                 pos = @wborders[dir][i]
329                 if ((pos-LINESENS..pos+LINESENS) === ((dir==H) ? event.x : event.y))
330                     cursorChange = [dir,i]
331                 end
332             end
333         end
334
335         if (@cursor['a'])
336             if (cursorChange)
337                 if (cursorChange!=@cursor['a'])
338                     self.window.set_cursor(Gdk::Cursor.new(Gdk::Cursor::LAST_CURSOR))
339                     self.window.set_cursor(@cursor[cursorChange[0]])
340                     @cursor['a'] = cursorChange
341                 end
342             else
343                 self.window.set_cursor(Gdk::Cursor.new(Gdk::Cursor::LAST_CURSOR))
344                 @cursor['a'] = nil
345             end
346         else
347             if (cursorChange)
348                 self.window.set_cursor(@cursor[cursorChange[0]])
349                 @cursor['a'] = cursorChange
350             end
351         end
352     end
353     true
354 end
355
356 def saveJobs(fname)
357     File.open(fname,"wb") do |outfile|
358         outfile.write(Marshal.dump(@jobs))
359     end
360 end
361
362 def loadJobs(fname)
363     puts "loading #{fname}"
364     infile = File.open(fname, 'rb')
365     @jobs = Marshal::load(infile.read)
366     infile.close
367     $csvoutname = fname
368 end
369
370 def readImages(fname)
371     dirname = File.dirname(fname)
372     @fname = getImageNames(fname)
373     @imgData = {}
374     @view = MIP
375     @imgData[@view] = readCSV
376     @view = AVG
377     @imgData[@view] = readCSV
378     @pixbuf = {}
379     @realpixbuf = {}
380     onExpose

```

```

381
382 def getAreas(data)
383   areas = Hash.new
384   ['softMipBlender', 'AvgMipBlender'].each do |proj|
385     points = data.select do |k,v| k =~ /^#{proj}/ end.map do |d|
386       [d[1]['noise_norm'], d[1]['grad_norm']] end\
387       .select do |p| (p[0] > 0.0 && p[0] < 1.0) end\
388       .sort do |a,b| a[0]<=>b[0] end
389     points.push [1.0, 1.0]
390
391     last = [0.0, 0.0]
392     area = 0
393     points.each do |p|
394       area += (p[0] - last[0]) * (p[1] + last[1]) / 2.0
395       last = p
396     end
397     areas[proj] = area
398   end
399   areas
400 end
401
402
403 def storeCSV
404   data = {}
405   xvals = []
406   @fname.keys.each do |p|
407     @view = p
408     @imgData[@view] = readCSV unless (@imgData[@view])
409     getLineStats
410     data[p] = {}
411     data[p]['x1'] = @imgData[p]['xcutoff'][0]
412     data[p]['y1'] = @imgData[p]['ycutoff'][0]
413     data[p]['x2'] = @imgData[p]['xcutoff'][1]
414     data[p]['y2'] = @imgData[p]['ycutoff'][1]
415     xvals.push [data[p]['x1'], data[p]['x2']].min.to_i
416     xvals.push [data[p]['x1'], data[p]['x2']].max.to_i+1
417   end
418   @fname.keys.each do |p|
419     avgs = @imgData[p]['avgs']
420     data[p]['std'] = getNoise(p, xvals.min, xvals.max)
421     data[p]['avgMin'] = avgs[xvals.min..xvals.max].min
422     data[p]['avgMax'] = avgs[xvals.min..xvals.max].max
423     data[p]['avgStd'] = avgs[xvals.min..xvals.max].std
424   end
425
426   grad_avg = (data[AVG]['y1'] - data[AVG]['y2']) / (data[AVG]['x1'] - data[AVG]['x2']).abs
427   grad_mip = (data[MIP]['y1'] - data[MIP]['y2']) / (data[MIP]['x1'] - data[MIP]['x2']).abs
428   noise_avg = data[AVG]['std']
429   noise_mip = data[MIP]['std']
430   grad_span = grad_mip - grad_avg
431   noise_span = noise_mip - noise_avg
432
433   @fname.keys.each do |p|
434     grad = (data[p]['y1'] - data[p]['y2']) / (data[p]['x1'] - data[p]['x2']).abs
435     data[p]['grad_norm'] = (grad - grad_avg) / grad_span
436     data[p]['noise_norm'] = (data[p]['std'] - noise_avg) / noise_span
437   end
438
439   areas = getAreas(data)
440
441   oldFile = File.exist?($csvoutname + "_data.csv")
442   File.open($csvoutname + "_data.csv", "a+") do |outfile|
443     CSV::Writer.generate(outfile) do |csv|
444       if (!oldFile)
445         line = @imgData[MIP]['meta'].select do |x| x[0] != 'Projection' end\
446           .collect do |d| d[0] end
447         line.push "mipFilename"

```

```

448     ['h','v'].each do |d|
449       [1,2].each do |n|
450         line.push "border-#{d}##{n}"
451       end
452     end
453     @fname.keys.sort.each do |p| line.push p+"_noise_norm" end
454     @fname.keys.sort.each do |p| line.push p+"_grad_norm" end
455     @fname.keys.sort.each do |p| line.push p+"_imagequality" end
456     areas.keys.sort.each do |ak| line.push ak+"_area" end
457     csv << line
458   end
459   line = @imgData[MIP]['meta'].select do |x| x[0]!='Projection' end\
460     .collect do |d| d[1] end
461   line.push @fname[MIP]
462   [H,V].each do |d|
463     @borders[d].each do |b|
464       line.push b
465     end
466   end
467   @fname.keys.sort.each do |p| line.push data[p]['noise_norm'] end
468   @fname.keys.sort.each do |p| line.push data[p]['grad_norm'] end
469   @fname.keys.sort.each do |p|
470     line.push Math.sqrt( (1.0 - data[p]['grad_norm']) ** 2
471       + data[p]['noise_norm'] ** 2)
472   end
473   areas.keys.sort.each do |ak| line.push areas[ak] end
474   csv << line
475 end
476 end
477 oldFile = File.exist?($csvoutname + "_rawData.csv")
478 File.open($csvoutname + "_rawData.csv","a+") do |outfile|
479   CSV::Writer.generate(outfile) do |csv|
480     if (!oldFile)
481       line = @imgData[MIP]['meta'].select do |x| x[0]!='Projection' end\
482         .collect do |d| d[0] end
483       line.push "mipFilename"
484       ['h','v'].each do |d|
485         [1,2].each do |n|
486           line.push "border-#{d}##{n}"
487         end
488       end
489       @fname.keys.sort.each do |p|
490         %W(Projection x1 y1 x2 y2 std avgMin avgMax avgStd).each do |c|
491           line.push p+"_"+c
492         end
493       end
494       csv << line
495     end
496     line = @imgData[MIP]['meta'].select do |x| x[0]!='Projection' end\
497       .collect do |d| d[1] end
498     line.push @fname[MIP]
499     [H,V].each do |d|
500       @borders[d].each do |b|
501         line.push b
502       end
503     end
504     @fname.keys.sort.each do |p|
505       line.push p
506       %W(x1 y1 x2 y2 std avgMin avgMax avgStd).each do |c|
507         line.push data[p][c]
508       end
509     end
510     csv << line
511   end
512 end
513 puts "stored data to csv"
514 end

```

```

515
516 def showProjection(p)
517     @view = p
518     @imgData[@view] = readCSV unless (@imgData[@view])
519     onExpose
520 end
521
522 def addJob
523     job = {'borders'=>@borders.dclone, 'fname'=>@fname[MIP].clone}
524     @jobs.push job
525     puts "job added"
526 end
527
528 def executeJobs
529     @jobs.each do |j|
530         if (!(j['fname']==@fname))
531             @imgData = {}
532             @pixbuf = {}
533             @realpixbuf = {}
534         end
535         @fname = getImageNames(j['fname'])
536         @borders = j['borders']
537         storeCSV
538     end
539     puts "finished all jobs"
540     @jobs = []
541 end
542
543
544 private
545
546 def getImageNames(fname)
547     dirname = File.dirname(fname)
548     fileID = File.basename(fname).gsub(/^[^_]+/, '')
549     imageNames = {}
550     dir = Dir.new(dirname)
551     dir.select do |d| d.match("#{fileID}$") end.map do |n| n.gsub(/.*$/, '') end\
552         .each do |x|
553             imageNames[x] = dirname + File::SEPARATOR + x + fileID
554         end
555     imageNames
556 end
557
558
559
560 def readCSV
561     if (@fname[@view])
562         csvreader = CSV::Reader.create(File.open(@fname[@view], 'rb'))
563         data = {}
564         data['lines'] = []
565         data['avgs'] = []
566         data['meta'] = []
567         i = 0
568         csvreader.each do |row|
569             if (i<10)
570                 data['meta'].push row
571                 i+=1
572             else
573                 line = row.collect do |v| v.to_i end
574                 data['lines'].push line
575             end
576         end
577         csvreader.close
578         if (@xres!=data['lines'].length || @yres!=data['lines'][0].length)
579             @yres = data['lines'][0].length
580             @xres = data['lines'].length
581             wrong_borders = nil

```

```

582         [0,1].each do |i|
583             if (@borders[i])
584                 wrong_borders = 1 if (@borders[H][i] > @xres || @borders[H][i] < 0)
585                 wrong_borders = 1 if (@borders[V][i] > @yres || @borders[V][i] < 0)
586             else
587                 wrong_borders = 1
588             end
589         end
590         if (wrong_borders)
591             @borders[H] = [(0.05 * @xres).to_i, (@xres-0.05 * @xres).to_i]
592             @borders[V] = [(0.05 * @yres).to_i, (@yres-0.05 * @yres).to_i]
593         end
594     end
595     data
596 end
597 end
598
599
600
601 def getNoise(p,x1,x2)
602     statbuffer = []
603     @imgData[p]['lines'][(x1..x2)].each do |line|
604         lineScope = line[@borders[V].min...@borders[V].max]
605         lsavg = lineScope.avg
606         statbuffer.concat(lineScope.collect do |v| v-lsavg end)
607     end
608     statbuffer.std
609 end
610
611 def getLineStats
612     avgs = (0...@xres).collect do |x|
613         @imgData[@view]['lines'][x][@borders[V].min...@borders[V].max].avg
614     end
615
616     hBorderMin = @borders[H].min.to_i
617     hBorderMax = @borders[H].max.to_i
618     @imgData[@view]['avgs'] = avgs
619     scopeMaxInd = hBorderMin
620     scopeMinInd = hBorderMin
621     for x in hBorderMin..hBorderMax
622         scopeMaxInd = x if (avgs[x]>avgs[scopeMaxInd])
623         scopeMinInd = x if (avgs[x]<avgs[scopeMinInd])
624     end
625     scope = [scopeMinInd,scopeMaxInd]
626     scopeRange = avgs[scopeMaxInd] - avgs[scopeMinInd]
627
628     xval = [scope.min,scope.max]
629     cutoff = [avgs[scopeMinInd] + LOWCUTOFF * scopeRange,
630             avgs[scopeMinInd] + HIGHCUTOFF * scopeRange]
631     adder = 1
632     muller = 1
633     order = [0,1]
634     if (scopeMaxInd<scopeMinInd)
635         adder = -1
636         order = [1,0]
637     end
638     @imgData[@view]['xcutoff'] = [nil,nil]
639     @imgData[@view]['ycutoff'] = cutoff
640     order.each do |v|
641         xcut = nil
642         while ((scope.min..scope.max) == xval[v])
643             if ( (avgs[xval[v]]*muller) > (cutoff[v]*muller) )
644                 xcut = xval[v] unless (xcut)
645             else
646                 xcut = nil
647             end
648             xval[v] +=adder

```

```

649     end
650     if (xcut)
651         low = avgs[xcut-adder]
652         high = avgs[xcut]
653         f = (cutoff[v]-low)/(high-low)
654         @imgData[@view]['xcutoff'][v] = xcut + (f-1) * adder
655     end
656     adder = -adder
657     muller = -muller
658 end
659 end
660
661 def getStats
662     getLineStats
663     statbuffer = []
664     @imgData[@view]['lines'][(@borders[H].min...@borders[H].max)].each do |line|
665         statbuffer.concat(line[@borders[V].min...@borders[V].max])
666     end
667     {'avg' => statbuffer.avg, 'std' => statbuffer.std}
668 end
669
670 def checkPixbuf (w,h)
671     @pixbuf[@view] = getPixbuf(w,h) unless (@pixbuf[@view] &&
672         @pixbuf[@view].width==w && @pixbuf[@view].height==h)
673 end
674
675 def getPixbuf (width,height)
676     if (! @realpixbuf[@view] )
677         aData = @imgData[@view]
678         imgData = Array.new(width*height*3,100)
679         if (aData)
680             aData = aData['lines']
681             myStats = getStats
682             low = myStats['avg']-myStats['std'];
683             fact = 255/(myStats['std']*2);
684             index = 0
685             for y in 0...@yres
686                 for x in 0...@xres
687                     col = ((aData[x][y]-low)*fact).to_i;
688                     col = 0 if col<0
689                     col = 255 if col>255
690                     imgData[index] = col
691                     index +=1
692                     imgData[index] = col
693                     index +=1
694                     imgData[index] = col
695                     index +=1
696                 end
697             end
698             dat = imgData.pack('C*')
699             realPixBuf = Gdk::Pixbuf.new(dat, Gdk::Pixbuf::COLORSPACE_RGB,
700                 false, 8, @xres, @yres, @xres*3)
701             @realpixbuf[@view]=realPixBuf
702         end
703     end
704     if ( @realpixbuf[@view] )
705         @pixbuf[@view] = @realpixbuf[@view].scale(width, height,
706             Gdk::Pixbuf::INTERP_BILINEAR)
707     end
708 end
709 end
710
711 main

```


Anhang C

StoneSorter

```
1
2 require 'csv'
3
4 KIDNEY = 0
5 URETER = 1
6
7 TP = 0
8 FP = 1
9 FN = 2
10 TN = 3
11 ORGSTR = []
12 ORGSTR[KIDNEY] = "Niere"
13 ORGSTR[URETER] = "Ureter"
14
15 def main
16   patients = Array.new
17   fname = ARGV.shift.dclone
18   csvreader = CSV::Reader.create(File.open(fname, 'rb'))
19   csvreader.each do |row|
20     patients.push Patient.new(row)
21   end
22   csvreader.close
23
24
25   fname.sub!(/\..csv$/, '')
26
27   ['opt', 'noopt'].each do |opt|
28     [KIDNEY, URETER].each do |organ|
29       ['Ref1', 'Ref2'].each do |ref|
30         File.open(fname + ".#{ORGSTR[organ]}.#{ref}.#{opt}.csv", "w+") do |outf|
31           File.open(fname + ".#{ORGSTR[organ]}.#{ref}.#{opt}.dis.csv", "w+") do |disf|
32             File.open(fname + ".#{ORGSTR[organ]}.#{ref}.#{opt}.nondis.csv", "w+") do |nondisf|
33               CSV::Writer.generate(outf) do |csv|
34                 CSV::Writer.generate(disf) do |discsv|
35                   CSV::Writer.generate(nondisf) do |nondiscsv|
36                     csv << %W(TP FP FN TN)
37                     csv << [0,1,2,3]
38                     csv << %W(Name softMip MipAvg)
39                     patients.each do |p|
40                       p.putOrgan(csv, discsv, nondiscsv, organ, ref, opt)
41                     end
42                   end
43                 end
44               end
45             end
46           end
47         end
48       end
49     end
50   end
51 end
```

```

46         end
47     end
48 end
49 end
50 end
51 end
52
53 class Object
54     def dclone
55         Marshal::load(Marshal.dump(self))
56     end
57 end
58
59 class Optimizer
60     attr_reader :versions
61
62     def initialize(set, ref)
63         @set = set.dclone
64         @ref = ref
65         @flatref = ref.flatten
66         @current = [[0,0,0],[0,0,0],[0,0,0],[0,0,0]]
67         @versions = []
68         @minDiff = 10000
69     end
70
71     def fillCurrent(size=0, loc=0)
72         while (loc<3 && @set[size][loc]==0)
73             size+=1
74             if (size==4)
75                 size = 0
76                 loc+=1
77             end
78         end
79         if (loc<3)
80             @set[size][loc]-=1
81             ppos = getPossNewLoc(size, loc)
82             ppos.each do |p|
83                 @current[p[0]][p[1]]+=1
84                 fillCurrent(size, loc)
85                 @current[p[0]][p[1]]-=1
86             end
87             @set[size][loc]+=1
88         else
89             diff = getDiff()
90             if (diff < @minDiff)
91                 @versions = []
92                 @minDiff = diff
93             end
94             if (diff == @minDiff)
95                 if (!@versions.include? @current)
96                     @versions.push @current.dclone
97                 end
98             end
99         end
100     end
101
102     def getPossNewLoc(size, loc)
103         pnloc = []
104         (-1..1).each do |dsize|
105             (-1..1).each do |dloc|
106                 nsize = size + dsize
107                 nloc = loc + dloc
108                 if (nsize>=0 && nloc>=0 && nsize<4 && nloc<3)
109                     pnloc.push [nsize, nloc]
110                 end
111             end
112         end

```

```

113     if (pnloc.size==0)
114         pnloc.push [size,loc]
115     end
116     pnloc
117 end
118
119 def getDiff
120     fcurr = @current.flatten
121     diff = 0
122     fcurr.each_index do |x| diff += (fcurr[x] - @flatref[x]).abs end
123     diff
124 end
125
126 end
127
128
129 class Patient
130     attr_reader :name, :stones
131     def initialize(row)
132         @stones = Hash.new
133         @name = row.shift
134         @stones['softMip'] = readStones(row)
135         @stones['MipAvg'] = readStones(row)
136         @stones['Ref1'] = readStones(row)
137         @stones['Ref2'] = readStones(row)
138     end
139
140     def putOrgan(csv, discsv, nondiscsv, organ, ref, opt)
141         r = Array.new
142         [0,1].each do |side|
143             if (opt == 'opt')
144                 sets = getSets(side, organ, ref)
145                 r.concat(rateSets(sets['softMip'], sets['MipAvg'], @stones[ref][side][organ]))
146             else
147                 r.concat(rateSets(@stones['softMip'][side][organ],
148                                 @stones['MipAvg'][side][organ], @stones[ref][side][organ]))
149             end
150         end
151         if (r.size==0)
152             r.push [TN,TN]
153         end
154         r.each do |l|
155             line = [@name]
156             line.push l[0]
157             line.push l[1]
158             csv << line
159             if (l[0] == TP || l[0] == FN) # diseased
160                 discsv << line
161             else
162                 nondiscsv << line
163             end
164         end
165     end
166 end
167
168 def getSets(side, organ, ref)
169     softMipO = Optimizer.new(@stones['softMip'][side][organ], @stones[ref][side][organ])
170     mipAvgO = Optimizer.new(@stones['MipAvg'][side][organ], @stones[ref][side][organ])
171     softMipO.fillCurrent
172     mipAvgO.fillCurrent
173
174     smV = softMipO.versions[0]
175     maV = mipAvgO.versions[0]
176     minDiff = getSetDiff(smV,maV)
177
178     softMipO.versions.each do |sm_v|
179         mipAvgO.versions.each do |ma_v|

```

```

180         diff = getSetDiff(sm_v, ma_v)
181         if (diff < minDiff)
182             smV = sm_v
183             maV = ma_v
184             minDiff = diff
185         end
186     end
187 end
188 { 'softMip' => smV, 'MipAvg' => maV }
189 end
190
191 def rateSets(set1, set2, ref)
192     rates = Array.new
193     (0..3).each do |size|
194         (0..2).each do |loc|
195             stones = [set1[size][loc], set2[size][loc], ref[size][loc]].max
196             (1..stones).each do |s|
197                 r1, r2 = nil, nil
198                 if (ref[size][loc] >= s) # stone exists
199                     if (set1[size][loc] >= s) # stone detected
200                         r1 = TP
201                     else
202                         r1 = FN
203                     end
204                     if (set2[size][loc] >= s) # stone detected
205                         r2 = TP
206                     else
207                         r2 = FN
208                     end
209                 else # stone does not exist
210                     if (set1[size][loc] >= s) # stone detected
211                         r1 = FP
212                     else
213                         r1 = TN
214                     end
215                     if (set2[size][loc] >= s) # stone detected
216                         r2 = FP
217                     else
218                         r2 = TN
219                     end
220                 end
221                 rates.push [r1, r2]
222             end
223         end
224     end
225     rates
226 end
227
228 def getSetDiff(a, b)
229     af = a.flatten
230     bf = b.flatten
231     diff = 0
232     af.each_index do |x| diff += (af[x] - bf[x]).abs end
233     diff
234 end
235
236
237
238 def readStones(row)
239     stones = Array.new
240     2.times do
241         stones.push readSide(row)
242     2.times do row.shift end
243     end
244     stones
245 end
246 def readSide(row)

```

```
247     side = Array.new
248     side[KIDNEY] = Array.new
249     side[URETER] = Array.new
250     4.times do
251         side[KIDNEY].push readLoc(row)
252         side[URETER].push readLoc(row)
253         row.shift
254     end
255     side
256 end
257 def readLoc(row)
258     loc = Array.new
259     3.times do loc.push row.shift.to_i end
260     loc
261 end
262 end
263
264
265 main
```

Lebenslauf

persönliche Daten

Name	Henning Meyer
Geburt	am 1.5.1978 in Berlin
Familienstand	ledig
Nationalität	deutsch

Schul-/Hochschulbildung

1997	Erlangung der allgemeinen Hochschulreife
10/1998-12/2004	Studium der Humanmedizin an der Medizinischen Fakultät der Humboldt-Universität zu Berlin (Charité)
09/2000	Physikum
08/2001	1. Staatsexamen
09/2003	2. Staatsexamen
12/2004	3. Staatsexamen
seit 07/2005	Anstellung als wissenschaftlicher Mitarbeiter am Institut für Radiologie der Charité – Universitätsmedizin Berlin

Selbstständigkeitserklärung

Ich, Henning Meyer, erkläre, dass ich die vorgelegte Dissertationsschrift mit dem Thema: “softMip – Entwicklung eines neuen Projektionsverfahrens für die digitale Schnittbildgebung und Evaluation anhand von Ultra-Low-Dose-CT-Aufnahmen zur Harnwegskonkrementsuche” selbst verfasst und keine anderen als die angegebenen Quellen und Hilfsmittel benutzt, ohne die (unzulässige) Hilfe Dritter verfasst und auch in Teilen keine Kopien anderer Arbeiten dargestellt habe.

Henning Meyer

10. Dezember 2005